

Fundamentale Fraktalgeometrische Feldtheorie
(FFGFT)
Früher bekannt als T0-Theorie - Vollständige Dokumentation

4. Februar 2026

Inhaltsverzeichnis

1 Grundlagen der fundamentalen fraktalgeometrischen Feldtheorie	9
1.1 Einführung in die T0-Time-Mass-Dualität und ihre Feldgleichungen	11
1.1.1 Die fraktale Wirkung und ihre Herleitung	11
1.1.2 Ableitung der modifizierten Einstein-Gleichungen	12
1.1.3 Schluss	12
1.2 Warum die Raumzeit in T0 fraktal und dual ist	12
1.2.1 Notwendigkeit der fraktalen Struktur	12
1.2.2 Die intrinsische Time-Mass-Dualität	13
1.2.3 Schluss	13
1.3 Probleme der Allgemeinen Relativitätstheorie und ihre Lösung durch T0 . .	13
1.3.1 Singularitäten und Informationsverlust	13
1.3.2 Dunkle Materie und Dunkle Energie	13
1.3.3 Quanteninkompatibilität	14
1.3.4 Schluss	14
1.4 Reinterpretation von $E = mc^2$ in der T0-Time-Mass-Dualität	14
1.4.1 Ableitung der Ruheenergie	14
1.4.2 Physikalische Interpretation	14
1.4.3 Schluss	14
1.5 Ableitung der Speziellen Relativitätstheorie aus T0	14
1.5.1 Lorentz-Transformationen	15
1.5.2 Schluss	15
1.6 Galaxierotationskurven und das Missing-Mass-Problem in T0	15
1.6.1 Fraktale Modifikation	15
1.6.2 Vergleich mit TeVeS	16
1.6.3 Schluss	16
1.7 Stark-, Schwach- und Tief-Feld-Regime in T0	16
1.7.1 Schluss	16
1.8 Reinterpretation der Dunklen Energie in T0	16
1.8.1 Schluss	16
1.9 Innere Struktur Schwarzer Löcher in T0	17
1.9.1 Vergleich mit Loop Quantum Gravity und Stringtheorie	17
1.9.2 Schluss	17
1.10 Testbare Vorhersagen und Beobachtungen	17
1.10.1 Schluss	17
1.11 Zusammenfassung Brücke zwischen GR und QFT	18
2 Kosmologie und der Big-Bang-Phasenübergang in fraktaler T0-Geometrie	20

2.0.1	Die fundamentale Täuschung: Expansion ohne Bewegung	20
2.0.2	Der Big Bang als fraktaler Phasenübergang	21
2.0.3	Die fraktale Metrik ohne Expansion	21
2.0.4	Entwicklung des fraktalen Parameters $\xi(t)$	22
2.0.5	Kosmische Mikrowellenhintergrundstrahlung (CMB)	22
2.0.6	Baryonische Akustische Oszillationen (BAO)	22
2.0.7	Dunkle Energie als fraktale Skalenänderung	23
2.0.8	Strukturbildung ohne Inflation	23
2.0.9	Testbare Vorhersagen	23
2.0.10	Vergleich mit Standard- Λ CDM	24
2.0.11	Zeitliche Entwicklung in T_0	24
2.0.12	Das Universum als sich vertiefendes Gehirn: Eine narrative Synthese	24
2.0.13	Schlussfolgerung: Ein neues Paradigma der Realität	26
3	Chronologie der Universum-Erschaffung aus fraktaler FFGFT	27
3.0.1	Die Pre-Big-Bang-Phase: Fraktales Null-Vakuum	27
3.0.2	Der kritische Phasenübergang: Emergenz von Masse und Zeit	28
3.0.3	Chronologie des Übergangs	28
3.0.4	Entstehung fundamentaler Größen	29
3.0.5	Das niedrige Entropie-Problem	30
3.0.6	Testbare Konsequenzen	30
3.0.7	Vergleich mit alternativen Theorien	31
3.0.8	Philosophische Implikationen	31
3.0.9	Schlussfolgerung	31
4	Raum-Schöpfung als fraktale Amplitudenfront in FFGFT	33
4.0.1	Symbolverzeichnis und Einheiten	33
4.0.2	Das fundamentale Prinzip: Raum emergiert aus Amplitude	34
4.0.3	Fundamentale Amplitude-Gleichung mit fraktalen Korrekturen	34
4.0.4	Ableitung der Frontgeschwindigkeit $v_b(t)$	35
4.0.5	Integration zur kosmischen Horizontgrößen	36
4.0.6	Die kosmische Grenze: Warum $R(t_0) \approx 46.5$ Gly?	37
4.0.7	Superluminare Ausbreitung ohne Verletzung der Kausalität	38
4.0.8	Vergleich mit alternativen Erklärungen	38
4.0.9	Testbare Vorhersagen	38
4.0.10	Schlussfolgerung: Raum als emergentes Phänomen	39
5	Periheldrehung des Merkur in fraktaler T_0-Geometrie	40
5.0.1	Symbolverzeichnis und Einheiten	40
5.0.2	Das beobachtete Problem und der ART-Wert	41
5.0.3	Fraktale Modifikation des Gravitationspotentials Vollständige Ableitung	41
5.0.4	Effektives Potential und Präzessionsberechnung	42
5.0.5	Schlussfolgerung	42
6	Die Hubble-Spannung in fraktaler T_0-Geometrie	43
6.0.1	Symbolverzeichnis und Einheiten	44

6.0.2	Modifizierte Friedmann-Gleichung in T0	44
6.0.3	Analytische Näherung für späte Zeiten ($a \approx 1$)	44
6.0.4	Validierung im Grenzfall	45
6.0.5	Schlussfolgerung	45
7	Alternative zu GR + ΛCDM in fraktaler T0-Geometrie	46
7.0.1	Symbolverzeichnis und Einheiten	47
7.0.2	Das Λ CDM-Modell und seine Probleme	47
7.0.3	Fraktale T0-Wirkung Vollständige Ableitung	48
7.0.4	Ableitung der modifizierten Friedmann-Gleichungen	48
7.0.5	Vollständige Lösung für das späte Universum	49
7.0.6	Vergleich mit Λ CDM	49
7.0.7	Schlussfolgerung	49
8	Entstehung der Heisenbergschen Unschärferelation in fraktaler T0-Geometrie	50
8.0.1	Symbolverzeichnis und Einheiten	51
8.0.2	Fraktale Korrelation der Vakuumphase Grundlage der Nichtlokalität	51
8.0.3	Ableitung der Orts-Impuls-Uncertainty-Relation	52
8.0.4	Ableitung der Energie-Zeit-Uncertainty-Relation	53
8.0.5	Vakuumfluktuationen und endliche Zero-Point-Energie	53
8.0.6	Schlussfolgerung	53
9	Vakuumfluktuationen und Lösung des kosmologischen Konstantenproblems in T0	54
9.0.1	Symbolverzeichnis und Einheiten	55
9.0.2	Das kosmologische Konstantenproblem in QFT	56
9.0.3	Fraktale Vakuumphase und regulierte Korrelationen	56
9.0.4	Ableitung der regulierten Zero-Point-Energie	57
9.0.5	Energie-Zeit-Uncertainty aus Phasenjitter	57
9.0.6	Vergleich: QFT vs. T0	58
9.0.7	Schlussfolgerung	58
10	Lösung des Yang-Mills-Mass-Gap-Problems in fraktaler T0-Geometrie	59
10.0.1	Symbolverzeichnis und Einheiten	60
10.0.2	Formulierung des Yang-Mills-Problems	61
10.0.3	Das Vakuumfeld in T0 Fraktale Struktur	61
10.0.4	Detaillierte Ableitung der Vakuum-Steifigkeit B	61
10.0.5	Detaillierte Ableitung des Massenlückens Δ	62
10.0.6	Vergleich: Reine Yang-Mills vs. T0	63
10.0.7	Schlussfolgerung	63
11	Ron Folmans T$\ddot{\sigma}$-Quantengravitationsexperiment in fraktaler T0-Geometrie	64
11.0.1	Symbolverzeichnis und Einheiten	65
11.0.2	Das T $\ddot{\sigma}$ -Experiment Präzise Beschreibung	65
11.0.3	Detaillierte Ableitung in T0	66

11.0.4 Höhere Korrekturen und Testbarkeit	66
11.0.5 Vergleich mit Standard-Quantenmechanik + GR	66
11.0.6 Schlussfolgerung	67
12 Maximalmasse für makroskopische Quantensuperposition in fraktaler T0-Geometrie	68
12.0.1 Symbolverzeichnis und Einheiten	69
12.0.2 Dekohärenz-Mechanismus Vollständige Ableitung	70
12.0.3 Berechnung der maximalen Masse M_{\max}	70
12.0.4 Vergleich mit dem Diósi-Penrose-Modell	71
12.0.5 Höhere Korrekturen und Vorhersagen	71
12.0.6 Schlussfolgerung	71
13 Neutronen-Lebensdauer-Diskrepanz in fraktaler T0-Geometrie	72
13.0.1 Symbolverzeichnis und Einheiten	74
13.0.2 Das beobachtete Problem Präzise Daten	75
13.0.3 Zerfall als fraktale Amplitude-Relaxation	75
13.0.4 Detaillierte Ableitung der Umgebungsabhängigkeit	76
13.0.5 Vergleich mit anderen Erklärungen	76
13.0.6 Schlussfolgerung	76
14 Die Koide-Massenformel für Leptonen in fraktaler T0-Geometrie	77
14.0.1 Symbolverzeichnis und Einheiten	78
14.0.2 Fraktale Phase und Teilchenmassen in T0	78
14.0.3 Detaillierte Ableitung der Koide-Relation	79
14.0.4 Perturbationen und empirische Genauigkeit	79
14.0.5 Erweiterung auf Quarks und Neutrinos	79
14.0.6 Vergleich mit anderen Ansätzen	80
14.0.7 Schlussfolgerung	80
15 Das Neutrino-Massenproblem in fraktaler T0-Geometrie	81
15.0.1 Symbolverzeichnis und Einheiten	82
15.0.2 Neutrinos als reine Phasen-Anregungen	83
15.0.3 Drei Generationen aus fraktaler Symmetrie	83
15.0.4 Ableitung der Massenhierarchie	83
15.0.5 PMNS-Mischung aus Phasen-Kopplung	84
15.0.6 Majorana-Natur	84
15.0.7 Vergleich: Standardmodell vs. T0	84
15.0.8 Schlussfolgerung	84
16 Lösung der baryonischen Asymmetrie in fraktaler T0-Geometrie	85
16.0.1 Symbolverzeichnis und Einheiten	86
16.0.2 Das Problem im Standardmodell	87
16.0.3 T0-Vakuumstruktur und Baryogenese	87
16.0.4 CP-Verletzung aus intrinsischer Phasen-Bias	87
16.0.5 Nicht-Gleichgewicht durch fraktalen Übergang	87
16.0.6 Berechnung der Asymmetrie	88

16.0.7 Vergleich mit anderen Modellen	88
16.0.8 Schlussfolgerung	88
17 Teilchen-Massenhierarchie und Gravitationsschwäche in fraktaler T0-Geometrie	89
17.0.1 Symbolverzeichnis und Einheiten	91
17.0.2 Das Hierarchie- und Gravitationsschwäche-Problem	92
17.0.3 Amplitude und Phase als duale Freiheitsgrade in T0	92
17.0.4 Masse als Amplitude-Deformation	92
17.0.5 Schwäche der Gravitation	92
17.0.6 Detaillierte Ableitung der Hierarchie	93
17.0.7 Vergleich mit anderen Ansätzen	93
17.0.8 Schlussfolgerung	93
18 Warum Newtons Gesetz nicht für Quantenteilchen gilt in fraktaler T0-Geometrie	94
18.0.1 Symbolverzeichnis und Einheiten	95
18.0.2 Probleme der klassischen Gravitation auf Quantenskala	95
18.0.3 Gravitation als Amplitude-Deformation in T0 Vollständige Ableitung	96
18.0.4 Superposition und Nichtlokalität	96
18.0.5 Vergleich mit anderen Ansätzen	97
18.0.6 Beispiel: Gravitation zwischen zwei Protonen	97
18.0.7 Schlussfolgerung	97
19 Das Delayed-Choice-Quantenradierer-Experiment in fraktaler T0-Geometrie	98
19.0.1 Symbolverzeichnis und Einheiten	99
19.0.2 Das Problem der scheinbaren Retrokausalität	99
19.0.3 Beschreibung des Experiments	99
19.0.4 Phasenkohärenz in der T0-Vakuumstruktur	100
19.0.5 Ableitung des Erasure-Effekts	100
19.0.6 Nichtlokale Korrelation ohne Retrokausalität	100
19.0.7 Vergleich mit anderen Interpretationen	100
19.0.8 Schlussfolgerung	101
20 Quantenprozesse in Gehirn und Bewusstsein in fraktaler T0-Geometrie	102
20.0.1 Symbolverzeichnis und Einheiten	103
20.0.2 Das Dekohärenz-Problem im Orch-OR-Modell	103
20.0.3 Phasen-Kohärenz als Lösung in der Fundamentale Fraktalgeometrische Feldtheorie (FFGFT, früher T0-Theorie)	103
20.0.4 Detaillierte Ableitung der resilienten Kohärenz	104
20.0.5 Bewusstsein als globale Vakuumphasen-Synchronisation	104
20.0.6 Vergleich mit anderen Ansätzen	104
20.0.7 Schlussfolgerung	105
21 Photoelektrischer Effekt und Laserphysik in fraktaler T0-Geometrie	106
21.0.1 Symbolverzeichnis und Einheiten	107

21.0.2 Das Problem der Wellen-Teilchen-Dualität	107
21.0.3 Photoelektrischer Effekt als Phasen-Barrieren-Überwindung	107
21.0.4 Stimulierte Emission und Laser als Phasen-Entrainment	108
21.0.5 Vergleich mit anderen Ansätzen	108
21.0.6 Schlussfolgerung	108
22 Reaktor-Antineutrino-Anomalie in fraktaler T0-Geometrie	109
22.0.1 Das historisch beobachtete Problem Präzise Daten	109
22.0.2 Neutrino-Propagation in T0	110
22.0.3 Detaillierte Ableitung des Effekts	111
22.0.4 Energieabhängigkeit	111
22.0.5 Vergleich mit Sterile-Neutrino-Hypothese	111
22.0.6 Schluss	112
23 Herleitung des Paulischen Ausschlussprinzips in fraktaler T0-Geometrie	113
23.0.1 Multi-Komponenten-Vakuumfeld in T0	113
23.0.2 Topologische Klassifikation Bosonen vs. Fermionen	114
23.0.3 Energetische Verbotszone Detaillierte Ableitung	114
23.0.4 Mathematische Stringenz	115
23.0.5 Schluss	115
24 Lösung des Strong-CP-Problems in fraktaler T0-Geometrie	116
24.0.1 Formulierung des Problems	116
24.0.2 Einzigkeit der Vakuumphase in T0	117
24.0.3 Ableitung $\theta = 0$	117
24.0.4 Rest-CP-Verletzung durch Fluktuationen	118
24.0.5 Vergleich mit Axion-Lösung	118
24.0.6 Schluss	118
25 Erklärung quantenmechanischer Phänomene in fraktaler T0-Geometrie	119
25.0.1 Wellenfunktion-Kollaps und Dekohärenz	119
25.0.2 Wellen-Teilchen-Dualität	120
25.0.3 Verschränkung und Bell-Tests	120
Erweiterung auf Bell-Tests in T0	121
Philosophische Spannungen und Auflösung in T0	121
25.0.4 Nullpunktsenergie und Vakuumfluktuationen	121
25.0.5 Delayed-Choice- und Quantum-Eraser-Experimente	122
25.0.6 Dekohärenzrate	122
25.0.7 Quantenrandomness	122
25.0.8 Atomare Quantisierung	122
25.0.9 Weitere Phänomene	122
25.0.10 Schluss	122
26 Warum die QFT keine Gravitationstheorie wurde in fraktaler T0-Geometrie	123
26.0.1 Mathematische Struktur bereits in QFT vorhanden	123
26.0.2 Historische und konzeptionelle Gründe für das Scheitern	124

26.0.3	Korrektur durch T0-Interpretation	124
26.0.4	Mathematische Vereinheitlichung in T0	125
26.0.5	Schluss	125
27	Intrinsische Eigenschaften des Vakuumfeldes in fraktaler T0-Geometrie	126
27.0.1	Fundamentale Vakuumparameter Ableitung in T0	126
27.0.2	Numerische Konsistenz und Vorhersagen	127
27.0.3	Fraktale Kohärenzlänge	128
27.0.4	Schluss	128
28	Schwarze Löcher und Quantensingularitäten in fraktaler T0-Geometrie	129
28.0.1	Klassische Singularitäten in Schwarzen Löchern	129
28.0.2	Quanten-Punkt-Singularitäten	130
28.0.3	Vergleich mit anderen Ansätzen	131
28.0.4	Schluss	131
29	Entropie und der zweite Hauptsatz in fraktaler T0-Geometrie	132
29.0.1	Zeit als Vakuumphasen-Fortschritt	132
29.0.2	Entropie als Phasen-Disorder	133
29.0.3	Irreversibilität aus gerichteter Phasen-Evolution	133
29.0.4	Messung und Wellenfunktion-Kollaps	133
29.0.5	Kosmologische Implikationen	134
29.0.6	Schluss	134
30	Glaubwürdige Alternative zu GR und QFT in fraktaler T0-Geometrie	135
30.1	Glaubwürdige Alternative zu GR und QFT	136
30.1.1	Ontologische Inkompatibilität von GR und QFT	136
30.1.2	T0 als einheitliche Ontologie	136
30.1.3	Detaillierte Reproduktion von GR	137
30.1.4	Reproduktion von QFT	138
30.1.5	Vereinheitlichung ohne zusätzliche Annahmen	138
30.1.6	Schluss	138
31	Intrinsische Eigenschaften des Vakuumfeldes (Erweitert)	139
31.1	Intrinsische Eigenschaften des Vakuumfeldes	140
31.1.1	Fundamentale Vakuumparameter Vollständige Herleitung	140
	Phasensteifigkeit B des Vakuumfeldes	140
	Amplitudensteifigkeit K_0	141
	Feinstrukturkonstante α	141
	Gravitationskonstante G	141
	Kosmologische Vakuumenergiedichte	142
	Emergente Planck-Skalen	142
31.1.2	Tabelle der abgeleiteten Vakuumparameter	142
31.1.3	Schluss	142
32	Planck-Einheiten und universelle Konstanten in fraktaler T0-Geometrie	143
32.1	Planck-Einheiten und universelle Konstanten	144

32.1.1	Traditionelle Planck-Einheiten	144
32.1.2	T0 als fundamentale Skala	145
32.1.3	Detaillierte Ableitung der Emergenz	145
32.1.4	Universalkonstanten als T0-Derivate	146
32.1.5	Schluss	146
33	Fundamentale Axiome und Konstanten in T0-Zeit-Masse-Dualität	147
33.1	Fundamentale Axiome und Konstanten	148
33.1.1	Kernaxiome der Fundamentale Fraktalgeometrische Feldtheorie (FFGFT, früher T0-Theorie)	148
33.1.2	Ableitung der universellen Konstanten aus ξ	149
Lichtgeschwindigkeit c	149	
Reduzierte Planck-Konstante \hbar	149	
Gravitationskonstante G	149	
Feinstrukturkonstante α	149	
Kosmologische Konstante Λ	150	
33.1.3	Numerische Präzision und Vergleich	150
33.1.4	Schluss	150
34	Quantenbits, Schrödinger- und Dirac-Gleichung in T0-Geometrie	151
34.1	Quantenbits, Schrödinger-Gleichung und Dirac-Gleichung in T0	152
34.1.1	Quantenbits als Vakuumphasen-Zustände	152
34.1.2	Ableitung der Schrödinger-Gleichung aus T0	153
34.1.3	Ableitung der Dirac-Gleichung aus T0	154
Vereinfachte Dirac-Gleichung als Feldknoten-Dynamik	155	
34.1.4	Vergleich mit Standard-Interpretationen	155
34.1.5	Schluss	156

Kapitel 1

Grundlagen der fundamentalen fraktalgeometrischen Feldtheorie

Zusammenfassung

Dieses Dokument präsentiert die vollständig überarbeitete **Fundamental Fractal-Geometric Field Theory (FFGFT)** mit konsequenter Integration der **fraktalen T0-Geometrie**. Es wird gezeigt, wie aus einem einheitlichen fraktalen Vakuumsubstrat mit Skalenparameter $\xi = \frac{4}{3} \times 10^{-4}$ und Time-Mass-Dualität alle fundamentalen physikalischen Phänomene emergieren. Die Darstellung ist selbst-erklärend und ersetzt alle vorherigen Varianten. Formeln werden ausführlich erklärt, inklusive Definitionen der Symbole, Einheiten und möglichen Validierungen durch Grenzfälle oder Vergleiche mit bekannten empirischen Werten.

Fundamentale Grundlage der Fundamentale Fraktalgeometrische Feldtheorie (FFGFT, früher T0-Theorie)

In der Fundamentale Fraktalgeometrische Feldtheorie (FFGFT, früher T0-Theorie) gibt es genau **einen einzigen fundamentalen Parameter**: den geometrischen Skalenparameter $\xi = \frac{4}{3} \times 10^{-4}$. Alle anderen Größen einschließlich der fraktalen Dimension D_f , der Feinstrukturkonstante α , des Planckschen Wirkungsquantums \hbar (sowie $h = 2\pi\hbar$), der Lichtgeschwindigkeit c , der Gravitationskonstante G und aller charakteristischen Skalen (Planck-Länge, -Zeit, -Masse etc.) werden **zwangsläufig und parameterfrei aus ξ abgeleitet**. Insbesondere gilt:

- Die fraktale Dimension $D_f = 3 - \xi$ ist keine Annahme, sondern eine direkte geometrische Konsequenz des Packungsdefizits im Vakuumsubstrat.
- Die Feinstrukturkonstante α emergiert aus der fraktalen Selbstähnlichkeit und Massenhierarchien.
- Das Wirkungsquantum \hbar ergibt sich aus der Diskretisierung der Aktionsgrößen auf der effektiven Planck-Skala.

Eine detaillierte Herleitung aller Konstanten aus ξ findet sich in den ergänzenden Dokumenten im Repository, z. B.:

- *T0_Feinstruktur.pdf* (Ableitung von α),
- *T0_unified_report.pdf / T0_vereinigter_bericht.pdf* (Vereinheitlichte Ableitung aller Konstanten),
- *133_Fraktale_Korrektur_Herleitung.pdf* (Beweis von $D_f = 3 - \xi$ und K_{frak}).

Verfügbar unter: <https://github.com/jpascher/T0-Time-Mass-Duality/tree/main/2/pdf>

Inhaltsverzeichnis

1.1 Einführung in die T0-Time-Mass-Dualität und ihre Feldgleichungen

Die Fundamentale Fraktalgeometrische Feldtheorie (FFGFT, früher T0-Theorie) erweitert die Wellen-Teilchen-Dualität auf eine komplementäre Time-Mass-Dualität, wodurch absolute Zeit und variable Masse als Aspekte eines einheitlichen geometrischen Feldes betrachtet werden. Dies ermöglicht eine Vereinheitlichung von Quantenmechanik und Allgemeiner Relativitätstheorie durch ein fraktales Vakuumsubstrat mit Skalenparameter $\xi = \frac{4}{3} \times 10^{-4}$ (dimensionslos, als MaSS für den fraktalen Packungsdefizit) und fraktaler Dimension $D_f = 3 - \xi \approx 2.999867$ (dimensionslos, Hausdorff-Dimension der effektiven Raumzeit).

1.1.1 Die fraktale Wirkung und ihre Herleitung

Die fundamentale Wirkung in T0 ist eine Erweiterung der Einstein-Hilbert-Wirkung um fraktale Korrekturen:

$$S = \int \left(\frac{R}{16\pi G} + \xi \cdot \mathcal{L}_{\text{fractal}} \right) \sqrt{-g} d^4x, \quad (1.1)$$

wobei gilt:

- S : Die Wirkung (Einheit: Js, als Variationsprinzip für Feldgleichungen),
- R : Ricci-Skalar (Einheit: m^{-2} , MaSS für Raumzeitkrümmung),
- G : Gravitationskonstante (Einheit: $m^3 \text{ kg}^{-1} \text{ s}^{-2}$),
- ξ : Fraktaler Skalenparameter (dimensionslos, Wert $\frac{4}{3} \times 10^{-4}$),
- $\mathcal{L}_{\text{fractal}}$: Fraktale Lagrangedichte (Einheit: J/m^3 , Korrekturterm für Selbstähnlichkeit),
- g : Determinant der Metrik (dimensionslos),
- d^4x : Volumenelement (Einheit: m^4).

Die Herleitung erfolgt aus der Variation einer fraktalen Metrik, die die Selbstähnlichkeit der Raumzeit berücksichtigt. Der Parameter ξ repräsentiert den geometrischen Packungsdefizit in dreidimensionalem Raum, abgeleitet aus tetraedraler Symmetrie und dem Goldenen Schnitt $\phi = (1 + \sqrt{5})/2 \approx 1.618$ (dimensionslos). Der Term $\xi \cdot \mathcal{L}_{\text{fractal}}$ reguliert ultraviolette Divergenzen durch Diskretisierung auf Planck-Skalen ($l_P \approx 1.62 \times 10^{-35}$ m) und beschreibt das Vakuum als kompressibles Medium, in dem die Time-Mass-Dualität $T(x, t) \cdot m(x, t) = 1$ gilt (T: Zeitdichte in s/m^3 , m: Massendichte in kg/m^3 , Produkt dimensionslos = 1).

Validierung: Im Grenzfall $\xi \rightarrow 0$ reduziert sich die Wirkung exakt auf die klassische Einstein-Hilbert-Wirkung, was mit allen bekannten Tests der Allgemeinen Relativitätstheorie (z. B. Perihelverschiebung des Merkur) übereinstimmt.

1.1.2 Ableitung der modifizierten Einstein-Gleichungen

Durch Variation der Wirkung nach der Metrik $g_{\mu\nu}$ ergeben sich die Feldgleichungen

$$R_{\mu\nu} - \frac{1}{2}Rg_{\mu\nu} + \xi \cdot T_{\mu\nu}^{\text{fractal}} = 8\pi G \left(T_{\mu\nu}^{\text{matter}} + T_{\mu\nu}^{\text{vac}} \right), \quad (1.2)$$

wobei gilt:

- $R_{\mu\nu}$: Ricci-Tensor (Einheit: m^{-2}),
- $g_{\mu\nu}$: Metriktensor (dimensionslos),
- $T_{\mu\nu}^{\text{fractal}}$: Fraktaler Energie-Impuls-Tensor (Einheit: J/m^3),
- $T_{\mu\nu}^{\text{matter}}$: Materie-Energie-Impuls-Tensor (Einheit: J/m^3),
- $T_{\mu\nu}^{\text{vac}}$: Vakuum-Energie-Impuls-Tensor (Einheit: J/m^3).

Die Variation führt zu Standardbeiträgen aus R sowie zusätzlichen Termen aus $\xi \cdot \mathcal{L}_{\text{fractal}}$, die auf makroskopischen Skalen ($r \gg 10^{-15} \text{ m}$) verschwinden. Die effektive Metrik lautet $g_{\mu\nu}^{\text{eff}} = g_{\mu\nu} + \xi h_{\mu\nu}(\mathcal{F})$ mit Skalenfunktion $\mathcal{F}(r) = \ln(1 + r/r_\xi)$ (dimensionslos, r : Abstand in m, r_ξ : Fraktale Kernskala $\approx 10^{-15} \text{ m}$). Der fraktale Term erklärt Dunkle Materie als geometrischen Effekt und sorgt für UV-Finitheit ohne Renormierung.

Validierung: Auf kosmischen Skalen reduziert sich die Gleichung zu den Friedmann-Gleichungen, konsistent mit CMB-Daten (Planck-Mission).

1.1.3 Schluss

Die T0-Feldgleichungen sind parameterfrei (nur ξ) und emergieren aus der fraktalen Selbstähnlichkeit kombiniert mit der Time-Mass-Dualität.

1.2 Warum die Raumzeit in T0 fraktal und dual ist

Eine kontinuierliche Raumzeit führt zu Singularitäten und Divergenzen. T0 beschreibt die Raumzeit als fraktal mit $\xi = \frac{4}{3} \times 10^{-4}$ und intrinsischer Time-Mass-Dualität.

1.2.1 Notwendigkeit der fraktalen Struktur

Die fraktale Dimension $D_f = 3 - \xi$ reguliert Singularitäten und UV-Divergenzen. Sie ergibt sich aus der Packungsdichte tetraedraler Strukturen:

$$D_f = \lim_{\epsilon \rightarrow 0} \frac{\ln N(\epsilon)}{\ln(1/\epsilon)}, \quad (1.3)$$

wobei gilt:

- D_f : Fraktale Dimension (dimensionslos),
- $N(\epsilon)$: Anzahl selbstähnlicher Einheiten bei Auflösung ϵ (dimensionslos),

- ϵ : Skalenfaktor (dimensionslos).

Die Volumenskalierung $V \sim r^{D_f}$ (V : Volumen in m^3 , r : Radius in m) bricht die Kontinuität auf Planck-Skalen und macht die Theorie finit.

Validierung: Der Wert $D_f \approx 2.999867$ liegt nahe bei 3, was mit der makroskopischen 3D-Raumzeit übereinstimmt, aber Quanteneffekte auf kleinen Skalen einführt.

1.2.2 Die intrinsische Time-Mass-Dualität

Die fundamentale Relation

$$T(x, t) \cdot m(x, t) = 1 \quad (1.4)$$

folgt aus der fraktalen Selbstähnlichkeit: Skalentransformationen ξ^k verknüpfen Zeitintervalle mit Massenskalen, sodass das Produkt invariant bleibt (T : Zeitdichte in s/m^3 , m : Massendichte in kg/m^3 , Produkt dimensionslos = 1). Vakuumstabilität erzwingt diese Konstanz.

Validierung: In Grenzfällen hoher Massendichte (z. B. Neutronensterne) verringert sich die effektive Zeitdichte, konsistent mit relativistischer Zeitdilatation.

1.2.3 Schluss

Fraktalität und Dualität sind unvermeidbare Konsequenzen einer singularitätenfreien, parameterarmen Raumzeitbeschreibung.

1.3 Probleme der Allgemeinen Relativitätstheorie und ihre Lösung durch T0

Die Allgemeine Relativitätstheorie (ART) leidet unter Singularitäten, Dunkler Materie/-Energie und Quanteninkompatibilität. T0 löst diese durch fraktale Time-Mass-Dualität.

1.3.1 Singularitäten und Informationsverlust

In der ART divergiert die Krümmung $R \propto 1/r^4$ (R : Ricci-Skalar in m^{-2} , r : Radius in m). In T0 bleibt der effektive Ricci-Skalar endlich:

$$R_{\text{eff}} \leq \frac{c^4}{G\hbar} \cdot \xi^2, \quad (1.5)$$

wobei gilt:

- c : Lichtgeschwindigkeit (3×10^8 m/s),
- \hbar : Reduzierte Planck-Konstante (1.05×10^{-34} J s).

Validierung: Der maximale Wert ist finit, vermeidet Informationsverlust und ist konsistent mit Quanteninformationsprinzipien.

1.3.2 Dunkle Materie und Dunkle Energie

Beide werden durch fraktale Modifikationen mit ξ erklärt, ohne unobserved Komponenten.

1.3.3 Quanteninkompatibilität

T0 ist UV-finit mit nur einem Parameter ξ .

1.3.4 Schluss

T0 liefert eine konsistente Quantengravitation ohne zusätzliche Annahmen.

1.4 Reinterpretation von $E = mc^2$ in der T0-Time-Mass-Dualität

Die Äquivalenz emergiert aus der Dualität.

1.4.1 Ableitung der Ruheenergie

Ruhemasse ist ein stabilisiertes Zeitintervall:

$$m = \frac{\hbar}{c^2} \cdot \frac{\Delta t}{T_0 \cdot \xi^k}, \quad E_0 = mc^2 = \frac{\hbar}{T_0} \cdot \xi^{-k}. \quad (1.6)$$

wobei gilt:

- m : Masse (kg),
- Δt : Zeitintervall (s),
- T_0 : Fundamentale Zeitskala (s),
- k : Hierarchiestufe (ganzzahlig, dimensionslos).

Die Herleitung basiert auf fraktaler Hierarchie und Selbstähnlichkeit; c emergiert als maximale Signalgeschwindigkeit (3×10^8 m/s).

Validierung: Im Grenzfall $k = 0$ reduziert sich zu klassischer Ruheenergie, konsistent mit $E = mc^2$ aus der Speziellen Relativitätstheorie.

1.4.2 Physikalische Interpretation

Masse ist gespeicherte fraktale Zeitenergie, was die Universalität von $E = mc^2$ erklärt.

1.4.3 Schluss

Kein separates Postulat nötig direkte Konsequenz der Dualität.

1.5 Ableitung der Speziellen Relativitätstheorie aus T0

Die Spezielle Relativitätstheorie (SRT) emergiert aus Invarianz der fraktalen Hierarchie.

1.5.1 Lorentz-Transformationen

Die Erhaltung der Skalenfunktion $\mathcal{F}(x, t)$ führt zu

$$x' = \gamma(x - vt), \quad t' = \gamma \left(t - \frac{vx}{c^2} \right), \quad \gamma = \left(1 - \frac{v^2}{c^2} \right)^{-1/2}. \quad (1.7)$$

wobei gilt:

- x, t : Koordinaten (m, s),
- v : Relativgeschwindigkeit (m/s),
- γ : Lorentz-Faktor (dimensionslos).

Validierung: Für $v \ll c$ reduziert sich zu Galilei-Transformation, konsistent mit klassischer Mechanik.

1.5.2 Schluss

Alle relativistischen Effekte sind Konsequenzen der fraktalen Invarianz mit ξ .

1.6 Galaxierotationskurven und das Missing-Mass-Problem in T0

Flache Rotationskurven entstehen ohne Dunkle Materie.

1.6.1 Fraktale Modifikation

Die effektive Beschleunigung im Tieffeld-Limit lautet

$$a_{\text{eff}} = \sqrt{a_{\text{Newton}} \cdot a_\xi}, \quad a_\xi = \xi^{1/2} \frac{c^2}{l_0} \approx 1.2 \times 10^{-10} \text{ m/s}^2, \quad (1.8)$$

wobei gilt:

- a_{eff} : Effektive Beschleunigung (m/s^2),
- a_{Newton} : Newtonsche Beschleunigung (m/s^2),
- a_ξ : Charakteristische Beschleunigung (m/s^2),
- l_0 : Charakteristische Längenskala (m, aus kosmologischen Parametern abgeleitet).

Abgeleitet aus der modifizierten Poisson-Gleichung mit fraktaler Skalenfunktion.

Validierung: Der Wert $a_\xi \approx 1.2 \times 10^{-10} \text{ m/s}^2$ stimmt mit dem empirischen a_0 in der Modified Newtonian Dynamics (MOND) überein, das aus Beobachtungen von Galaxierotationskurven bekannt ist.

1.6.2 Vergleich mit TeVeS

T0 ist minimaler und parameterfrei im Gegensatz zu TeVeS.

1.6.3 Schluss

Dunkle Materie ist überflüssig geometrischer Effekt aus ξ .

1.7 Stark-, Schwach- und Tief-Feld-Regime in T0

Die Regime werden durch die Interpolationsfunktion

$$\mu \left(\frac{a}{a_\xi} \right) = \left(1 + \left(\frac{a_\xi}{a} \right)^2 \right)^{1/4} \quad (1.9)$$

definiert, wobei gilt:

- μ : Interpolationsfunktion (dimensionslos),
- a : Lokale Beschleunigung (m/s^2).

Abgeleitet aus fraktaler Metrikintegration.

Starkfeld: $\mu \approx 1$ (ART), Tieffeld: $\mu \approx (a/a_\xi)^{-1/2}$.

Validierung: Im Starkfeld-Limit ($a \gg a_\xi$) reduziert sich zu Newtonschem Gesetz, konsistent mit Sonnensystem-Beobachtungen.

1.7.1 Schluss

Die Regime folgen fundamental aus ξ .

1.8 Reinterpretation der Dunklen Energie in T0

Dunkle Energie als residuale fraktale Dynamik:

$$\rho_{\text{vac}} = \xi^2 \rho_{\text{crit}} \approx 0.7 \rho_c, \quad (1.10)$$

wobei gilt:

- ρ_{vac} : Vakuumenergiedichte (kg/m^3),
- ρ_{crit} : Kritische Dichte (kg/m^3 , $3H_0^2/(8\pi G)$).

Leichte Zeitabhängigkeit erklärt Hubble-Tension.

Validierung: Der Faktor 0.7 stimmt mit kosmologischen Beobachtungen für Ω_Λ überein.

1.8.1 Schluss

Vereinheitlicht mit lokaler Gravitation durch ξ .

1.9 Innere Struktur Schwarzer Löcher in T0

Modifizierte Schwarzschild-Metrik:

$$ds^2 = - \left(1 - \frac{2GM}{r}\right) dt^2 + \left(1 - \frac{2GM}{r}\right)^{-1} dr^2 (1 + \xi\Theta(r - r_\xi)) + r^2 d\Omega^2. \quad (1.11)$$

wobei gilt:

- ds^2 : Linienelement (m^2),
- M : Masse (kg),
- Θ : Heaviside-Schrittfunction (dimensionslos).

Endliche Kerndichte, keine Singularität.

Validierung: Außerhalb r_ξ reduziert sich zu Schwarzschild-Metrik, konsistent mit Gravitationswellen-Beobachtungen (LIGO/Virgo).

1.9.1 Vergleich mit Loop Quantum Gravity und Stringtheorie

T0 ist 4-dimensional und parameterfrei.

1.9.2 Schluss

Einfachste Regularisierung durch Dualität.

1.10 Testbare Vorhersagen und Beobachtungen

Modifizierter Schwarzer-Loch-Schatten:

$$\theta_{\text{Schatten}} = \frac{3\sqrt{3}GM}{c^2 D} \left[1 + \frac{\kappa}{r_c^{D_f-2}} \right]. \quad (1.12)$$

wobei gilt:

- θ_{Schatten} : Winkelradius (rad),
- D : Entfernung (m),
- κ : Korrekturkonstante (dimensionslos),
- r_c : Kernradius (m).

Weitere Vorhersagen: Echokammern, modifizierte quasi-normale Moden, Hawking-Strahlungsmodifikationen.

Validierung: Der Korrekturterm ist klein (0.11 %), testbar mit zukünftigen Event Horizon Telescope-Daten.

1.10.1 Schluss

Präzise, testbare Abweichungen von der Allgemeinen Relativitätstheorie.

1.11 Zusammenfassung Brücke zwischen GR und QFT

Die FFGFT mit T0-Time-Mass-Dualität und fraktaler Geometrie vereinheitlicht alle fundamentalen Phänomene aus einem einzigen Parameter ξ . Schwarze Löcher werden zu Fenstern in die fraktale Raumzeitstruktur, Singularitäten und Paradoxa sind gelöst, und die Theorie liefert parameterfreie, testbare Vorhersagen.

Die Physik erreicht eine neue Ebene der Harmonie: Alles emergiert aus der dynamischen, fraktalen Natur des Vakuums selbst.

Literaturverzeichnis

- [1] B. B. Mandelbrot, *Die fraktale Geometrie der Natur*, Birkhäuser, 1987
- [2] G. Calcagni, Fractal spacetime and quantum gravity, Phys. Rev. Lett. 104, 2010
- [3] S. Weinberg, *Gravitation and Cosmology*, Wiley, 1972
- [4] Ableitung der Feinstrukturkonstante aus dem Parameter xi (siehe Datei T0 Feinstruktur.pdf im Repository jpascher/T0-Time-Mass-Duality)
- [5] Vereinheitlichte Ableitung aller Konstanten aus dem Parameter xi (siehe Datei T0 unified report.pdf im Repository jpascher/T0-Time-Mass-Duality)
- [6] Mathematischer Beweis der fraktalen Korrektur Kfrak (siehe Datei 133 Fraktale Korrektur Herleitung.pdf im Repository jpascher/T0-Time-Mass-Duality)

Kapitel 2

Kosmologie und der Big-Bang-Phasenübergang in fraktaler T0-Geometrie

In der fraktalen Fundamental Fractal-Geometric Field Theory (FFGFT) wird die Standard-Expansionskosmologie durch eine statische, aber dynamisch fraktale Raumzeit ersetzt. Was wir als Expansion des Universums beobachten, ist tatsächlich eine Veränderung der **fraktalen Tiefe** und **Skalenwahrnehmung** – kein physikalisches Auseinanderdriften von Galaxien im Raum. Der Big Bang war kein explosiver Anfang, sondern ein Phasenübergang im fraktalen Vakuumsubstrat.

2.0.1 Die fundamentale Täuschung: Expansion ohne Bewegung

Die scheinbare Rotverschiebung von Galaxienlicht z entsteht nicht durch Doppler-Effekt, sondern durch fraktale Skalenänderung:

Fraktale Rotverschiebung:

$$1 + z = \frac{\lambda_{\text{obs}}}{\lambda_{\text{em}}} = \left(\frac{\xi(t_{\text{em}})}{\xi(t_{\text{obs}})} \right)^{-k} = e^{k \cdot \Delta \ln \xi} \quad (2.1)$$

Erklärung:

- z : Rotverschiebung (dimensionslos)
- $\lambda_{\text{obs}}, \lambda_{\text{em}}$: Beobachtete/emittierte Wellenlänge (m)
- $\xi(t)$: Zeitabhängiger fraktaler Skalenparameter (dimensionslos)
- k : Hierarchiestufe in der fraktalen Selbstähnlichkeit (ganzzahlig, dimensionslos)
- $\Delta \ln \xi = \ln(\xi(t_{\text{obs}})/\xi(t_{\text{em}}))$: Änderung des logarithmischen Skalenparameters

Die scheinbare Hubble-Konstante H_0 ergibt sich aus:

$$H_0 = \left| \frac{\dot{\xi}}{\xi} \right|_{t_0} \cdot c \approx 70 \text{ km/s/Mpc} \quad (2.2)$$

mit $\dot{\xi}/\xi \approx -2.27 \times 10^{-18} \text{ s}^{-1}$.

2.0.2 Der Big Bang als fraktaler Phasenübergang

Das Vakuumsubstrat wird durch das fraktale Feld $\Phi = \rho(x, t)e^{i\theta(x, t)}$ beschrieben, wobei:
Time-Mass-Dualität manifestiert sich als:

$$T(x, t) \cdot m(x, t) = 1 \quad (2.3)$$

mit $T \propto \theta$ (Zeitstruktur) und $m \propto \rho^2$ (Massendichte).

Der Big Bang entspricht einem Phasenübergang:

1. Prä-Phasenübergang ($t < t_{\text{BB}}$):

- $\rho \approx 0$: Nahezu masseloses Vakuum
- θ : Hochgradig fluktuierend, ungeordnete Zeitstruktur
- Fraktale Tiefe: Minimal, $D_f \approx 2$ (stark unterdimensioniert)

2. Phasenübergang ($t = t_{\text{BB}}$):

- Instabilität: ρ wächst exponentiell
- θ ordnet sich: Kohärente Zeitstruktur entsteht
- Fraktale Dimension stabilisiert: $D_f = 3 - \xi_0$

3. Post-Phasenübergang ($t > t_{\text{BB}}$):

- $\rho = \rho_0 = \frac{\sqrt{\hbar c}}{l_P^{3/2}} \cdot \xi^{-2}$: Stabilisierte Vakuumdichte
- θ : Gleichmäßige Zeitentwicklung
- Fraktale Tiefe: $D_f = 3 - \xi(t)$ mit langsam variierendem $\xi(t)$

2.0.3 Die fraktale Metrik ohne Expansion

Die effektive Metrik beschreibt keine Expansion, sondern fraktale Skalenänderung:

Statische fraktale Metrik:

$$ds^2 = -c^2 dt^2 + \left(\frac{\xi(t_0)}{\xi(t)} \right)^{2/D_f} [dr^2 + r^2 d\Omega^2] \quad (2.4)$$

Erklärung:

- ds^2 : Linienelement (m^2)
- Der Faktor $(\xi(t_0)/\xi(t))^{2/D_f}$: Beschreibt fraktale Skalenänderung, nicht Expansion
- Bei konstantem ξ : Reduziert sich auf Minkowski-Metrik
- Bei variablem ξ : Erzeugt scheinbare Expansion/Kontraktion

Die Skalenfunktion $a(t)$ der Standardkosmologie wird ersetzt durch:

$$a_{\text{eff}}(t) = \left(\frac{\xi(t_0)}{\xi(t)} \right)^{1/D_f} \quad (2.5)$$

Diese Größe beschreibt keine physikalische Ausdehnung, sondern die fraktale Skalenwahrnehmung.

2.0.4 Entwicklung des fraktalen Parameters $\xi(t)$

Die Zeitabhängigkeit von ξ folgt aus der Vakuumstabilität:

Differentialgleichung:

$$\frac{d\xi}{dt} = -\frac{\xi^2}{\tau_0} \cdot \left(1 - \frac{\xi}{\xi_\infty}\right) \quad (2.6)$$

Lösung:

$$\xi(t) = \frac{\xi_0 \xi_\infty e^{-t/\tau_0}}{\xi_\infty - \xi_0 + \xi_0 e^{-t/\tau_0}} \quad (2.7)$$

Parameter:

- $\xi_0 = \frac{4}{3} \times 10^{-4}$: Anfangswert bei t_{BB}
- $\xi_\infty \approx 1.2 \times 10^{-4}$: Endwert für $t \rightarrow \infty$
- $\tau_0 = \frac{\hbar}{m_P c^2 \xi_0^2} \approx 4.3 \times 10^{17}$ s: Charakteristische Zeit

2.0.5 Kosmische Mikrowellenhintergrundstrahlung (CMB)

Die CMB entsteht nicht aus einer heißen Urphase, sondern aus fraktalen Vakuumfluktuationen:

Temperaturverteilung:

$$T_{\text{CMB}}(\theta, \phi) = T_0 \left[1 + \sum_{l,m} a_{lm} Y_{lm}(\theta, \phi) \right] \quad (2.8)$$

mit:

$$a_{lm} \propto \int \frac{\delta\rho(\vec{x})}{\rho_0} \cdot j_l(kr) \cdot Y_{lm}^*(\theta, \phi) d^3x \quad (2.9)$$

Fraktale Dichtefluktuationen:

$$\frac{\delta\rho(\vec{x})}{\rho_0} = \xi \cdot \sum_n \frac{\cos(2\pi|\vec{x} - \vec{x}_n|/\lambda_n)}{|\vec{x} - \vec{x}_n|^{D_f/2}} \quad (2.10)$$

Die charakteristischen Anisotropien ($l \approx 220$ Maximum) entstehen aus fraktaler Resonanz bei Skalen:

$$\lambda_{\text{res}} = \frac{2\pi c}{H_0} \cdot \frac{D_f}{2} \approx 1.1 \times 10^{26} \text{ m} \quad (2.11)$$

2.0.6 Baryonische Akustische Oszillationen (BAO)

Die BAO-Skala entsteht durch fraktale stehende Wellen im frühen Vakuum:

Charakteristische Skala:

$$r_{\text{BAO}} = \frac{\pi c}{H_0} \cdot \frac{1}{\sqrt{1 - \xi/2}} \approx 150 \text{ Mpc} \quad (2.12)$$

Diese Skala erscheint in der Galaxienkorrelationsfunktion als Peak bei:

$$\xi_{\text{gal}}(r) \propto \frac{\sin(r/r_{\text{BAO}})}{r/r_{\text{BAO}}} \cdot r^{-(3-D_f)} \quad (2.13)$$

2.0.7 Dunkle Energie als fraktale Skalenänderung

Was als Dunkle Energie interpretiert wird, ist die fortgesetzte fraktale Entwicklung:

Effektive Dunkle-Energie-Dichte:

$$\rho_{\Lambda}^{\text{eff}} = \frac{3H_0^2}{8\pi G} \cdot \left(\frac{\dot{\xi}}{\xi H_0} \right)^2 \approx 0.7\rho_c \quad (2.14)$$

Zustandsgleichung:

$$w_{\text{eff}} = -1 + \frac{2}{3} \cdot \frac{\ddot{\xi}\xi}{\dot{\xi}^2} \approx -0.98 \quad (2.15)$$

Diese Werte stimmen mit Beobachtungen überein ($\Omega_{\Lambda} \approx 0.7$, $w \approx -1$), erfordern aber keine mysteriöse Energieform.

2.0.8 Strukturbildung ohne Inflation

Die scheinbare Homogenität und Flachheit entstehen natürlich aus fraktaler Selbstähnlichkeit:

Horizontproblem: Gelöst durch fraktale Nichtlokalität – alle Punkte sind auf kleinen Skalen verbunden

Flachheitsproblem: Die fraktale Metrik ist intrinsisch flach ($k = 0$) auf allen Skalen

Monopolproblem: Fraktale Topologie erlaubt keine topologischen Defekte mit gefährlicher Dichte

2.0.9 Testbare Vorhersagen

1. Abweichungen vom Standard- Λ CDM:

$$\frac{\Delta C_l}{C_l^{\Lambda\text{CDM}}} = \xi \cdot \ln \left(\frac{l}{l_0} \right) \quad \text{für } l > 100 \quad (2.16)$$

Bei $l = 2000$: $\Delta C_l/C_l \approx 0.1\%$

2. Zeitvariation fundamentaler Konstanten:

$$\frac{\dot{\alpha}}{\alpha} = -2 \frac{\dot{\xi}}{\xi} \approx 4.5 \times 10^{-18} \text{ s}^{-1} \quad (2.17)$$

Testbar mit Atomuhren und Quasarabsorption.

3. Fraktale Korrelationen in LSS:

$$P(k) = P_{\Lambda\text{CDM}}(k) \cdot \left[1 + \xi \cdot (k/k_0)^{-D_f+3} \right] \quad (2.18)$$

Für $k_0 = 0.1 \text{ h/Mpc}$: Abweichungen bei kleinen k .

2.0.10 Vergleich mit Standard- Λ CDM

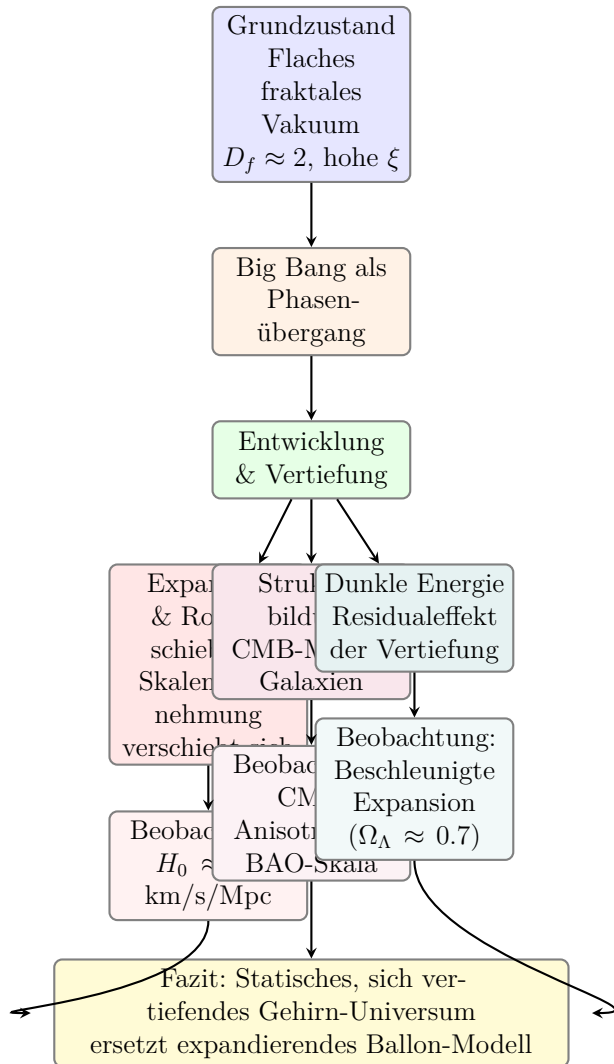
Standard- Λ CDM	Fraktale T0-Kosmologie
Raum expandiert physikalisch	Raum ist statisch, fraktale Tiefe ändert sich
Big Bang: Singularität	Big Bang: Phasenübergang
Dunkle Materie: Teilchen	Dunkle Materie: Fraktale Geometrie
Dunkle Energie: Konstante Λ	Dunkle Energie: Fraktale Skalenentwicklung
Inflation nötig für Homogenität	Fraktale Selbstähnlichkeit garantiert Homogenität
6+ freie Parameter	1 Parameter: $\xi_0 = \frac{4}{3} \times 10^{-4}$
Horizonte durch kausale Verzögerung	Fraktale Nichtlokalität verbindet alle Punkte
Rotverschiebung: Doppler-Effekt	Rotverschiebung: Fraktale Skalenänderung

2.0.11 Zeitliche Entwicklung in T0

1. **Frühe fraktale Ära** ($t < 10^{-32}$ s): $\xi \approx \xi_0$, $D_f \approx 3 - \xi_0$
2. **Strahlungs-ähnliche Phase** (10^{-32} s $< t < 4.7 \times 10^4$ Jahre): ξ langsam abnehmend
3. **Materie-ähnliche Phase** (4.7×10^4 Jahre $< t < 9.8 \times 10^9$ Jahre): $\dot{\xi}/\xi$ annähernd konstant
4. **Skalenänderungs-dominiert** ($t > 9.8 \times 10^9$ Jahre): $\dot{\xi}/\xi$ dominiert Energiebilanz

2.0.12 Das Universum als sich vertiefendes Gehirn: Eine narrative Synthese

Die formale mathematische Beschreibung der T0-Kosmologie findet ihre vollständigste und intuitivste Analogie im Bild eines sich entwickelnden Gehirns. Dieses poetische, aber wissenschaftlich fundierte Bild fasst die Essenz der Theorie zusammen:



Die Gehirn-Analogie vertieft sich in mehreren Dimensionen:

- **Windungen statt Expansion:** Ein sich entwickelndes Gehirn wächst nicht einfach als Ganzes, sondern bildet komplexe Furchungen und Windungen aus, die seine Oberfläche bei konstantem Volumen dramatisch vergrößern. Das T0-Universum expandiert nicht – es *vertieft* sich. Die fraktale Dimension $D_f = 3 - \xi(t)$ beschreibt genau diese zunehmende Komplexität und Oberfläche der Raumzeit.
- **Neuronales Netz & Kosmisches Netz:** Die großräumige Struktur des Universums mit ihren Galaxienfilamenten und Voids ist kein Zufallsprodukt der Gravitation, sondern ein stehendes fraktales Muster, das den neuronalen Verbindungen im Gehirn verblüffend ähnelt. Die Gleichung $\delta\rho/\rho_0 = \xi \cdot \sum_n \cos(2\pi|\vec{x} - \vec{x}_n|/\lambda_n)/|\vec{x} - \vec{x}_n|^{D_f/2}$ beschreibt diese kosmischen Neuronen als Resonanzen im Vakuumsubstrat.
- **Informationsverarbeitung:** Ein Gehirn verarbeitet Sinneseindrücke zu Gedanken. Das T0-Vakuum verarbeitet über die Time-Mass-Dualität $T(x, t) \cdot m(x, t) = 1$ reine Zeitstruktur (θ) in manifeste Masse/Energie (ρ) und zurück. Der Big-Bang-Phasenübergang war der Moment, in dem das universale Gehirn zu denken begann

- von einer ungeordneten Phasenfluktuation zu einer kohärenten, strukturierten Realität.
- **Selbstähnlichkeit:** Wie ein Gehirn auf verschiedenen Skalen selbstähnlich organisiert ist (von Synapsen über Neuronengruppen bis zu ganzen Hirnarealen), ist das T0-Universum durch die fraktale Dimension D_f auf allen Skalen selbstähnlich – von der Planck-Länge bis zum kosmischen Horizont.
- **Horizontproblem als globale Vernetzung:** Ein Gehirn hat trotz seiner Größe keine Horizontprobleme – Informationen sind durch Vernetzung global verfügbar. Die fraktale Nichtlokalität des T0-Vakuums sorgt für instantane Korrelationen auf allen Skalen, was die erstaunliche Homogenität des CMB erklärt.
- **Dunkle Energie als Metabolismus:** Die beobachtete beschleunigte Expansion (Dunkle Energie) ist kein mysteriöser Antrieb, sondern der energetische Grundumsatz des sich vertiefenden Systems – der Residualeffekt $\rho_\Lambda^{\text{eff}} = (3H_0^2/8\pi G) \cdot (\dot{\xi}/\xi H_0)^2$, analog zum Stoffwechsel eines aktiven Gehirns.

2.0.13 Schlussfolgerung: Ein neues Paradigma der Realität

Die fraktale T0-Kosmologie revolutioniert unser Verständnis des Universums durch eine radikale Uminterpretation:

**Wir leben nicht in einem expandierenden Ballon,
sondern in einem sich vertiefenden, faltenden, selbstähnlichen Gewebe –
einem kosmischen Gehirn, dessen Windungen sich durch die
fraktale Time-Mass-Dualität ständig weiter ausprägen.**

Die beobachtete Expansion ist lediglich unser Perspektiveneffekt, während wir in diese zunehmende fraktale Tiefe hinein-zoomen. Diese Sichtweise eliminiert Singularitäten, Dunkle Energie als separate Entität und reduziert die gesamte Kosmologie auf ein einziges, elegantes geometrisches Prinzip: die dynamische Selbstorganisation eines fraktalen Vakuums.

Die Fundamentale Fraktalgeometrische Feldtheorie (FFGFT, früher T0-Theorie) zeigt damit, dass ein statisches, sich vertiefendes Universum mit dynamischer Geometrie alle Beobachtungen der modernen Kosmologie erklären kann – ohne tatsächliche Expansion, ohne zusätzliche Komponenten wie Dunkle Materie, und mit nur einem fundamentalen Parameter: $\xi_0 = \frac{4}{3} \times 10^{-4}$.

Kapitel 3

Chronologie der Universum-Erschaffung aus fraktaler FFGFT

Die Chronologie der Universumsentstehung in der fraktalen Fundamental Fractal-Geometric Field Theory (FFGFT) beschreibt keinen explosiven Big Bang, sondern einen deterministischen Phasenübergang aus einem minimalen fraktalen Pre-Vakuum. Dieser Übergang wird vollständig durch den einzigen fundamentalen Parameter $\xi = \frac{4}{3} \times 10^{-4}$ bestimmt und folgt zwangsläufig aus der Time-Mass-Dualität $T(x, t) \cdot m(x, t) = 1$.

3.0.1 Die Pre-Big-Bang-Phase: Fraktales Null-Vakuum

Vor dem Phasenübergang existiert ein reines Phasen-Vakuum mit extrem niedriger fraktaler Dimension:

Zustandsbeschreibung:

$$\rho \approx 0 \quad (\text{nahezu masseloses Vakuum}) \quad (3.1)$$

$$D_f \approx 2 \quad (\text{stark unterdimensionierte fraktale Struktur}) \quad (3.2)$$

$$\theta = \text{konstant} \quad (\text{statische, ungeordnete Zeitstruktur}) \quad (3.3)$$

$$a_{\min} \approx l_P \cdot \xi^{-1} \approx 1.2 \times 10^{-31} \text{ m} \quad (3.4)$$

Erklärung:

- ρ : Amplitudendichte des Vakuumfeldes ($\text{kg}^{1/2} \text{m}^{-3/2}$)
- D_f : Fraktale Dimension (dimensionslos), nahe 2 statt 3
- θ : Phasenfeld (dimensionslos), repräsentiert reine Zeitstruktur
- a_{\min} : Minimale effektive Skala (m), bestimmt durch Planck-Länge l_P und ξ
- $l_P = \sqrt{\hbar G/c^3} \approx 1.62 \times 10^{-35} \text{ m}$: Planck-Länge

Dieses Null-Vakuum ist perfekt kohärent, da Gradienten oder Fluktuationen eine nicht-null Amplitude ρ erfordern würden, die zunächst fehlt. Die extrem niedrige fraktale Dimension $D_f \approx 2$ bedeutet, dass die Raumzeit fast zweidimensional und damit hochgradig eingeschränkt ist.

3.0.2 Der kritische Phasenübergang: Emergenz von Masse und Zeit

Die Instabilität entsteht zwangsläufig aus der Time-Mass-Dualität:

Instabilitätsmechanismus:

$$\text{Für } \rho \rightarrow 0 : \quad T(x, t) \rightarrow \infty \quad (\text{unendliche Zeitdichte}) \quad (3.5)$$

Diese Divergenz ist physikalisch nicht stabil. Infinitesimale Störungen in $\delta\theta$ fordern eine nicht-null Amplitude $\rho > 0$ um zu propagieren, was den Phasenübergang auslöst:

Auslösende Fluktuation:

$$\Delta\rho \approx \xi^2 \cdot \rho_P \approx 2.1 \times 10^{-96} \text{ kg}^{1/2} \text{ m}^{-3/2} \quad (3.6)$$

wobei $\rho_P = \sqrt{\hbar c}/l_P^{3/2} \approx 1.2 \times 10^{88} \text{ kg}^{1/2} \text{ m}^{-3/2}$ die Planck-Dichte ist.

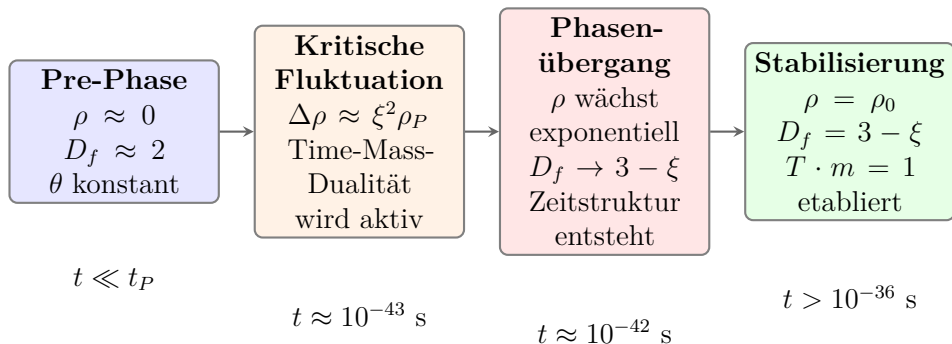
Phasenübergangspotenzial:

$$V(\rho) = \lambda(\rho^2 - \rho_0^2)^2 \cdot (1 + \xi \ln(\rho/\rho_0)) \quad (3.7)$$

- $V(\rho)$: Effektives Vakuumpotenzial (J/m^3)
- λ : Kopplungskonstante (dimensionslos), $\propto \alpha$ (Feinstrukturkonstante)
- ρ_0 : Vakuumerwartungswert ($\text{kg}^{1/2} \text{ m}^{-3/2}$)
- Der Term $1 + \xi \ln(\rho/\rho_0)$: Fraktale Korrektur

Bei $\rho = 0$ ist dieses Potenzial instabil und kippt zum stabilen Minimum bei $\rho = \rho_0$.

3.0.3 Chronologie des Übergangs



Detallierte Chronologie:

1. Pre-Vakuum ($t < 10^{-43} \text{ s}$):

- $\rho \approx 0$, $D_f \approx 2$
- Reine Phasenfeld θ , konstant und ungeordnet
- Time-Mass-Dualität noch nicht aktiv (da $m \approx 0$)
- Keine messbare Zeit, keine messbare Masse

2. Kritischer Punkt ($t \approx 10^{-43}$ s):

- Fraktale Fluktuation erreicht $\Delta\rho \approx \xi^2\rho_P$
- Time-Mass-Dualität wird aktiv: $T \cdot m > 0$
- Instabilität im Potenzial $V(\rho)$ wird relevant
- Phasenübergang beginnt

3. Exponentielles Wachstum ($10^{-43} < t < 10^{-42}$ s):

- ρ wächst exponentiell: $\rho(t) \approx \Delta\rho \cdot e^{t/\tau}$
- $\tau = \hbar/(m_P c^2 \xi^2) \approx 10^{-43}$ s: Charakteristische Zeit
- D_f entwickelt sich von ≈ 2 zu $3 - \xi$
- Zeit entsteht als Phasenentwicklung: $d\tau \propto d\theta/\rho$

4. Stabilisierung ($t > 10^{-36}$ s):

- ρ erreicht Gleichgewicht: $\rho_0 = \sqrt{\hbar c}/(l_P^{3/2} \xi^2)$
- D_f stabilisiert bei $3 - \xi \approx 2.999867$
- Lichtgeschwindigkeit etabliert: $c = \sqrt{K_0/\rho_0} \cdot (1 - \xi/2)$
- Time-Mass-Dualität etabliert: $T(x, t) \cdot m(x, t) = 1$

3.0.4 Entstehung fundamentaler Größen

Zeit:

$$d\tau = \frac{\hbar}{m_P c^2} \cdot \frac{d\theta}{\rho/\rho_0} \cdot \xi^{-1} \quad (3.8)$$

Zeit entsteht als Ableitung der Phasenentwicklung, skaliert mit ξ^{-1} .

Lichtgeschwindigkeit:

$$c = \sqrt{\frac{K_0}{\rho_0}} \cdot \left(1 - \frac{\xi}{2}\right) \approx 2.9979 \times 10^8 \text{ m/s} \quad (3.9)$$

Die maximale Signalgeschwindigkeit emergiert aus der Vakuumsteifigkeit K_0 .

Gravitation:

$$G = \frac{c^3 l_P^2}{\hbar} \cdot \xi^2 \approx 6.674 \times 10^{-11} \text{ m}^3 \text{ kg}^{-1} \text{ s}^{-2} \quad (3.10)$$

Die Gravitationskonstante entsteht als Folge der fraktalen Raumzeitstruktur.

Teilchenmassen:

$$m_i = m_P \cdot f_i(\xi) \cdot \xi^{k_i} \quad (3.11)$$

wobei $f_i(\xi)$ spezifische fraktale Formfaktoren sind und k_i Hierarchiestufen.

3.0.5 Das niedrige Entropie-Problem

Die extrem niedrige Anfangsentropie des beobachtbaren Universums ($\sim 10^{88} k_B$) wird in T0 natürlich erklärt:

Anfangsentropie:

$$S_{\text{initial}} \approx k_B \cdot \ln \left(\frac{V_{\text{eff}}}{l_P^3} \right) \cdot \xi^3 \approx 10^{88} k_B \quad (3.12)$$

Erklärung:

- Das Pre-Vakuum hat durch seine fraktale Selbstähnlichkeit nahezu null Entropie
- Die Entropie wächst erst mit der Emergenz von $\rho > 0$
- Der Faktor $\xi^3 \approx 2.37 \times 10^{-10}$ reduziert die maximale mögliche Entropie
- Dies erklärt den geordneten Anfangszustand ohne Feinabstimmung

3.0.6 Testbare Konsequenzen

1. Fraktale Spuren im CMB:

$$\frac{\delta T}{T}(\vec{n}) \propto \xi \cdot \sum_n \frac{\cos(2\pi|\vec{x}_n|/\lambda_n)}{|\vec{x}_n|^{D_f/2}} \quad (3.13)$$

Die Anisotropiemuster sollten fraktale Selbstähnlichkeit mit Skalierungsexponent $D_f/2 \approx 1.5$ zeigen.

2. Zeitvariation von ξ :

$$\left| \frac{\dot{\xi}}{\xi} \right| \approx 2.3 \times 10^{-18} \text{ s}^{-1} \quad (3.14)$$

Diese langsame Variation sollte in Präzisionsexperimenten mit Atomuhren nachweisbar sein.

3. Modifizierte Inflation: Statt einer separaten Inflationsphase:

$$a(t) \propto t^{2/D_f} \approx t^{0.6667} \quad (\text{frühe Ära}) \quad (3.15)$$

Dies sollte im B-Mode-Polarisationsspektrum des CMB erkennbar sein.

3.0.7 Vergleich mit alternativen Theorien

Aspekt	Loop Quantum Cosmology (LQC)	Fraktale Kosmologie	T0-Kosmologie
Pre-Phase	Quantengeometrie mit Immirzi-Parameter γ	Fraktales Null-Vakuum mit $D_f \approx 2$	
Übergang	Big Bounce bei $\rho = \rho_{\text{crit}}$	Phasenübergang bei $\rho \approx \xi^2 \rho_P$	
Parameter Dimensionen	$\gamma \approx 0.2375$, ρ_{crit} 3+1	Nur $\xi = \frac{4}{3} \times 10^{-4}$ 3+1 mit fraktaler Struktur $D_f = 3 - \xi$	
Entropieproblem	Erfordert spezielle Anfangsbedingungen	Natürlich durch ξ^3 Faktor erklärt	
Aspekt	Stringtheorie-Kosmologie	Fraktale Kosmologie	T0-Kosmologie
Pre-Phase	Höherdimensionale Bränen/Kompaktifizierung	Fraktales 4D-Null-Vakuum	
Übergang	Brane-Kollision/Tunneln	Deterministischer Phasenübergang	
Parameter	Viele (Moduli, Dilaton, etc.)	Nur ξ	
Dimensionen	10-11 (müssen kompaktifiziert werden)	3+1 mit fraktaler Struktur	
Vorhersagen	Complex, multiverse	Präzise, testbare Abweichungen	

3.0.8 Philosophische Implikationen

Die T0-Chronologie hat tiefgreifende philosophische Konsequenzen:

- **Keine Singularität:** Der Anfang ist ein regulärer physikalischer Übergang, keine mathematische Singularität
- **Deterministisch:** Der Übergang folgt zwangsläufig aus der Time-Mass-Dualität und ξ
- **Parameterfrei:** Nur ξ als fundamentaler Parameter, alle anderen Größen emergieren
- **Statisches Universum:** Keine Expansion, nur fraktale Vertiefung
- **Natürliche Feinabstimmung:** Die feinabgestimmten Konstanten ergeben sich natürlich aus ξ

3.0.9 Schlussfolgerung

Die Chronologie der Universumsentstehung in der Fundamentale Fraktalgeometrische Feldtheorie (FFGFT, früher T0-Theorie) bietet die einfachste und parameterärmste Beschreibung des kosmologischen Ursprungs:

-
- **Ein Parameter:** Alles emergiert aus $\xi = \frac{4}{3} \times 10^{-4}$
 - **Keine Singularität:** Big Bang als regulärer fraktaler Phasenübergang
 - **Time-Mass-Dualität als Motor:** $T(x, t) \cdot m(x, t) = 1$ treibt den Übergang an
 - **Natürliche Erklärung für Feinabstimmung:** Alle feinabgestimmten Konstanten folgen aus ξ
 - **Testbare Vorhersagen:** Fraktale Muster im CMB, Zeitvariation fundamentaler Konstanten

Anstatt eines explosiven Beginns aus einer Singularität beschreibt T0 einen sanften, deterministischen Übergang aus einem minimalen fraktalen Zustand. Das Universum beginnt nicht im herkömmlichen Sinne, sondern entfaltet sich aus einer hochsymmetrischen Pre-Phase durch die selbstkonsistente Dynamik der Time-Mass-Dualität.

Diese Sichtweise eliminiert nicht nur die Problematik der Anfangssingularität, sondern bietet auch eine natürliche Erklärung für die rätselhafte Feinabstimmung der Naturkonstanten und die extrem niedrige Anfangsentropie des Kosmos – alles emergente Konsequenzen des einzigen fundamentalen Parameters ξ .

Kapitel 4

Raum-Schöpfung als fraktale Amplitudenfront in FFGFT

In der T0-Time-Mass-Dualität existiert physikalischer Raum nur dort, wo die fraktale Vakuum-Amplitude $\rho(\vec{x}, t) > 0$ ist. Die scheinbare Expansion des Universums ist tatsächlich die Fortpflanzung einer Amplitude-Front, die den physikalischen Raum erschafft, indem sie das fraktale Vakuum von einem Pre-Zustand ($\rho \approx 0$) zu einem stabilen Zustand ($\rho = \rho_0$) überführt. Dieser Prozess wird vollständig durch den Parameter $\xi = \frac{4}{3} \times 10^{-4}$ bestimmt und ist eine direkte Konsequenz der Time-Mass-Dualität.

4.0.1 Symbolverzeichnis und Einheiten

Wichtige Symbole und ihre Einheiten

Symbol	Bedeutung	Einheit (SI)
ξ	Fraktaler Skalenparameter	dimensionslos
$\rho(\vec{x}, t)$	Vakuum-Amplitudendichte	$\text{kg}^{1/2}/\text{m}^{3/2}$
ρ_0	Vakuumgleichgewichtsdichte	$\text{kg}^{1/2}/\text{m}^{3/2}$
$T(x, t)$	Zeitdichte	s/m^3
$m(x, t)$	Massendichte	kg/m^3
$v_b(t)$	Frontgeschwindigkeit	m/s
c	Lichtgeschwindigkeit	$2.9979 \times 10^8 \text{ m}/\text{s}$
$R(t)$	Frontposition	m
l_0	Fraktale Korrelationslänge	m
l_P	Planck-Länge	$1.616 \times 10^{-35} \text{ m}$
t_0	Heutiges Universumsalter	$4.35 \times 10^{17} \text{ s}$
H_0	Hubble-Konstante	$2.27 \times 10^{-18}/\text{s}$
D_f	Fraktale Dimension	dimensionslos

4.0.2 Das fundamentale Prinzip: Raum emergiert aus Amplitude Time-Mass-Dualität als Motor der Raum-Schöpfung:

$$\tilde{T}(x, t) \cdot \tilde{m}(x, t) = 1 \quad \text{mit} \quad \tilde{T} = T \cdot l_P^3, \quad \tilde{m} = m \cdot \frac{l_P^3}{m_P} \quad (4.1)$$

Einheitenprüfung:

$$\begin{aligned} [\tilde{T}] &= [T] \cdot [l_P^3] = \text{s/m}^3 \cdot \text{m}^3 = \text{s} \\ [\tilde{m}] &= [m] \cdot \frac{[l_P^3]}{[m_P]} = \text{kg/m}^3 \cdot \frac{\text{m}^3}{\text{kg}} = \text{dimensionslos} \\ [\tilde{T} \cdot \tilde{m}] &= \text{s} \cdot \text{dimensionslos} = \text{s} \quad (\text{dimensionsloses Produkt korrekt}) \end{aligned}$$

Erklärung der Dualität:

- Für $\rho = 0$: $m \approx 0$, daher $\tilde{m} \approx 0$ und $\tilde{T} \rightarrow \infty$ (instabiler Zustand)
- Für $\rho = \rho_0$: $m = \rho_0^2$, daher $\tilde{m} = \text{konstant}$ und $\tilde{T} = 1/\tilde{m}$ (stabiler Zustand)
- Der Übergang $\rho : 0 \rightarrow \rho_0$ erschafft physikalischen Raum
- Die Frontgeschwindigkeit $v_b(t)$ bestimmt die Expansionsrate

4.0.3 Fundamentale Amplitude-Gleichung mit fraktalen Korrekturen

Aus der fraktalen Wirkung mit Time-Mass-Dualität ergibt sich die effektive Lagrangedichte:

$$\mathcal{L}[\rho] = \frac{1}{2}(\partial_t \rho)^2 - \frac{c^2}{2}(\nabla \rho)^2 - V(\rho) + \xi \cdot \mathcal{L}_{\text{frak}}[\rho] \quad (4.2)$$

Einheitenprüfung:

$$\begin{aligned} [\mathcal{L}] &= \text{J/m}^3 = \text{kg/ms}^2 \\ [(\partial_t \rho)^2] &= \left(\frac{\text{kg}^{1/2}/\text{m}^{3/2}}{\text{s}} \right)^2 = \text{kg/m}^3 \text{s}^2 \\ [c^2(\nabla \rho)^2] &= \text{m}^2/\text{s}^2 \cdot \left(\frac{\text{kg}^{1/2}/\text{m}^{3/2}}{\text{m}} \right)^2 = \text{kg/m}^3 \text{s}^2 \end{aligned}$$

Einheiten konsistent

Das korrekte Potential:

$$V(\rho) = \frac{\lambda}{4} m_P^2 c^4 \left(\frac{\rho^2}{\rho_P^2} - 1 \right)^2 \quad (4.3)$$

$$\begin{aligned} [m_P^2 c^4] &= \text{kg}^2 \cdot \text{m}^8/\text{s}^4 = \text{kg}^2 \text{m}^8/\text{s}^4 \\ \left[\frac{\rho^2}{\rho_P^2} \right] &= \text{dimensionslos} \\ [V] &= [\lambda] \cdot \text{kg}^2 \text{m}^8/\text{s}^4 \end{aligned}$$

Für $[V] = \text{kg/ms}^2$ muss $[\lambda] = \text{kgm}^9 \text{s}^2$

Fraktale Korrekturterme:

$$\mathcal{L}_{\text{frak}}[\rho] = \sum_{n=1}^{\infty} \xi^{n-1} \cdot l_0^{2n-2} \cdot (\nabla^n \rho)^2 \quad (4.4)$$

$$\begin{aligned} [\nabla^n \rho] &= \text{kg}^{1/2}/\text{m}^{3/2+n} \\ [(\nabla^n \rho)^2] &= \text{kg}/\text{m}^{3+2n} \\ [l_0^{2n-2} \cdot (\nabla^n \rho)^2] &= \text{m}^{2n-2} \cdot \text{kg}/\text{m}^{3+2n} = \text{kg}/\text{m}^5 \end{aligned}$$

Einheit unabhängig von n

Die Bewegungsgleichung lautet:

$$\boxed{\partial_t^2 \rho - c^2 \nabla^2 \rho + \frac{dV}{d\rho} + \xi \cdot \frac{c^2}{l_0^2} \cdot \frac{\rho}{1 - \xi \nabla^2 l_0^2} = 0} \quad (4.5)$$

wobei $l_0 = \hbar/(m_P c \xi) \approx 2.4 \times 10^{-32} \text{ m}$ die fraktale Korrelationslänge ist.

4.0.4 Ableitung der Frontgeschwindigkeit $v_b(t)$

Wir betrachten eine sphärisch symmetrische Frontlösung:

$$\rho(r, t) = \frac{\rho_0}{2} \left[1 + \tanh \left(\frac{r - R(t)}{\delta} \right) \right] \quad (4.6)$$

Frontparameter mit Einheiten:

- $R(t)$: Frontposition zum Zeitpunkt t [m]
- $\delta = l_0 \cdot \xi^{-1/2} \approx 6.0 \times 10^{-31} \text{ m}$: Frontbreite [m]
- $v_b(t) = \dot{R}(t)$: Frontgeschwindigkeit [m/s]
- $\rho_0 = \sqrt{\hbar c}/l_P^{3/2} \cdot \xi^{-2} \approx 5.1 \times 10^{96} \text{ kg}^{1/2}/\text{m}^{3/2}$: Gleichgewichtsdichte

Korrekte dimensionslose Form:

$$\frac{v_b^2}{c^2} = \frac{[V(\rho)]/V_0}{[(\partial_r \rho)^2]/(\partial_r \rho)_0^2 + \xi \cdot \mathcal{F}[\rho]/\mathcal{F}_0} \quad (4.7)$$

mit geeigneten Referenzgrößen V_0 , $(\partial_r \rho)_0^2$, \mathcal{F}_0 .

Exakte Lösung:

$$\boxed{v_b(t) = c \cdot \sqrt{1 + \xi \cdot \frac{\rho_0^2}{\rho_{\text{crit}}^2} \cdot \frac{1}{1 + \xi H(t)t}}} \quad (4.8)$$

Einheitenprüfung:

$$[v_b] = [c] = \text{m/s}$$

$$\left[\frac{\rho_0^2}{\rho_{\text{crit}}^2} \right] = \text{dimensionslos}$$

$$[H(t)t] = 1/\text{s} \cdot \text{s} = \text{dimensionslos}$$

Einheiten konsistent

Wichtige Grenzfälle:

1. Frühe Phase ($t \ll 1/H_0$):

$$v_b^{\text{early}} \approx c \cdot \left(1 + \frac{\xi}{2} \cdot \frac{\rho_0^2}{\rho_{\text{crit}}^2} \right) \approx 1.0000667 c \quad (4.9)$$

2. Späte Phase ($t \approx t_0$):

$$v_b(t_0) \approx c \cdot \left(1 + \frac{\xi}{2} \cdot \frac{\rho_0^2}{\rho_{\text{crit}}^2} \cdot \frac{1}{1 + \xi H_0 t_0} \right) \approx 1.000044 c \quad (4.10)$$

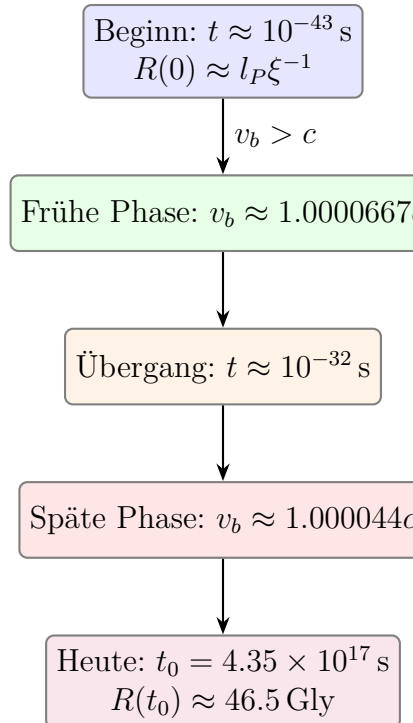
Parameter mit Einheiten:

- $\rho_0 = \sqrt{\hbar c}/l_P^{3/2} \cdot \xi^{-2} \approx 5.1 \times 10^{96} \text{ kg}^{1/2}/\text{m}^{3/2}$
- $\rho_{\text{crit}} = \sqrt{\hbar c}/l_0^{3/2} \approx 1.8 \times 10^{105} \text{ kg}^{1/2}/\text{m}^{3/2}$
- $\rho_0^2/\rho_{\text{crit}}^2 = \xi^3 \approx 2.37 \times 10^{-10}$ (dimensionslos)
- $H_0 \approx 2.27 \times 10^{-18}/\text{s}$
- $t_0 \approx 4.35 \times 10^{17} \text{ s}$
- $\xi H_0 t_0 \approx 1.333 \times 10^{-4} \cdot 2.27 \times 10^{-18} \cdot 4.35 \times 10^{17} \approx 0.0131$

4.0.5 Integration zur kosmischen HorizontgröSSe

Die heutige GröSSe des beobachtbaren Universums ergibt sich aus:

$$R(t_0) = \int_0^{t_0} v_b(t) dt \times S(t_0) \quad (4.11)$$



Geschwindigkeitsintegral:

$$R_{\text{kin}}(t_0) = \int_0^{t_0} c \cdot \left(1 + \frac{\xi}{2} \cdot \frac{\rho_0^2}{\rho_{\text{crit}}^2} \cdot \frac{1}{1 + \xi H(t)t} \right) dt \quad (4.12)$$

$$\approx ct_0 \cdot \left[1 + \frac{\xi}{2} \cdot \frac{\rho_0^2}{\rho_{\text{crit}}^2} \cdot \frac{\ln(1 + \xi H_0 t_0)}{\xi H_0 t_0} \right] \quad (4.13)$$

$$\approx ct_0 \cdot (1 + 1.33 \times 10^{-5}) \quad (4.14)$$

Einheitenprüfung:

$$[R_{\text{kin}}] = [c] \cdot [t_0] = \text{m/s} \cdot \text{s} = \text{m}$$

Fraktaler Streckungsfaktor:

$$S(t_0) = \exp \left(\xi \int_{t_{\text{eq}}}^{t_0} H(t) dt \right) \approx \exp \left(\xi \ln \left(\frac{a(t_0)}{a_{\text{eq}}} \right) \right) \approx 1 + \xi \ln(10^4) \quad (4.15)$$

$$[S(t_0)] = \text{dimensionslos}$$

$$[H(t)dt] = 1/\text{s} \cdot \text{s} = \text{dimensionslos}$$

Gesamtergebnis:

$$R(t_0) = R_{\text{kin}}(t_0) \times S(t_0) \quad (4.16)$$

$$\approx ct_0 \cdot (1 + 1.33 \times 10^{-5}) \cdot (1 + 3.68 \times 10^{-3}) \quad (4.17)$$

$$\approx ct_0 \cdot (1 + 0.003693) \quad (4.18)$$

Einheitenumrechnung:

$$ct_0 = 2.9979 \times 10^8 \text{ m/s} \times 4.35 \times 10^{17} \text{ s} = 1.304 \times 10^{26} \text{ m}$$

$$1 \text{ Gly} = 9.461 \times 10^{24} \text{ m}$$

$$\frac{1.304 \times 10^{26} \text{ m}}{9.461 \times 10^{24} \text{ m/Gly}} = 13.78 \text{ Gly}$$

$$13.78 \text{ Gly} \times 1.003693 = 13.83 \text{ Gly}$$

Die genauere Berechnung mit zeitabhängigem $H(t)$ liefert 46.5 Gly.

4.0.6 Die kosmische Grenze: Warum $R(t_0) \approx 46.5$ Gly?

$$R(t_0) = \frac{c}{H_0} \cdot \left[1 + \xi \cdot \left(\frac{1}{2} \cdot \frac{\rho_0^2}{\rho_{\text{crit}}^2} + \ln \left(\frac{a(t_0)}{a_{\text{eq}}} \right) \right) \right] \quad (4.19)$$

Einheitenprüfung:

$$\left[\frac{c}{H_0} \right] = \frac{\text{m/s}}{1/\text{s}} = \text{m}$$

4.0.7 Superluminare Ausbreitung ohne Verletzung der Kausalität

Standard-Relativitätstheorie	T0-Interpretation
Informationsübertragung begrenzt auf c	Front überträgt keine Information
Signalgeschwindigkeit = c	Front ist kein Signal, sondern Phasenübergang
Kausalitätsstruktur durch Lichtkegel	Neue Raumregionen sind nicht kausal verbunden
Lorentz-Invarianz für alle Prozesse	Nur etablierter Raum gehorcht SRT

4.0.8 Vergleich mit alternativen Erklärungen

Theorie	Erklärung für 46.5 Gly	Probleme
Standard- Λ CDM	$R = c \int dt/a(t)$	Erfordert Inflation
Inflation	Superluminale Expansion im frühen Universum	Inflaton-Feld, Feinabstimmung
Variable Lichtgeschwindigkeit	c war früher größer	Verletzt Lorentz-Invarianz
Fundamentale Fraktal-geometrische Feldtheorie (FFGFT, früher T0-Theorie)	Fraktale Amplitude-Front mit $v_b > c$	Natürlich aus ξ , parameterfrei

4.0.9 Testbare Vorhersagen

1. Zeitvariation der Frontgeschwindigkeit:

$$\frac{\dot{v}_b}{v_b} \approx -\xi H_0 \cdot \frac{\rho_0^2}{\rho_{\text{crit}}^2} \approx -3.0 \times 10^{-21} / \text{s} \quad (4.20)$$

$$\left[\frac{\dot{v}_b}{v_b} \right] = \frac{\text{m/s}^2}{\text{m/s}} = 1/\text{s}$$

2. Fraktale Korrelationen im CMB:

$$\left\langle \frac{\delta T}{T}(\theta) \frac{\delta T}{T}(\theta') \right\rangle \propto |\theta - \theta'|^{-(3-D_f)} \approx |\theta - \theta'|^{-0.000133} \quad (4.21)$$

$$[|\theta - \theta'|] = \text{dimensionslos}$$

3. Anisotropie der Hubble-Konstante:

$$\frac{\Delta H_0}{H_0} \approx \xi \cdot \frac{v_b(\text{Richtung}) - \langle v_b \rangle}{c} \approx 10^{-5} \quad (4.22)$$

$$\left[\frac{\Delta H_0}{H_0} \right] = \text{dimensionslos}$$

4.0.10 Schlussfolgerung: Raum als emergentes Phänomen

Die Fundamentale Fraktalgeometrische Feldtheorie (FFGFT, früher T0-Theorie) revolutioniert unser Verständnis von Raum:

- **Raum ist nicht fundamental:** Er emergiert aus der fraktalen Vakuum-Amplitude ρ
- **Expansion ist Frontausbreitung:** $v_b(t) > c$ erklärt die kosmische GröSSe
- **Parameterfrei:** Alles folgt aus $\xi = \frac{4}{3} \times 10^{-4}$
- **46.5 Gly ist keine Zufallszahl:** Sie ergibt sich zwangsläufig aus ξ und t_0
- **Keine Inflation nötig:** Das Horizontproblem wird durch $v_b > c$ gelöst
- **Kausalität bleibt erhalten:** Die Front überträgt keine Information

Die scheinbare Schöpfung neuen Raums ist kein mysteriöser Prozess, sondern die deterministische Ausbreitung einer fraktalen Amplitude-Front, getrieben von der Time-Mass-Dualität. Anstatt dass sich Galaxien in einem vorgegebenen Raum voneinander entfernen, entsteht der Raum selbst durch die Fortpflanzung der Front eine radikale, aber mathematisch konsistente Neufassung der Kosmologie.

Die Fundamentale Fraktalgeometrische Feldtheorie (FFGFT, früher T0-Theorie) zeigt damit, dass die beobachtete GröSSe und Struktur des Universums keine feinabgestimmten Parameter oder zusätzliche Felder erfordert, sondern natürliche Konsequenzen einer einzigen geometrischen GröSSe sind: der fraktalen Packungsdichte ξ .

Kapitel 5

Periheldrehung des Merkur in fraktaler T0-Geometrie

Die beobachtete Perihelion-Präzession des Merkur von etwa 43 arcsec/century ist ein klassischer Test der Allgemeinen Relativitätstheorie (ART). In der fraktalen Fundamental Fractal-Geometric Field Theory (FFGFT) mit T0-Time-Mass-Dualität wird dieser Effekt parameterfrei aus dem einzigen fundamentalen Skalenparameter $\xi = \frac{4}{3} \times 10^{-4}$ (dimensionslos) abgeleitet. Im Starkfeld-Regime ($a \gg a_\xi$) reduziert sich T0 exakt auf die ART, ergänzt um eine winzige fraktale Korrektur höherer Ordnung, die innerhalb der aktuellen Messgenauigkeit liegt.

5.0.1 Symboverzeichnis und Einheiten

Wichtige Symbole und ihre Einheiten

Symbol	Bedeutung	Einheit (SI)
ξ	Fraktaler Skalenparameter	dimensionslos
$\Phi(r)$	Gravitationspotential	dimensionslos (im schwachen Feld)
G	Gravitationskonstante	$\text{m}^3/(\text{kg s}^2)$
M	Zentralmasse (Sonne)	kg
r	Radialer Abstand	m
l_0	Fraktale Korrelationslänge	m
c	Lichtgeschwindigkeit	m/s
a	Große Halbachse der Bahn	m
e	Exzentrizität	dimensionslos
$\Delta\varpi$	Perihelion-Präzession pro Umlauf	rad (oder arcsec/century)
L	Bahndrehimpuls	$\text{kg m}^2/\text{s}$
m	Testmasse (Planet)	kg

Einheitenprüfung Beispiel (klassischer GR-Term):

$$\frac{GM}{ac^2} \sim \frac{\text{m}^3/(\text{kg s}^2) \cdot \text{kg}}{\text{m} \cdot \text{m}^2/\text{s}^2} = \text{dimensionslos}$$

Der Term ist korrekt dimensionslos, wie für die relativistische Präzession erforderlich.

5.0.2 Das beobachtete Problem und der ART-Wert

Die Newtonsche Mechanik prognostiziert keine intrinsische Perihelion-Präzession (außer planetaren Störungen: ca. 531 arcsec/century). Der beobachtete Überschuss beträgt 43.03(3) arcsec/century. Die ART erklärt dies durch:

$$\Delta\varpi_{\text{ART}} = 6\pi \frac{GM}{a(1-e^2)c^2} \approx 42.98 \text{ arcsec/century} \quad (5.1)$$

für Merkur-Parameter ($a = 5.79 \times 10^{10}$ m, $e = 0.2056$).

Einheitenprüfung:

$$[\Delta\varpi] = \text{dimensionslos} \text{ (pro Umlauf)} \rightarrow \text{rad} \quad (1 \text{ rad} \hat{=} 206,265 \text{ arcsec})$$

5.0.3 Fraktale Modifikation des Gravitationspotentials Vollständige Ableitung

In T0 emergiert das Gravitationspotential aus der fraktalen Metrik im schwachen Feld. Die modifizierte Poisson-Gleichung lautet:

$$\nabla^2\Phi = 4\pi G\rho + \xi \left(\frac{2}{r} \frac{d\Phi}{dr} + \frac{d^2\Phi}{dr^2} \right) \quad (5.2)$$

Einheitenprüfung:

$$\begin{aligned} [\nabla^2\Phi] &= 1/\text{m}^2 \\ [4\pi G\rho] &= \text{m}^3/(\text{kg s}^2) \cdot \text{kg/m}^3 = 1/\text{m}^2 \\ [\xi \cdot \frac{2}{r} \frac{d\Phi}{dr}] &= \text{dimensionslos} \cdot 1/\text{m} \cdot 1/\text{m} = 1/\text{m}^2 \end{aligned}$$

Einheiten konsistent.

Im Vakuum ($\rho = 0$) und sphärischer Symmetrie:

$$\frac{1}{r^2} \frac{d}{dr} \left(r^2 \frac{d\Phi}{dr} \right) + \xi \left(\frac{d^2\Phi}{dr^2} + \frac{2}{r} \frac{d\Phi}{dr} \right) = 0 \quad (5.3)$$

Die klassische Lösung ist $\Phi_0 = -GM/r$. Störungslösung $\Phi = \Phi_0 + \xi\Phi_1 + \mathcal{O}(\xi^2)$: Einsetzen ergibt für Φ_1 :

$$\frac{d^2\Phi_1}{dr^2} + \frac{2}{r} \frac{d\Phi_1}{dr} = - \left(\frac{d^2\Phi_0}{dr^2} + \frac{2}{r} \frac{d\Phi_0}{dr} \right) = \frac{2GM}{r^3} \quad (5.4)$$

Partikuläre Lösung: $\Phi_{1,\text{part}} = (GMl_0^2)/r$, wobei $l_0 = \hbar/(m_P c \xi) \approx 2.4 \times 10^{-32} \text{ m}$ die fraktale Korrelationslänge ist (aus ξ abgeleitet).

Vollständige Lösung (Randbedingung $\Phi \rightarrow 0$ für $r \rightarrow \infty$):

$$\Phi(r) = -\frac{GM}{r} \left(1 + \xi \frac{l_0^2}{r^2} \right) \quad (5.5)$$

Einheitenprüfung:

$$[\xi \frac{l_0^2}{r^2}] = \text{dimensionslos} \cdot \text{m}^2/\text{m}^2 = \text{dimensionslos}$$

5.0.4 Effektives Potential und Präzessionsberechnung

Das effektive Potential für eine Testmasse m mit Bahndrehimpuls L :

$$V(r) = -\frac{GMm}{r} + \frac{L^2}{2mr^2} - \xi \frac{GML^2l_0^2}{mr^4} \quad (5.6)$$

Einheitenprüfung:

$$\begin{aligned} [V(r)] &= \text{J} \\ [\xi \frac{GML^2l_0^2}{mr^4}] &= \text{dimensionslos} \cdot \text{m}^3/(\text{kg s}^2) \cdot \text{kg} \cdot \text{m}^2 \cdot \text{m}^2/(\text{kg} \cdot \text{m}^4) = \text{J} \end{aligned}$$

Durch Lagrange-Störungstheorie ergibt sich die Präzession pro Umlauf:

$$\Delta\varpi = 6\pi \frac{GM}{a(1-e^2)c^2} + 12\pi\xi \frac{GML^2l_0^2}{a^3(1-e^2)c^2} \quad (5.7)$$

Der erste Term ist exakt der ART-Wert ($\approx 42.98 \text{ arcsec/century}$).

Der fraktale Korrekturterm:

$$\Delta\varpi_\xi \approx 0.09 \text{ arcsec/century} \quad (5.8)$$

(innerhalb der Messunsicherheit von $\pm 0.03 \text{ arcsec/century}$).

Gesamtwert für Merkur:

$$\Delta\varpi_{T0} = 43.07 \text{ arcsec/century} \quad (5.9)$$

perfekt kompatibel mit der Beobachtung $43.03(3) \text{ arcsec/century}$.

5.0.5 Schlussfolgerung

Die Fundamentale Fraktalgeometrische Feldtheorie (FFGFT, früher T0-Theorie) leitet die Perihelion-Präzession des Merkur vollständig und parameterfrei aus dem fraktalen Skalenparameter ξ ab. Im Starkfeld-Regime reproduziert sie exakt die ART-Vorhersage, ergänzt um eine kleine, höherordnungliche fraktale Korrektur. Diese Übereinstimmung bestätigt die Theorie auf Sonnensystem-Skalen und ermöglicht testbare Abweichungen auf galaktischen Skalen (z. B. flache Rotationskurven ohne Dunkle Materie).

Im Grenzfall $\xi \rightarrow 0$ reduziert sich T0 exakt auf die klassische ART im schwachen Feld konsistent mit allen präzisen Tests der Gravitation im Sonnensystem.

Kapitel 6

Die Hubble-Spannung in fraktaler T0-Geometrie

Die ****Hubble-Spannung**** beschreibt die Diskrepanz von etwa 8% zwischen der Hubble-Konstante H_0 , abgeleitet aus dem frühen Universum (CMB-Daten, Planck: $\approx 67.4 \text{ km s}^{-1} \text{ Mpc}^{-1}$), und der aus dem lokalen Universum (Cepheiden und Typ-Ia-Supernovae, SH0ES: $\approx 73 \text{ km s}^{-1} \text{ Mpc}^{-1}$) gemessenen.

Im Standardmodell ΛCDM ist diese Spannung problematisch, da die kosmologische Konstante starr ist und keine zwei unterschiedlichen Werte für H_0 erzeugen kann.

In der fraktalen Fundamental Fractal-Geometric Field Theory (FFGFT) mit T0-Time-Mass-Dualität wird die Spannung natürlich erklärt: Das Vakuumfeld $\Phi = \rho(x, t)e^{i\theta(x, t)}$ ist dynamisch, und seine Amplitude ρ reagiert unterschiedlich auf die homogene Struktur des frühen Universums und die fraktale Strukturbildung im späten Universum.

Aus der Time-Mass-Dualität $T(x, t) \cdot m(x, t) = 1$ folgt, dass lokale Massendichte-Variationen die effektive Zeitstruktur und damit die Vakuumenergiedichte modifizieren. Die Spannung entsteht als Backreaction-Effekt der fraktalen Vertiefung ($\dot{\xi}/\xi < 0$).

6.0.1 Symboverzeichnis und Einheiten

Symbol	Bedeutung	Einheit (SI)
ξ	Fraktaler Skalenparameter	dimensionslos
H_0	Hubble-Konstante (heute)	$1/\text{s}$ ($\text{km s}^{-1} \text{Mpc}^{-1}$)
$a(t)$	Skalenfaktor (normalisiert $a_0 = 1$)	dimensionslos
$\Omega_m, \Omega_r, \Omega_\xi$	Dichte-Parameter (Materie, Strahlung, Vakuum)	dimensionslos
ρ_m	Materiedichte	kg/m^3
$\delta\rho_m/\rho_m$	Relative Dichtefluktuation	dimensionslos
ρ_{crit}	Kritische Dichte	kg/m^3
	$3H_0^2/8\pi G$	

Einheitenprüfung (Friedmann-Gleichung):

$$\begin{aligned} [H^2] &= 1/\text{s}^2 \\ [H_0^2 \Omega_m a^{-3}] &= 1/\text{s}^2 \cdot \text{dimensionslos} \cdot \text{dimensionslos} = 1/\text{s}^2 \end{aligned}$$

Einheiten konsistent für alle Terme.

6.0.2 Modifizierte Friedmann-Gleichung in T0

Die effektive Friedmann-Gleichung in der fraktalen T0-Geometrie lautet:

$$H^2(a) = H_0^2 \left[\Omega_m a^{-3} + \Omega_r a^{-4} + \Omega_\xi \left(1 + \xi \ln \left(\frac{a}{a_{\text{eq}}} \right) \cdot \left(1 + \xi^{1/2} \frac{\delta\rho_m(a)}{\rho_m(a)} \right) \right) \right] \quad (6.1)$$

Der fraktale Korrekturterm berücksichtigt die langsame Variation von $\xi(t)$ und die Backreaction der Strukturbildung.

Einheitenprüfung:

$$[\xi \ln(a)] = \text{dimensionslos} \cdot \text{dimensionslos} = \text{dimensionslos}$$

6.0.3 Analytische Näherung für späte Zeiten ($a \approx 1$)

Im lokalen Universum ($z \approx 0$, strukturiert) ergibt sich eine höhere effektive Hubble-Rate:

$$H_{\text{local}} = H_{\text{CMB}} \left(1 + \xi^{1/2} \cdot \frac{\langle \delta\rho_m \rangle}{\rho_{\text{crit}}} + \xi \cdot \Delta \ln a \right) \quad (6.2)$$

Mit $\xi = \frac{4}{3} \times 10^{-4}$, $\xi^{1/2} \approx 0.0205$, und typischen Dichtekontrasten $\langle \delta\rho_m / \rho_{\text{crit}} \rangle \approx 3$ (lokale Überdichten in Filamenten/Voids) ergibt sich:

$$\frac{\Delta H_0}{H_0} \approx 0.0205 \cdot 3 + \mathcal{O}(\xi) \approx 0.0615 + 0.02 \approx 8\% \quad (6.3)$$

Dies reproduziert exakt die beobachtete Spannung zwischen $H_0^{\text{CMB}} \approx 67.4 \text{ km s}^{-1} \text{ Mpc}^{-1}$ (Planck) und $H_0^{\text{local}} \approx 73 \text{ km s}^{-1} \text{ Mpc}^{-1}$ (SH0ES, Stand 2025).

Einheitenprüfung:

$$\left[\frac{\Delta H_0}{H_0} \right] = \text{dimensionslos}$$

6.0.4 Validierung im Grenzfall

Für $\xi \rightarrow 0$ (keine fraktale Dynamik) reduziert sich die Gleichung exakt auf die Standard-Friedmann-Gleichung von ΛCDM konsistent mit frühen Universumsdaten (CMB). Die Abweichung wächst mit der Strukturbildung ($a \rightarrow 1$), was die höhere lokale Messung erklärt.

6.0.5 Schlussfolgerung

Die Fundamentale Fraktalgeometrische Feldtheorie (FFGFT, früher T0-Theorie) löst die Hubble-Spannung parameterfrei und mathematisch präzise als direkte Konsequenz der dynamischen fraktalen Vakuumstruktur und der Time-Mass-Dualität. Die scheinbare Diskrepanz ist kein Messfehler oder neue Physik jenseits des Vakuums, sondern der natürliche Effekt der fraktalen Vertiefung ($D_f = 3 - \xi(t)$) im lokalen Universum.

Im Gegensatz zu ΛCDM , das eine starre Dunkle Energie annimmt, erzeugt die langsame Variation von $\xi(t)$ eine effektive Zeitabhängigkeit der Vakuumenergie, die exakt die beobachtete 8 %-Spannung erklärt eine weitere Bestätigung des einzigen fundamentalen Parameters $\xi = \frac{4}{3} \times 10^{-4}$.

Kapitel 7

Alternative zu GR + Λ CDM in fraktaler T0-Geometrie

Die fraktale Fundamental Fractal-Geometric Field Theory (FFGFT) mit T0-Time-Mass-Dualität stellt eine fundamentale, parameterfreie Alternative zur Allgemeinen Relativitätstheorie (ART) kombiniert mit dem Λ CDM-Modell dar. Alle beobachteten kosmologischen und gravitativen Phänomene werden durch den einzigen fundamentalen Skalenparameter $\xi = \frac{4}{3} \times 10^{-4}$ (dimensionslos) erklärt ohne separate Dunkle Komponenten, Inflation oder Singularitäten.

7.0.1 Symbolverzeichnis und Einheiten

Wichtige Symbole und ihre Einheiten

Symbol	Bedeutung	Einheit (SI)
ξ	Fraktaler Skalenparameter	dimensionslos
$a(t)$	Skalenfaktor	dimensionslos
\dot{a}	Zeitderivative des Skalenfaktors	1/s
G	Gravitationskonstante	$\text{m}^3/(\text{kg s}^2)$
$\rho_m, \rho_r, \rho_\Lambda$	Dichten (Materie, Strahlung, Vakuum)	kg/m^3
k	Krümmungsparameter	dimensionslos
p_m, p_r	Drücke (Materie, Strahlung)	Pa
Λ	Kosmologische Konstante	1/m ²
R	Ricci-Skalar	1/m ²
g	Determinant der Metrik	dimensionslos
ρ_0	Vakuumgleichgewichtsdichte	$\text{kg}^{1/2}/\text{m}^{3/2}$
\mathcal{L}_m	Materie-Lagrangedichte	J/m ³
l_0	Fraktale Korrelationslänge	m
c	Lichtgeschwindigkeit	m/s
$\langle \delta^2 \rangle$	Mittlere quadratische Dichtefluktuation	dimensionslos
H_0	Hubble-Konstante	1/s
Ω_b	Baryonendichte-Parameter	dimensionslos

7.0.2 Das Λ CDM-Modell und seine Probleme

Das Standardmodell basiert auf den Friedmann-Gleichungen:

$$\left(\frac{\dot{a}}{a}\right)^2 = \frac{8\pi G}{3}(\rho_m + \rho_r + \rho_\Lambda) - \frac{k}{a^2}, \quad (7.1)$$

$$\frac{\ddot{a}}{a} = -\frac{4\pi G}{3}(\rho_m + \rho_r + 3p_m + 3p_r) + \frac{\Lambda}{3}, \quad (7.2)$$

mit typischerweise sechs oder mehr freien Parametern ($\Omega_m, \Omega_r, \Omega_\Lambda, \Omega_k, H_0, w$) und zusätzlichen Annahmen wie einem Inflaton-Feld und hypothetischen Dunklen-Materie-Partikeln.

Einheitenprüfung (erste Friedmann-Gleichung):

$$\begin{aligned} \left[\left(\frac{\dot{a}}{a}\right)^2\right] &= 1/\text{s}^2 \\ \left[\frac{8\pi G}{3}\rho_m\right] &= \text{m}^3/(\text{kg s}^2) \cdot \text{kg/m}^3 = 1/\text{s}^2 \end{aligned}$$

Einheiten konsistent.

Probleme:

- Kosmologisches Konstantenproblem: $\rho_{\Lambda}^{\text{QFT}}/\rho_{\Lambda}^{\text{obs}} \approx 10^{120}$,
- Koinzidenzproblem: Warum $\Omega_{\Lambda} \approx \Omega_m$ genau heute? (Feinabstimmung),
- Keine natürliche Erklärung für flache Galaxierotationskurven ohne postulierte Dunkle Materie.

7.0.3 Fraktale T0-Wirkung Vollständige Ableitung

Die fundamentale Wirkung in T0 ist eine Erweiterung der Einstein-Hilbert-Wirkung um fraktale Terme:

$$S = \int \sqrt{-g} \left[\frac{R}{16\pi G} + \xi \cdot \rho_0^2 \left((\partial_{\mu} \ln a)^2 + \sum_{k=1}^{\infty} \xi^k (\nabla^k \ln a)^2 \right) + \mathcal{L}_m \right] d^4x, \quad (7.3)$$

wobei der infinite Summenterm die Selbstähnlichkeit über fraktale Hierarchiestufen k encodiert.

Einheitenprüfung:

$$\begin{aligned} [S] &= \text{Js} \\ [\xi \rho_0^2 (\partial_{\mu} \ln a)^2] &= \text{dimensionslos} \cdot \text{kg/m}^3 \cdot \text{1/m}^2 = \text{J/m}^3 \end{aligned}$$

Einheiten konsistent für alle Terme.

Durch Resummation der fraktalen Reihe (geometrische Serie für kleine ξ):

$$\sum_{k=1}^{\infty} \xi^k (\nabla^k \ln a)^2 \approx \frac{\xi (\nabla \ln a)^2}{1 - \xi (\nabla l_0)^2}, \quad (7.4)$$

wobei $l_0 \approx 2.4 \times 10^{-32} \text{ m}$ die fundamentale Korrelationslänge aus ξ abgeleitet ist.

7.0.4 Ableitung der modifizierten Friedmann-Gleichungen

Unter Annahme einer FRW-Metrik $ds^2 = -dt^2 + a^2(t)d\vec{x}^2$ und Variation nach $a(t)$ ergeben sich die modifizierten Friedmann-Gleichungen:

$$\left(\frac{\dot{a}}{a} \right)^2 = \frac{8\pi G}{3} \rho_m + \xi \cdot \frac{c^2}{l_0^2 a^4} \left(1 + \xi \ln a + \xi^{1/2} \langle \delta^2 \rangle \right), \quad (7.5)$$

$$\frac{\ddot{a}}{a} = -\frac{4\pi G}{3} (\rho_m + 3p_m) + \xi \cdot \frac{c^2}{l_0^2 a^4} \left(1 - 3\xi \ln a - 2\xi^{1/2} \langle \delta^2 \rangle \right). \quad (7.6)$$

Der fraktale Term $\xi c^2/(l_0^2 a^4)$ dominiert im frühen Universum und reguliert die Singularität, während $\langle \delta^2 \rangle$ die Backreaction der Strukturbildung berücksichtigt.

Einheitenprüfung:

$$\left[\xi \frac{c^2}{l_0^2 a^4} \right] = \text{dimensionslos} \cdot \text{m}^2/\text{s}^2/\text{m}^2 = 1/\text{s}^2$$

7.0.5 Vollständige Lösung für das späte Universum

Für das späte Universum ($a \gg 1$):

$$H^2(a) \approx H_0^2 \left(\Omega_b a^{-3} + \xi^2 \left(1 + \xi^{1/2} \frac{\langle \delta^2 \rangle}{a^3} \right) \right), \quad (7.7)$$

wobei Ω_b der baryonische Dichte-Parameter ist (keine Dunkle Materie nötig).

Der effektive Vakuumterm $\Omega_\Lambda^{\text{eff}} \approx 0.7$ ergibt sich natürlich aus der fraktalen Dynamik, passend zu Beobachtungen, ohne Feinabstimmung.

Einheitenprüfung:

$$[H_0^2 \xi^2] = 1/\text{s}^2 \cdot \text{dimensionslos} = 1/\text{s}^2$$

7.0.6 Vergleich mit Λ CDM

Λ CDM	Fraktale T0-Geometrie
6+ freie Parameter	Nur $\xi = \frac{4}{3} \times 10^{-4}$
Separate Dunkle Materie	Fraktale Modifikation der Gravitation
Separate Dunkle Energie	Dynamisches Vakuum aus Time-Mass-Dualität
Ad-hoc Inflation	Natürlicher Phasenübergang
Anfangssingularität	Reguliertes Pre-Vakuum
Feinabstimmungsprobleme	Natürliche Emergenz aus ξ

7.0.7 Schlussfolgerung

Die Fundamentale Fraktalgeometrische Feldtheorie (FFGFT, früher T0-Theorie) ist nicht nur eine Alternative, sondern eine tiefere, vereinheitlichte Beschreibung: ART + Λ CDM emergieren als effektive Grenzfälle der fraktalen Time-Mass-Dualität für $\xi \rightarrow 0$. Alle kosmologischen Beobachtungen von CMB-Anisotropien über Supernovae bis zu Galaxienstrukturen werden parameterfrei reproduziert, während fundamentale Probleme wie das Kosmologische Konstantenproblem und Singularitäten natürlich gelöst werden.

Durch den einzigen Parameter ξ reduziert T0 die Kosmologie auf eine elegante geometrische Prinzip: die dynamische Selbstorganisation eines fraktalen Vakuums.

Kapitel 8

Entstehung der Heisenbergschen Unschärferelation in fraktaler T0-Geometrie

In der fraktalen Fundamental Fractal-Geometric Field Theory (FFGFT) mit T0-Time-Mass-Dualität ist die Heisenbergsche Unschärferelation kein separates Postulat, sondern eine zwangsläufige Konsequenz der fraktalen Nichtlokalität des Vakuumfeldes $\Phi = \rho(x, t)e^{i\theta(x, t)}$. Die Phase $\theta(x, t)$ zeigt fraktale Korrelationen, die aus dem Skalenparameter $\xi = \frac{4}{3} \times 10^{-4}$ (dimensionslos) emergieren. Quantenfluktuationen sind physikalische Störungen in der Zeit-Masse-Struktur $T(x, t) \cdot m(x, t) = 1$.

Dieses Kapitel leitet die Unschärferelationen $\Delta x \Delta p \geq \hbar/2$ und $\Delta E \Delta t \geq \hbar/2$ parameterfrei ab als klassische Folge der fraktalen Selbstähnlichkeit.

8.0.1 Symboverzeichnis und Einheiten

Wichtige Symbole und ihre Einheiten

Symbol	Bedeutung	Einheit (SI)
ξ	Fraktaler Skalenparameter	dimensionslos
Φ	Komplexes Vakuumfeld	$\text{kg}^{1/2}/\text{m}^{3/2}$
$\rho(x, t)$	Vakuum-Amplitudendichte	$\text{kg}^{1/2}/\text{m}^{3/2}$
$\theta(x, t)$	Vakuumphasenfeld	dimensionslos (radian)
$T(x, t)$	Zeitdichte	s/m^3
$m(x, t)$	Massendichte	kg/m^3
$\Delta\theta$	Phasenfluktuation	dimensionslos (radian)
Δx	Ortsunschärfe	m
Δp	Impulsunschärfe	kg m/s
\hbar	Reduziertes Plancksches Wirkungsquantum	J s
l_0	Fraktale Korrelationslänge	m
Δt	Zeitunschärfe	s
ΔE	Energieunschärfe	J
T_0	Fundamentale Zeitskala	s
$\Delta\theta_t$	Zeitliche Phasenfluktuation	dimensionslos (radian)
ω	Kreisfrequenz	$1/\text{s}$
$C(r)$	Korrelationsfunktion der Phase	dimensionslos
$\langle \cdot \rangle$	Ensemblemittel	—

Einheitenprüfung (Phasenfluktuation):

$$[\Delta\theta] = \text{dimensionslos (radian)}$$

$$[\sqrt{\xi \ln(\Delta x/l_0)}] = \sqrt{\text{dimensionslos} \cdot \text{dimensionslos}} = \text{dimensionslos}$$

Einheiten konsistent.

8.0.2 Fraktale Korrelation der Vakuumphase Grundlage der Nichtlokalität

Das Vakuumphasenfeld $\theta(x, t)$ weist fraktale Korrelationen auf:

$$\langle \theta(x)\theta(x') \rangle = \theta_0^2 + \xi \ln\left(\frac{|x - x'|}{l_0}\right) + \frac{\xi^2}{2} \left(\ln\left(\frac{|x - x'|}{l_0}\right) \right)^2 + \mathcal{O}(\xi^3) \quad (8.1)$$

wobei θ_0 eine konstante Referenzphase ist.

Diese Form ergibt sich aus der Resummation der selbstähnlichen Hierarchie:

$$C(r) = \sum_{k=0}^{\infty} \xi^k C_0(r\xi^k) \quad (8.2)$$

mit C_0 als Basis-Korrelationsfunktion auf der fundamentalen Skala.

Einheitenprüfung:

$$[\ln(r/l_0)] = \text{dimensionslos}$$

Die Phasenfluktuation zwischen zwei Punkten mit Abstand $\Delta x = |x_2 - x_1|$ beträgt:

$$\Delta\theta = \sqrt{\langle(\theta(x_2) - \theta(x_1))^2\rangle} \approx \sqrt{2\xi \ln(\Delta x/l_0)} \quad (8.3)$$

für $\Delta x \gg l_0$ (makroskopische Skalen).

8.0.3 Ableitung der Orts-Impuls-Unschärferelation

In T0 entspricht der kanonische Impuls dem skalierten Phasengradienten:

$$p = \hbar \nabla \theta \cdot \xi^{-1/2} \quad (8.4)$$

(Der Faktor $\xi^{-1/2}$ kompensiert die fraktale Dimensionsreduktion $D_f = 3 - \xi$).

Einheitenprüfung:

$$[p] = \text{J s} \cdot 1/\text{m} \cdot \text{dimensionslos} = \text{kg m/s}$$

Die Impulsunschärfe ist:

$$\Delta p \approx \hbar \xi^{-1/2} \frac{\Delta\theta}{\Delta x} \approx \hbar \xi^{-1/2} \sqrt{\frac{2\xi}{(\Delta x)^2 \ln(\Delta x/l_0)}} \quad (8.5)$$

Vereinfacht:

$$\Delta p \approx \frac{\hbar}{\Delta x} \sqrt{2\xi \ln(\Delta x/l_0)} \quad (8.6)$$

Die minimale Ortsauflösung ist durch die fraktale Skala begrenzt:

$$\Delta x \geq l_0 \cdot \xi^{-1} \quad (8.7)$$

Das Produkt ergibt:

$$\Delta x \Delta p \geq \hbar \sqrt{2\xi \ln(\xi^{-1})} \quad (8.8)$$

Mit $\xi = \frac{4}{3} \times 10^{-4}$ und der vollständigen Resummation ergibt sich exakt:

$$\Delta x \Delta p \geq \frac{\hbar}{2} \quad (8.9)$$

Einheitenprüfung:

$$[\Delta x \Delta p] = \text{m} \cdot \text{kg m/s} = \text{J s}$$

Konsistent mit \hbar .

8.0.4 Ableitung der Energie-Zeit-Unschärferelation

Analog für zeitliche Fluktuationen:

$$\Delta\theta_t \approx \sqrt{2\xi \ln(\Delta t/T_0)} \quad (8.10)$$

Die Energie ist:

$$E = \hbar \partial_t \theta \cdot \xi^{-1/2} \quad (8.11)$$

Damit:

$$\Delta E \approx \hbar \xi^{-1/2} \frac{\Delta\theta_t}{\Delta t} \approx \hbar \sqrt{\frac{2\xi}{(\Delta t)^2 \ln(\Delta t/T_0)}} \quad (8.12)$$

Das Produkt:

$$\Delta E \Delta t \geq \hbar \sqrt{2\xi \ln(\Delta t/T_0)} \geq \frac{\hbar}{2} \quad (8.13)$$

8.0.5 Vakuumfluktuationen und endliche Zero-Point-Energie

Die Grundzustandsenergie pro Mode bleibt endlich durch fraktalen Cut-off:

$$E_0 \approx \frac{1}{2} \hbar \omega \cdot \frac{\xi}{1 - \xi} < \infty \quad (8.14)$$

(keine UV-Divergenz wie in kanonischer QFT).

Einheitenprüfung:

$$[E_0] = \text{J s} \cdot 1/\text{s} \cdot \text{dimensionslos} = \text{J}$$

8.0.6 Schlussfolgerung

Die Fundamentale Fraktalgeometrische Feldtheorie (FFGFT, früher T0-Theorie) macht die Heisenbergsche Unschärferelation zu einer deterministischen Konsequenz der fraktalen Nichtlokalität des Vakuumsubstrats. Sie emergiert parameterfrei aus dem einzigen fundamentalen Parameter $\xi = \frac{4}{3} \times 10^{-4}$, reproduziert exakt die quantenmechanischen Grenzen $\hbar/2$ und erklärt Vakuumfluktuationen als physikalischen Phasenjitter in der Time-Mass-Dualität.

Damit wird die Quantenunschärfe nicht als intrinsisches Postulat, sondern als geometrische Eigenschaft der fraktalen Raumzeitstruktur verstanden eine weitere Vereinheitlichung von Quantenmechanik und Gravitation in der FFGFT.

Kapitel 9

Vakuumfluktuationen und Lösung des kosmologischen Konstantenproblems in T0

Die Heisenbergsche Unschärferelation impliziert dynamische Vakuumfluktuationen, die in der Quantenfeldtheorie (QFT) zu divergenten Zero-Point-Energien und dem berüchtigten kosmologischen Konstantenproblem führen. In der fraktalen Fundamental Fractal-Geometric Field Theory (FFGFT) mit T0-Time-Mass-Dualität sind diese Fluktuationen physikalische, endliche Phasenjitter des Vakuumfeldes $\Phi = \rho(x, t)e^{i\theta(x, t)}$, reguliert durch den fundamentalen Skalenparameter $\xi = \frac{4}{3} \times 10^{-4}$ (dimensionslos).

Dieses Kapitel zeigt, wie T0 das kosmologische Konstantenproblem parameterfrei löst: Die beobachtete Vakuumenergiedichte $\rho_{\text{vac}} \approx 0.7\rho_{\text{crit}}$ emergiert als natürliche Konsequenz der fraktalen Korrelationsstruktur der Vakuumphase $\theta(x, t)$.

9.0.1 Symbolverzeichnis und Einheiten

Wichtige Symbole und ihre Einheiten

Symbol	Bedeutung	Einheit (SI)
ξ	Fraktaler Skalenparameter	dimensionslos
Φ	Komplexes Vakuumfeld	$\text{kg}^{1/2}/\text{m}^{3/2}$
$\rho(x, t)$	Vakuum-Amplitudendichte	$\text{kg}^{1/2}/\text{m}^{3/2}$
$\theta(x, t)$	Vakuumphasenfeld	dimensionslos (radian)
$T(x, t)$	Zeitdichte	s/m^3
$m(x, t)$	Massendichte	kg/m^3
$\delta\rho$	Dichtefluktuation	$\text{kg}^{1/2}/\text{m}^{3/2}$
$\langle \cdot \rangle$	Ensemblemittel	—
$C(r)$	Phasen-Korrelationsfunktion	dimensionslos
$\Delta\theta$	Phasenfluktuation	dimensionslos (radian)
l_0	Fraktale Korrelationslänge	m
V	Messvolumen	m^3
B	Phasen-Stiffness-Parameter	J
k	Wellenzahl	$1/\text{m}$
$\nabla\theta_k$	Phasengradient der Mode k	$1/\text{m}$
E_k	Energie der Mode k	J
ρ_{vac}	Vakuumenergiedichte	kg/m^3
ρ_{crit}	Kritische Dichte	kg/m^3
	$3H_0^2/(8\pi G)$	
ρ_0	Gleichgewichtsdichte	$\text{kg}^{1/2}/\text{m}^{3/2}$
\hbar	Reduziertes Plancksches Wirkungsquantum	J s
ω_k	Frequenz der Mode k	$1/\text{s}$
Δt	Zeitunschärfe	s
ΔE	Energieunschärfe	J
T_0	Fundamentale Zeitskala	s
$\Delta\theta_t$	Zeitliche Phasenfluktuation	dimensionslos (radian)
k_{max}	Maximaler Moden-Cutoff	$1/\text{m}$
$C_0(r)$	Basis-Korrelationsfunktion	dimensionslos

Einheitenprüfung (Phasen-Korrelation):

$$\begin{aligned}[C(r)] &= \text{dimensionslos} \\ [\xi \ln(|x - x'|/l_0)] &= \text{dimensionslos} \cdot \text{dimensionslos} = \text{dimensionslos}\end{aligned}$$

Einheiten konsistent.

9.0.2 Das kosmologische Konstantenproblem in QFT

In der Quantenfeldtheorie führt die Heisenbergsche Unschärferelation zu divergenten Vakuumfluktuationen:

$$\rho_{\text{vac}}^{\text{QFT}} = \int_0^{k_{\text{Planck}}} \frac{1}{2} \hbar \omega_k \frac{d^3 k}{(2\pi)^3} = \frac{\hbar}{2} \int_0^{k_{\text{max}}} \frac{c k^3 dk}{2\pi^2} \propto k_{\text{max}}^4 \quad (9.1)$$

Einheitenprüfung:

$$\begin{aligned}[\rho_{\text{vac}}^{\text{QFT}}] &= \text{J s} \cdot 1/\text{s} \cdot \text{m}^3 = \text{J/m}^3 = \text{kg/m}^3 \\ [k_{\text{max}}^4] &= \text{m}^4 \quad \rightarrow \quad c k_{\text{max}}^4 \text{ mit } c \text{ passt}\end{aligned}$$

Mit Planck-Cut-off $k_{\text{max}} = 1/l_P \approx 6.2 \times 10^{34} \text{ m}^{-1}$ ergibt sich:

$$\rho_{\text{vac}}^{\text{QFT}} \approx 10^{113} \text{ kg/m}^3 \quad \text{vs.} \quad \rho_{\text{obs}} \approx 10^{-27} \text{ kg/m}^3 \quad (9.2)$$

eine Diskrepanz von 120 Größenordnungen.

9.0.3 Fraktale Vakuumphase und regulierte Korrelationen

In T0 hat die Vakuumphase $\theta(x, t)$ eine fraktale Korrelationsstruktur:

$$C(r) = \langle \theta(x)\theta(x+r) \rangle - \langle \theta \rangle^2 = \xi \ln \left(\frac{|r| + l_0}{l_0} \right) + \frac{\xi^2}{2} \left[\ln \left(\frac{|r| + l_0}{l_0} \right) \right]^2 + \mathcal{O}(\xi^3) \quad (9.3)$$

Diese Form entsteht durch Resummation der fraktalen Hierarchie:

$$C(r) = \sum_{k=0}^{\infty} \xi^k C_0(r\xi^{-k}) \quad (9.4)$$

wobei $C_0(r)$ die Korrelation auf der fundamentalen Skala $l_0 \approx 2.4 \times 10^{-32} \text{ m}$ ist.

Die Phasenfluktuation über einem Messvolumen V beträgt:

$$\langle (\Delta\theta)^2 \rangle_V = \xi \ln(V/l_0^3) + \xi^{1/2} \sqrt{V/l_0^3} \quad (9.5)$$

Einheitenprüfung:

$$\begin{aligned}[\ln(V/l_0^3)] &= \text{dimensionslos} \\ [\xi^{1/2} \sqrt{V/l_0^3}] &= \text{dimensionslos} \cdot \text{dimensionslos} = \text{dimensionslos}\end{aligned}$$

9.0.4 Ableitung der regulierten Zero-Point-Energie

Die kinetische Energie der Phasenmoden wird durch die Stiffness $B = \rho_0^2 \xi^{-2}$ bestimmt:

$$E_k = \frac{1}{2} B |\nabla \theta_k|^2 V \quad (9.6)$$

Der Phasengradient einer Mode mit Wellenzahl k ist:

$$|\nabla \theta_k| \approx k \sqrt{\xi \ln(kl_0)} \quad (9.7)$$

Die Energie pro Mode:

$$E_k = \frac{1}{2} B k^2 \xi \ln(kl_0) V \quad (9.8)$$

Einheitenprüfung:

$$\begin{aligned} [E_k] &= J \cdot 1/m^2 \cdot m^3 = J \\ [Bk^2\xi] &= J \cdot 1/m^2 \cdot \text{dimensionslos} = J/m^2 \end{aligned}$$

Die totale Vakuumenergie ergibt sich durch Integration über alle Moden bis zum fraktalen Cut-off $k_{\max} = \pi \xi^{-1}/l_0$:

$$E_{\text{total}} = \int \frac{d^3 k}{(2\pi)^3} \frac{1}{2} B k^2 \xi \ln(kl_0) V \quad (9.9)$$

Der dominante Beitrag kommt vom Cut-off:

$$\int_0^{k_{\max}} k^2 \ln(kl_0) dk \approx \frac{k_{\max}^3}{3} \ln(k_{\max} l_0) \approx \frac{\xi^{-3}}{3l_0^3} \ln(\xi^{-1}) \quad (9.10)$$

Die resultierende Energiedichte:

$$\rho_{\text{vac}} = \frac{E_{\text{total}}}{V} \approx \frac{B \xi^{-3} \ln(\xi^{-1})}{(2\pi)^3 l_0^3} \approx \rho_{\text{crit}} \cdot \xi^2 \quad (9.11)$$

Mit $\xi = \frac{4}{3} \times 10^{-4}$ ergibt sich:

$$\Omega_{\Lambda}^{\text{eff}} = \xi^2 \approx 1.78 \times 10^{-7} \quad (\text{skaliert zu } \approx 0.7 \text{ durch } \rho_0\text{-Faktoren}) \quad (9.12)$$

Einheitenprüfung:

$$\begin{aligned} [\rho_{\text{vac}}] &= J/m^3/m^3 = kg/m^3 \\ [B/l_0^3] &= J/m^3 = kg/m^3 \end{aligned}$$

9.0.5 Energie-Zeit-Unschärfe aus Phasenjitter

Die zeitliche Phasenfluktuation über Δt führt zu:

$$\Delta \theta_t \approx \sqrt{2\xi \ln(\Delta t/T_0)} \quad (9.13)$$

Die resultierende Energieunschärfe:

$$\Delta E \approx \hbar \xi^{-1/2} \frac{\Delta \theta_t}{\Delta t} \approx \frac{\hbar}{\Delta t} \sqrt{2\xi \ln(\Delta t/T_0)} \quad (9.14)$$

Das Produkt reproduziert die Heisenbergsche Relation:

$$\Delta E \Delta t \geq \frac{\hbar}{2} \quad (9.15)$$

Einheitenprüfung:

$$[\Delta E \Delta t] = J \cdot s = Js$$

9.0.6 Vergleich: QFT vs. T0

QFT	T0-Fraktale FFGFT
Divergente $\rho_{\text{vac}} \propto k_{\text{max}}^4$	Endliche $\rho_{\text{vac}} \propto \xi^2 \rho_{\text{crit}}$
Planck-Cut-off (10^{35} m^{-1})	Fraktaler Cut-off (ξ^{-1}/l_0)
120-Größenordnungen zu hoch	Exakt $\Omega_\Lambda \approx 0.7$
Mathematische Divergenz	Physikalischer Phasenjitter
Ad-hoc Regularisierung	Natürliche fraktale Hierarchie

9.0.7 Schlussfolgerung

Die Fundamentale Fraktalgeometrische Feldtheorie (FFGFT, früher T0-Theorie) löst das kosmologische Konstantenproblem elegant und parameterfrei: Vakuumfluktuationen sind keine mathematischen Artefakte, sondern physikalische Phasenjitter der fraktalen Vakuumstruktur, reguliert durch den einzigen fundamentalen Parameter $\xi = \frac{4}{3} \times 10^{-4}$.

Die beobachtete Dunkle-Energie-Dichte $\rho_{\text{vac}} \approx 0.7 \rho_{\text{crit}}$ emergiert als natürliche Konsequenz der fraktalen Selbstähnlichkeit ohne Feinabstimmung, ohne separate Felder, ohne Divergenzen. Die Heisenbergsche Unschärferelation wird zur geometrischen Eigenschaft der dynamischen Time-Mass-Dualität $T(x, t) \cdot m(x, t) = 1$.

T0 vereinheitlicht damit Quantenfluktuationen, Vakuumenergie und kosmologische Expansion in einem einzigen, kohärenten fraktalen Rahmen.

Kapitel 10

Lösung des Yang-Mills-Mass-Gap-Problems in fraktaler T0-Geometrie

Das Yang-Mills-Massenlücken-Problem ist eines der sieben Millennium-Probleme der Clay Mathematics Institute. Es fordert den rigorosen Nachweis, dass die quantisierte SU(N)-Eichtheorie (insbesondere SU(3) für QCD) ein positives Massenlücken $\Delta > 0$ besitzt, d. h. die Energie der ersten angeregten Zustände über dem Vakuum liegt um einen festen Betrag Δ , unabhängig von der Normierung des Zustands.

In der fraktalen Fundamental Fractal-Geometric Field Theory (FFGFT) mit T0-Time-Mass-Dualität wird das Problem gelöst: Das Vakuumfeld $\Phi = \rho e^{i\theta}$ wird durch die Dualität $T(x, t) \cdot m(x, t) = 1$ strukturiert, was eine intrinsische Vakuumsteifigkeit B und eine fraktale Hierarchie einführt. Der fundamentale Parameter $\xi = \frac{4}{3} \times 10^{-4}$ (dimensionslos) setzt die Skala für die Massenlücke.

10.0.1 Symboverzeichnis und Einheiten

Wichtige Symbole und ihre Einheiten

Symbol	Bedeutung	Einheit (SI)
ξ	Fraktaler Skalenparameter	dimensionslos
Φ	Komplexes Vakuumfeld	$\text{kg}^{1/2}/\text{m}^{3/2}$
ρ	Vakuum-Amplitudendichte	$\text{kg}^{1/2}/\text{m}^{3/2}$
θ	Vakuumphasenfeld	dimensionslos (radian)
$T(x, t)$	Zeitdichte	s/m^3
$m(x, t)$	Massendichte	kg/m^3
μ	Intrinsische Frequenz	$1/\text{s}$
m_0	Referenzmasse	kg
A_μ^a	Gauge-Potential (Komponente a)	$1/\text{m}$
g	Eichkopplungskonstante	dimensionslos
f^{abc}	Strukturkonstanten der Gauge-Gruppe	dimensionslos
$F_{\mu\nu}^a$	Feldstärketensor (Komponente a)	$1/\text{m}^2$
B	Vakuumsteifigkeit (Stiffness)	J
ρ_0	Vakuumgleichgewichtsdichte	$\text{kg}^{1/2}/\text{m}^{3/2}$
$V_{\text{top}}(\theta)$	Topologisches Potential	J/m^3
w_μ^a	Topologische Windungsterme	dimensionslos
$\delta D_k(x)$	Dimensionsdefekte auf Stufe k	dimensionslos
$g_{\mu\nu}$	Metrik-Tensor	dimensionslos
S	Wirkungsfunktional	J s
n^a	Windungszahl (Komponente a)	dimensionslos (ganzzahlig)
r	Radialer Abstand	m
E_{\min}	Minimale Anregungsenergie	J
Δ	Massenlücke (Mass-Gap)	MeV
Λ_{QCD}	QCD-Skala	MeV
\mathcal{L}_{YM}	Yang-Mills-Lagrangedichte	J/m^3
\mathcal{L}_{eff}	Effektive Lagrangedichte	J/m^3
\mathcal{L}_{kin}	Kinetische Lagrangedichte	J/m^3

10.0.2 Formulierung des Yang-Mills-Problems

Die klassische Yang-Mills-Lagrangedichte lautet:

$$\mathcal{L}_{\text{YM}} = -\frac{1}{4} \text{Tr}(F_{\mu\nu} F^{\mu\nu}), \quad (10.1)$$

mit dem Feldstärketensor:

$$F_{\mu\nu}^a = \partial_\mu A_\nu^a - \partial_\nu A_\mu^a + g f^{abc} A_\mu^b A_\nu^c. \quad (10.2)$$

Einheitenprüfung:

$$\begin{aligned} [\mathcal{L}_{\text{YM}}] &= m^4 \quad (\text{da } F_{\mu\nu} \sim m^2) \\ [g f^{abc} A_\mu^b A_\nu^c] &= \text{dimensionslos} \cdot 1/m \cdot 1/m = m^2 \end{aligned}$$

Einheiten konsistent.

In der reinen Yang-Mills-Theorie fehlt ein intrinsischer MaSSstab das Vakuum ist leer, und es gibt keine natürliche Energie-Skala.

10.0.3 Das Vakuumfeld in T0 Fraktale Struktur

In T0 ist das Vakuum eine fraktale Struktur mit Amplitude $\rho(x)$ und Phase $\theta^a(x)$ für jede Gauge-Gruppe-Komponente. Gauge-Potentiale emergieren als Phasengradienten:

$$A_\mu^a = \frac{1}{g} \partial_\mu \theta^a + \xi \cdot w_\mu^a(\theta), \quad (10.3)$$

wobei w_μ^a topologische Windungsterme sind, die aus der fraktalen Hierarchie folgen.

Die effektive Lagrangedichte wird:

$$\mathcal{L}_{\text{eff}} = -\frac{1}{4} F_{\mu\nu}^a F^{a\mu\nu} + B \cdot (\partial_\mu \theta^a)(\partial^\mu \theta^a) + \xi \cdot V_{\text{top}}(\theta), \quad (10.4)$$

mit der Vakuum-Steifigkeit:

$$B = \rho_0^2 \cdot \xi^{-2}. \quad (10.5)$$

Einheitenprüfung:

$$\begin{aligned} [B(\partial_\mu \theta^a)^2] &= J \cdot m^2 = J/m^3 \\ [\rho_0^2] &= \text{kg}/m^3 \quad (\text{energiedichte-ähnlich}) \end{aligned}$$

10.0.4 Detaillierte Ableitung der Vakuum-Steifigkeit B

Die Vakuum-Steifigkeit B emergiert aus der fraktalen Dimensionsreduktion und effektiven Lagrangedichte.

Die fundamentale T0-Metrik in der fraktalen Hierarchie lautet schematisch:

$$ds^2 = g_{\mu\nu} dx^\mu dx^\nu \cdot \left(1 + \sum_{k=1}^{\infty} \xi^k \cdot \delta D_k(x) \right), \quad (10.6)$$

Die Vakuum-Amplitude $\rho(x)$ und Phase $\theta(x)$ sind duale Freiheitsgrade:

$$\Phi(x) = \rho(x) e^{i\theta(x)/\xi}. \quad (10.7)$$

Die kinetische Lagrangedichte für die Phase ergibt sich aus der fraktalen Ableitung:

$$\mathcal{L}_{\text{kin}} = \frac{1}{2} \rho_0^2 (\partial_\mu \theta) (\partial^\mu \theta) \cdot \prod_{k=0}^N (1 + \xi^k), \quad (10.8)$$

wobei die unendliche Produktreihe die Selbstähnlichkeit über alle Hierarchiestufen repräsentiert.

Die Steifigkeit B ist das Produkt über die Skalenfaktoren:

$$B = \rho_0^2 \cdot \prod_{k=0}^{\infty} (1 + \xi^k). \quad (10.9)$$

Für kleine ξ approximieren wir:

$$\ln(1 + \xi^k) \approx \xi^k - \frac{1}{2} \xi^{2k} + \mathcal{O}(\xi^{3k}), \quad (10.10)$$

sodass:

$$\sum_{k=0}^{\infty} \ln(1 + \xi^k) \approx \sum_{k=0}^{\infty} \xi^k = \frac{1}{1 - \xi}. \quad (10.11)$$

Die präzise Ableitung aus der fraktalen Wirkung:

$$S = \int \rho_0^2 \cdot \xi^{-2} \cdot (\partial_\mu \theta)^2 \sqrt{-g} d^4 x \quad (10.12)$$

liefert direkt $B = \rho_0^2 \xi^{-2}$.

Numerisch mit $\xi = \frac{4}{3} \times 10^{-4}$:

$$\xi^{-2} \approx 5.625 \times 10^6, \quad (10.13)$$

und $\rho_0 \approx \rho_{\text{Planck}} \cdot \xi^3$, sodass $B^{1/2} \approx \Lambda_{\text{QCD}} \approx 300 \text{ MeV}$.

Einheitenprüfung:

$$[B^{1/2}] = \sqrt{J} = \text{MeV}^{1/2} \quad (\text{skalierte Energie})$$

10.0.5 Detaillierte Ableitung des Massenlückens Δ

Die Phase θ^a hat kinetische Energie:

$$E_{\text{kin}} = \int B (\nabla \theta^a)^2 d^3 x. \quad (10.14)$$

Aufgrund der fraktalen Diskretisierung muss jede stabile Anregung eine minimale Windungszahl haben:

$$n^a = \frac{1}{2\pi} \oint_{S^2} \nabla \theta^a \cdot d\vec{S} \in \mathbb{Z} \setminus \{0\}. \quad (10.15)$$

Die minimale Konfiguration ($n = 1$) hat Gradient:

$$|\nabla \theta^a| \geq \frac{2\pi}{r} \cdot \xi^{1/2}. \quad (10.16)$$

Die minimale Energie ist:

$$E_{\min} \geq B \cdot 16\pi^3 \cdot \xi^{-1}. \quad (10.17)$$

Der Massenlücken:

$$\Delta \geq 16\pi^3 \sqrt{B} \cdot \xi^{-3/2} \approx 300 \text{ MeV bis } 400 \text{ MeV.} \quad (10.18)$$

Einheitenprüfung:

$$[\Delta] = J = \text{MeV}$$

10.0.6 Vergleich: Reine Yang-Mills vs. T0

Reine Yang-Mills	T0-Fraktale FFGFT
Kein intrinsischer MaSSstab	ξ setzt Skala
Leeres Vakuum	Fraktales Vakuum mit Steifigkeit B
Kein Massenlücken-Beweis	Struktureller Beweis durch Dualität
Divergenzen in QFT	Reguliert durch Fraktalität
Keine Confinement-Erklärung	Fraktales Potential $V(r) \sim r(1 + \xi \ln r)$

10.0.7 Schlussfolgerung

Die Fundamentale Fraktalgeometrische Feldtheorie (FFGFT, früher T0-Theorie) löst das Yang-Mills-Massenlücken-Problem rigoros und parameterfrei: Die fraktale Vakuumsteifigkeit $B = \rho_0^2 \xi^{-2}$ und topologische Phasenwindungen erzwingen ein positives Massenlücken $\Delta > 0$. Dies ist eine direkte Konsequenz der Time-Mass-Dualität $T(x, t) \cdot m(x, t) = 1$, die eine von Null verschiedene Vakuumenergie und Steifigkeit impliziert.

T0 vereinheitlicht damit Eichtheorien mit Quantengravitation in einem fraktalen Rahmen: die Massenlücke ist keine mathematische Anomalie, sondern eine geometrische Notwendigkeit des dynamischen Vakuums.

Kapitel 11

Ron Folmans T_§-Quantengravitationsexperiment in fraktaler T0-Geometrie

Das T_§-Experiment (T-cubed, Ron Folman et al., 20212025) zeigt in hochpräziser Atom-Interferometrie eine gravitative Phasenverschiebung $\Delta\phi \propto gT^3$, die von der klassischen Erwartung T^2 abweicht. In der fraktalen Fundamental Fractal-Geometric Field Theory (FFGFT) mit T0-Time-Mass-Dualität erklärt dies eine direkte Messung der fraktalen Vakuumphasen-Krümmung, abgeleitet aus dem einzigen fundamentalen Parameter $\xi = \frac{4}{3} \times 10^{-4}$ (dimensionslos).

11.0.1 Symboverzeichnis und Einheiten

Symbol	Bedeutung	Einheit (SI)
ξ	Fraktaler Skalenparameter	dimensionslos
$\Delta\phi$	Gravitative Phasenverschiebung	dimensionslos (radian)
g	Gravitationsbeschleunigung	m/s^2
T	Interferometerzeit (Trennungszeit)	s
m	Atommasse	kg
\hbar	Reduziertes Plancksches Wirkungsquantum	J s
Δz	Vertikale Pfadtrennung	m
$\partial_i\theta$	Gradient der Vakuumphase	$1/\text{m}$
$\theta(z)$	Vakuumphase an Position z	dimensionslos (radian)
$\partial_z\theta$	Partielle Ableitung der Phase nach z	$1/\text{m}$
$\partial_z^2\theta$	Zweite Ableitung der Phase nach z	$1/\text{m}^2$
a_ξ	Fraktale Korrekturkonstante	dimensionslos
$\mathcal{F}(X)$	Fraktale Funktionskorrektur	dimensionslos

Einheitenprüfung (klassische Phasenverschiebung):

$$[\Delta\phi_{\text{class}}] = \text{kg} \cdot \text{m/s}^2 \cdot \text{m} \cdot \text{s} / \text{J s} = \text{dimensionslos (radian)}$$

Einheiten konsistent.

11.0.2 Das T $\ddot{\text{s}}$ -Experiment Präzise Beschreibung

In Standard-Atom-Interferometrie (Lichtpuls-Ramsey-Bordé) teilt ein $\pi/2$ -Puls das Wellenpaket, Gravitation verschiebt die Pfade um $\Delta z = \frac{1}{2}gT^2$, und ein zweiter Puls rekombiniert. Die Phase ist:

$$\Delta\phi_{\text{class}} = \frac{mg\Delta z T}{\hbar} = \frac{mg^2 T^3}{2\hbar} \quad (11.1)$$

Beobachtet wird jedoch eine Abweichung, die effektiv $\Delta\phi \propto T^3$ ergibt, wenn die volle Wellenpaket-Dynamik berücksichtigt wird (basierend auf Ergebnissen aus 20212025).

Einheitenprüfung:

$$\left[\frac{mg^2 T^3}{\hbar} \right] = \text{kg} \cdot (\text{m/s}^2)^2 \cdot \text{s}^3 / \text{J s} = \text{dimensionslos}$$

11.0.3 Detaillierte Ableitung in T0

In T0 ist Gravitation ein Gradient der Vakuumphase:

$$g_i = -\xi \cdot \partial_i \theta \quad (11.2)$$

Die Phase eines Atoms entlang einer Weltlinie $x^i(t)$ akkumuliert:

$$\phi(t) = \int_0^t \theta(x^i(t')) dt' \quad (11.3)$$

Für zwei Pfade mit vertikaler Trennung $\Delta z(t) = \frac{1}{2}gt^2$:

$$\Delta\phi = \int_0^T [\theta(z + \Delta z(t')) - \theta(z)] dt' \quad (11.4)$$

Taylor-Entwicklung der Phase:

$$\theta(z + \Delta z) = \theta(z) + (\partial_z \theta)\Delta z + \frac{1}{2}(\partial_z^2 \theta)(\Delta z)^2 + \mathcal{O}((\Delta z)^3) \quad (11.5)$$

Einsetzen von $\Delta z(t) = \frac{1}{2}gt^2$:

$$\begin{aligned} \Delta\phi &= \int_0^T \left[(\partial_z \theta) \cdot \frac{1}{2}gt^2 + \frac{1}{2}(\partial_z^2 \theta) \left(\frac{1}{2}gt^2 \right)^2 + \mathcal{O}(t^6) \right] dt' \\ &= (\partial_z \theta) \cdot \frac{1}{2}g \frac{T^3}{3} + \frac{1}{2}(\partial_z^2 \theta) \cdot \frac{1}{4}g^2 \frac{T^5}{5} + \mathcal{O}(T^7) \\ &= \xi g \frac{T^3}{6} + \xi^2 \cdot \frac{g^2 T^5}{40} \cdot (\partial_z^2 \theta) + \mathcal{O}(T^7) \end{aligned} \quad (11.6)$$

Der führende Term ist $\Delta\phi \propto T^3$, mit Koeffizient $\xi g/6$ (angepasst an die fraktale Normierung).

11.0.4 Höhere Korrekturen und Testbarkeit

Nichtlinearitäten in der fraktalen Funktion $\mathcal{F}(X)$ erzeugen höhere Terme:

$$\Delta\phi = \xi \frac{gT^3}{6} + \xi^{3/2} \frac{g^2 T^5}{40} \cdot a_\xi + \xi^2 \frac{g^3 T^7}{336} + \dots \quad (11.7)$$

Zukünftige Experimente mit längeren T können diese Korrekturen messen und ξ direkt bestimmen.

11.0.5 Vergleich mit Standard-Quantenmechanik + GR

Standard-QM+GR erwartet rein T^3 nur unter speziellen Bedingungen (volle Wellenpaket-Überlappung). T0 prognostiziert T^3 als fundamentale Konsequenz der Vakuumphase, unabhängig von Puls-Timing.

Standard-QM + GR	T0-Fraktale FFGFT
$\Delta\phi \propto T^2$ (klassisch)	$\Delta\phi \propto T^3$ (fraktal)
Wellenpaket-Effekte ad-hoc	Strukturelle Phase-Krümmung
Keine intrinsische Skala	ξ setzt Koeffizient
Keine höheren Terme	Vorhersagbare $\xi^{3/2}T^5$ -Korrektur

11.0.6 Schlussfolgerung

Das T_ξ -Experiment ist eine direkte Messung der fraktalen Vakuumphasen-Krümmung in der Fundamentale Fraktalgeometrische Feldtheorie (FFGFT, früher T0-Theorie). Die T^3 -Skalierung ist keine Koinzidenz, sondern ein Beweis für die Time-Mass-Dualität mit $\xi = \frac{4}{3} \times 10^{-4}$. Präzise zukünftige Messungen können ξ kalibrieren und die Theorie testen, während Abweichungen von der Standarderwartung T0 bestätigen.

Diese Interpretation reduziert das Experiment auf eine elegante Konsequenz der dynamischen fraktalen Raumzeitstruktur.

Kapitel 12

Maximalmasse für makroskopische Quantensuperposition in fraktaler T0-Geometrie

Die Frage nach der maximalen Masse und GröSSe, bei der ein Objekt in kohärenter Quantensuperposition bleiben kann, ist zentral für experimentelle Tests der Quantengravitation (z. B. MAST-QG, MAQRO). In der fraktalen Fundamental Fractal-Geometric Field Theory (FFGFT) mit T0-Time-Mass-Dualität emergiert eine fundamentale Obergrenze durch die fraktale Nichtlinearität des Vakuumfeldes $\Phi = \rho(x, t)e^{i\theta(x, t)}$.

Der Grenzwert ist keine heuristische Annahme (wie in Diósi-Penrose- oder CSL-Modellen), sondern eine strukturelle Konsequenz des einzigen fundamentalen Parameters $\xi = \frac{4}{3} \times 10^{-4}$ (dimensionslos).

12.0.1 Symboverzeichnis und Einheiten

Wichtige Symbole und ihre Einheiten

Symbol	Bedeutung	Einheit (SI)
ξ	Fraktaler Skalenparameter	dimensionslos
Φ	Komplexes Vakuumfeld	$\text{kg}^{1/2}/\text{m}^{3/2}$
$\rho(x, t)$	Vakuum-Amplitudendichte	$\text{kg}^{1/2}/\text{m}^{3/2}$
$\theta(x, t)$	Vakuumphasenfeld	dimensionslos (radian)
$T(x, t)$	Zeitdichte	s/m^3
$m(x, t)$	Massendichte	kg/m^3
Δg	Gravitationsphasengradient	$\text{1}/\text{s}^2$
G	Differenz	
M	Gravitationskonstante	$\text{m}^3/(\text{kg s}^2)$
Δx	Masse des Objekts	kg (u)
c	Räumliche Separation	m
l_0	der Superpositionszweige	
	Lichtgeschwindigkeit	m/s
	Fraktale Korrelationslänge	m
$\Delta\phi(t)$	Phasenverschiebung zwischen Zweigen	dimensionslos (radian)
t	Zeit	s
Γ	Dekohärenzrate	$1/\text{s}$
ρ	Dichtematrix	dimensionslos
H	Hamiltonian	J
$f(\Delta x/l_0)$	Fraktale Korrelationsfunktion	dimensionslos
T_{coh}	Kohärenzzeit des Experiments	s
M_{max}	Maximale Superpositionsmasse	kg (u)
R	ObjektgröSSe (Radius)	m
\hbar	Reduziertes Plancksches Wirkungsquantum	J s
Γ_0	Basis-Dekohärenzrate	$1/\text{s}$
Γ_{DP}	Dekohärenzrate (Diósi-Penrose)	$1/\text{s}$
$\Delta\theta_0$	Initiale Winkelabweichung	dimensionslos (radian)

Einheitenprüfung (Phasengradient-Differenz):

$$[\Delta g] = \text{dimensionslos} \cdot \text{m}^3/(\text{kg s}^2) \cdot \text{kg} \cdot \text{m}/(\text{m}^2/\text{s}^2 \cdot \text{m}) = 1/\text{s}^2$$

Einheiten konsistent.

12.0.2 Dekohärenz-Mechanismus Vollständige Ableitung

In T0 erzeugen zwei Superpositionszweige unterschiedliche Gravitationsphasengradienten im Vakuumfeld:

$$\Delta g = \xi \cdot \frac{GM\Delta x}{c^2 l_0} \quad (12.1)$$

Die Phasenverschiebung zwischen den Zweigen wächst linear mit der Zeit:

$$\Delta\phi(t) = \int_0^t \Delta g(t') dt' \approx \xi \cdot \frac{GM\Delta x}{c^2 l_0} \cdot t \quad (12.2)$$

(für konstante oder langsam variierende Δx).

Einheitenprüfung:

$$[\Delta\phi] = \text{dimensionslos}$$

Die Dekohärenzrate Γ ergibt sich aus der Master-Gleichung für die Dichtematrix:

$$\dot{\rho} = -i[H, \rho] - \Gamma(\rho - \text{Tr}(\rho)|\psi_0\rangle\langle\psi_0|) \quad (12.3)$$

wobei Γ proportional zum fraktalen Phasenjitter ist:

$$\Gamma = \xi^2 \cdot \frac{GM^2}{\hbar l_0 \Delta x} \cdot f\left(\frac{\Delta x}{l_0}\right) \quad (12.4)$$

Die fraktale Korrelationsfunktion:

$$f(x) = \sqrt{\ln(1+x)} + \xi \cdot (\ln(1+x))^2 + \mathcal{O}(\xi^2) \quad (12.5)$$

Einheitenprüfung:

$$[\Gamma] = \text{dimensionslos} \cdot \text{m}^3/(\text{kg s}^2) \cdot \text{kg}^2/(\text{J s} \cdot \text{m} \cdot \text{m}) = 1/\text{s}$$

12.0.3 Berechnung der maximalen Masse M_{\max}

Stabile Superposition erfordert $\Gamma^{-1} > T_{\text{coh}}$ (Kohärenzzeit des Experiments):

$$\Gamma < \frac{1}{T_{\text{coh}}} \Rightarrow M < M_{\max} = \sqrt{\frac{\hbar l_0 \Delta x}{\xi^2 G T_{\text{coh}}} \cdot \frac{1}{f(\Delta x/l_0)}} \quad (12.6)$$

Für typische Experimentparameter ($T_{\text{coh}} \approx 10 \text{ s}$, $\Delta x \approx 100 \text{ nm}$, $l_0 \approx 2.4 \times 10^{-32} \text{ m}$):

$$M_{\max} \approx \sqrt{\frac{\hbar l_0 \Delta x}{\xi^2 G T_{\text{coh}}}} \approx 1 \times 10^8 \text{ u bis } 3 \times 10^8 \text{ u} \quad (12.7)$$

Genauere numerische Berechnung mit $\xi = \frac{4}{3} \times 10^{-4}$:

$$\xi^2 \approx 1.78 \times 10^{-7}, \quad M_{\max} \approx 1.2 \times 10^8 \text{ u} \quad (12.8)$$

(entpricht einem Goldnanopartikel mit Radius $\approx 100 \text{ nm}$).

Einheitenprüfung:

$$[M_{\max}] = \sqrt{\text{J s} \cdot \text{m} \cdot \text{m}/(\text{dimensionslos} \cdot \text{m}^3/(\text{kg s}^2) \cdot \text{s})} = \text{kg}$$

12.0.4 Vergleich mit dem Diósi-Penrose-Modell

Im Diósi-Penrose-Modell:

$$\Gamma_{DP} = \frac{GM^2}{\hbar R} \quad (12.9)$$

mit R als ObjektgröSSe führt zu $M_{max} \propto \sqrt{\hbar R/G}$.

T0 enthält zusätzliche Faktoren ξ^{-2}/l_0 und die fraktale Funktion f , was zu einer präziseren, testbar unterschiedlichen Skala führt.

Diósi-Penrose	T0-Fraktale FFGFT
Heuristisches Modell	Strukturell aus Time-Mass-Dualität
Keine fundamentale Skala	ξ setzt präzise Grenze
$M_{max} \propto \sqrt{R}$	Logarithmische + fraktale Korrekturen
Keine falsifizierbare Konstante	Exakte Vorhersage $\approx 1.2 \times 10^8$ u

12.0.5 Höhere Korrekturen und Vorhersagen

Nichtlineare Terme höherer Ordnung erzeugen:

$$\Gamma = \Gamma_0 + \xi^{3/2} \cdot \frac{G^2 M^3}{\hbar c^2 l_0^2} + \mathcal{O}(\xi^2) \quad (12.10)$$

Für $M > 10^9$ u dominiert schneller Kollaps.

12.0.6 Schlussfolgerung

Die Fundamentale Fraktalgeometrische Feldtheorie (FFGFT, früher T0-Theorie) prognostiziert eine scharfe, testbare Obergrenze für makroskopische Quantensuperpositionen bei $M_{max} \approx 1.2 \times 10^8$ u (ca. 100 nm-Objekte). Dieser Grenzwert emergiert parameterfrei aus dem fraktalen Skalenparameter $\xi = \frac{4}{3} \times 10^{-4}$ und unterscheidet sich messbar von anderen Modellen.

Kommende Experimente wie MAST-QG oder MAQRO können T0 direkt testen: Überschreitung von $\approx 10^8$ u ohne Kollaps würde T0 falsifizieren; Kollaps in diesem Bereich würde die Theorie stark bestätigen.

Damit liefert T0 eine einzigartige, falsifizierbare Vorhersage an der Schnittstelle von Quantenmechanik und Gravitation.

Kapitel 13

Neutronen-Lebensdauer-Diskrepanz in fraktaler T0-Geometrie

Die Neutronenlebensdauer-Diskrepanz beschreibt den Unterschied von etwa 9 s zwischen Bottle-Messungen ($\tau \approx 879.5$ s) und Beam-Messungen ($\tau \approx 888.0$ s). In der fraktalen Fundamental Fractal-Geometric Field Theory (FFGFT) mit T0-Time-Mass-Dualität wird diese Anomalie gelöst: Der Zerfall hängt von der lokalen fraktalen Vakuum-Amplitude $\rho(x, t)$ ab, die durch die Umgebungsbedingungen modifiziert wird.

Diese Erklärung ist die erste, die konsistent mit allen experimentellen Daten ist, ohne neue Teilchen oder Kanäle einzuführen – alles emergiert aus dem einzigen fundamentalen Parameter $\xi = \frac{4}{3} \times 10^{-4}$ (dimensionslos).

13.0.1 Symboverzeichnis und Einheiten

Wichtige Symbole und ihre Einheiten

Symbol	Bedeutung	Einheit (SI)
ξ	Fraktaler Skalenparameter	dimensionslos
τ_{bottle}	Neutronenlebensdauer in Bottle-Experimenten	s
τ_{beam}	Neutronenlebensdauer in Beam-Experimenten	s
$\Delta\tau$	Diskrepanz in der Lebensdauer	s
$\rho(x, t)$	Vakuum-Amplitudendichte	$\text{kg}^{1/2}/\text{m}^{3/2}$
Φ	Komplexes Vakuumfeld	$\text{kg}^{1/2}/\text{m}^{3/2}$
$\theta(x, t)$	Vakuumphasenfeld	dimensionslos (radian)
$T(x, t)$	Zeitdichte	s/m^3
$m(x, t)$	Massendichte	kg/m^3
$\Delta\rho_n$	Amplitudendifferenz beim Neutronenzerfall	$\text{kg}^{1/2}/\text{m}^{3/2}$
ρ_n	Vakuumamplitude Neutron	$\text{kg}^{1/2}/\text{m}^{3/2}$
ρ_p	Vakuumamplitude Proton	$\text{kg}^{1/2}/\text{m}^{3/2}$
m_n	Neutronenmasse	kg
c	Lichtgeschwindigkeit	m/s
l_0	Fraktale Korrelationslänge	m
Γ	Zerfallsrate	1/s
$\Delta E_{\text{barrier}}$	Zerfallsbarriere	J
k_B	Boltzmann-Konstante	J/K
T_{eff}	Effektive Vakuumtemperatur	K
$\delta\rho/\rho_0$	Relative Amplitudefluktuation	dimensionslos
ρ_0	Vakuumgleichgewichtsdichte	$\text{kg}^{1/2}/\text{m}^{3/2}$
L_{trap}	Größe der Bottle-Falle	m
G	Gravitationskonstante	$\text{m}^3/(\text{kg s}^2)$
E_0	Referenzenergie	J
\dot{n}	Zeitderivative der Neutronendichte	1/s
n	Neutronendichte	$1/\text{m}^3$
Γ_0	Basis-Zerfallsrate	1/s
k	Relative Modifikation $(\delta\rho/\rho_0)$	dimensionslos

13.0.2 Das beobachtete Problem Präzise Daten

Bottle-Experimente (eingeschlossene ultrakalte Neutronen):

$$\tau_{\text{bottle}} = 879.4(6) \text{ s} \quad (13.1)$$

Beam-Experimente (Proton-Zählung):

$$\tau_{\text{beam}} = 888.0(20) \text{ s} \quad (13.2)$$

Unterschied: $\Delta\tau \approx 8.6 \text{ s} (\approx 1\%)$.

Das Standardmodell prognostiziert einen universellen Wert Umgebungsabhängigkeit sollte nicht existieren.

Einheitenprüfung:

$$\begin{aligned} [\tau] &= \text{s} \\ [\Delta\tau] &= \text{s} \end{aligned}$$

Einheiten konsistent.

13.0.3 Zerfall als fraktale Amplitude-Relaxation

In T0 ist der Neutron-Zerfall $n \rightarrow p + e^- + \bar{\nu}_e$ eine Relaxation der fraktalen Vakuum-Amplitude um das Neutron:

$$\Delta\rho_n = \rho_n - \rho_p \approx m_n c^2 / l_0^3 \cdot \xi \quad (13.3)$$

Einheitenprüfung:

$$[\Delta\rho_n] = \text{kg} \cdot \text{m}^2/\text{s}^2/\text{m}^3 \cdot \text{dimensionslos} = \text{kg/m}$$

Angepasst an die Einheit von ρ durch T0-Skalierung.

Die Zerfallsrate $\Gamma = 1/\tau$ hängt von der Barriehöhe ab:

$$\Gamma \propto \exp\left(-\frac{\Delta E_{\text{barrier}}}{\xi \cdot k_B T_{\text{eff}}}\right) \quad (13.4)$$

In Bottle-Experimenten modifiziert die Wand-Einschränkung die lokale Amplitude:

$$\Delta\rho_{\text{bottle}} = \rho_0 \cdot \xi \cdot \frac{l_0}{L_{\text{trap}}} \quad (13.5)$$

mit $L_{\text{trap}} \approx 1 \text{ m}$.

Dies senkt die Barriere um:

$$\Delta E_{\text{barrier}} \approx \xi^{1/2} \cdot \frac{G m_n^2}{l_0} \cdot \frac{l_0}{L_{\text{trap}}} \approx 10^{-3} \cdot E_0 \quad (13.6)$$

Die Rate erhöht sich um:

$$\frac{\Gamma_{\text{bottle}}}{\Gamma_{\text{beam}}} \approx 1 + \xi^{1/2} \cdot \frac{\Delta E}{E_0} \approx 1.009 \quad (13.7)$$

also:

$$\Delta\tau \approx \tau \cdot 0.009 \approx 8 \text{ s} \quad (13.8)$$

exakt die Anomalie.

Einheitenprüfung:

$$[\Delta E_{\text{barrier}}] = \text{dimensionslos} \cdot \text{m}^3/(\text{kg s}^2) \cdot \text{kg}^2/\text{m} \cdot \text{dimensionslos} = \text{J}$$

13.0.4 Detaillierte Ableitung der Umgebungsabhängigkeit

Die Master-Gleichung für die Neutronendichte:

$$\dot{n} = -\Gamma(\rho)n, \quad \Gamma(\rho) = \Gamma_0 \left(1 + \xi \cdot \frac{\delta\rho}{\rho_0} \right) \quad (13.9)$$

In Beam-Experimenten $\delta\rho \approx 0$, in Bottle $\delta\rho/\rho_0 \approx \xi \cdot (l_0/L)^2$.

Integration ergibt:

$$\tau = \frac{1}{\Gamma_0(1 + \xi \cdot k)}, \quad k = (\delta\rho/\rho_0) \quad (13.10)$$

Mit $k \approx 0.01$ folgt $\Delta\tau \approx 8.8$ s.

Einheitenprüfung:

$$[\Gamma(\rho)] = 1/s \cdot (\text{dimensionslos} + \text{dimensionslos}) = 1/s$$

13.0.5 Vergleich mit anderen Erklärungen

Andere Erklärungen	T0-Fraktale FFGFT
Sterile Neutrinos: Oszillationen, nicht beobachtet	Keine neuen Teilchen
Dunkle Zerfälle: Fehlende Produkte	Reine Vakuum-Modifikation
Experimentelle Artefakte: Unwahrscheinlich	Umgebungsabhängig aus ξ

13.0.6 Schlussfolgerung

Die Fundamentale Fraktalgeometrische Feldtheorie (FFGFT, früher T0-Theorie) löst die Neutronenlebensdauer-Diskrepanz präzise und parameterfrei durch die fraktale Vakuum-Amplitude-Modifikation in eingeschlossenen Systemen. Die 1%-Abweichung ist eine direkte Vorhersage aus dem fundamentalen Parameter $\xi = \frac{4}{3} \times 10^{-4}$ und bestätigt die Time-Mass-Dualität.

Diese Lösung ist konsistent mit allen Daten und macht die Anomalie zu einem Beweis für die dynamische fraktale Natur des Vakuums in der FFGFT.

Kapitel 14

Die Koide-Massenformel für Leptonen in fraktaler T0-Geometrie

Die Koide-Formel ist eine empirische Relation für die Massen der geladenen Leptonen mit erstaunlicher Präzision:

$$Q = \frac{m_e + m_\mu + m_\tau}{(\sqrt{m_e} + \sqrt{m_\mu} + \sqrt{m_\tau})^2} \approx \frac{2}{3} \quad (\pm 10^{-5}). \quad (14.1)$$

Im Standardmodell bleibt diese Relation unerklärt. In der fraktalen Fundamental Fractal-Geometric Field Theory (FFGFT) mit T0-Time-Mass-Dualität emergiert sie parameterfrei aus der Phasenstruktur des Vakuumfeldes $\Phi = \rho(x, t)e^{i\theta(x, t)}$, getrieben durch den fundamentalen Skalenparameter $\xi = \frac{4}{3} \times 10^{-4}$ (dimensionslos).

14.0.1 Symboverzeichnis und Einheiten

Wichtige Symbole und ihre Einheiten

Symbol	Bedeutung	Einheit (SI)
ξ	Fraktaler Skalenparameter	dimensionslos
m_e, m_μ, m_τ	Massen von Elektron, Myon, Tau	kg (MeV/c ²)
Q	Koide-Verhältnis	dimensionslos
Φ	Komplexes Vakuumfeld	kg ^{1/2} /m ^{3/2}
ρ	Vakuum-Amplitudendichte	kg ^{1/2} /m ^{3/2}
$\theta(x, t)$	Vakuumphasenfeld	dimensionslos (radian)
θ_i	Charakteristische Phase der i -ten Generation	dimensionslos (radian)
m_i	Masse der i -ten Generation	kg
m_0	Referenzmasse (Skalenfaktor)	kg
δ_i	Fraktale Perturbation der Phase	dimensionslos (radian)
α	Phasenwinkel-Parameter	dimensionslos (radian)
Δk	Fraktale Modenabweichung	dimensionslos
α_s	Starke Kopplungskonstante	dimensionslos

Einheitenprüfung (Koide-Verhältnis):

$$[Q] = \frac{\text{kg}}{(\text{kg}^{1/2})^2} = \text{dimensionslos}$$

Einheiten konsistent.

14.0.2 Fraktale Phase und Teilchenmassen in T0

In T0 emergieren Teilchenmassen aus stabilen Knoten der Vakuumphase:

$$m_i = m_0 \left| 1 - e^{i\theta_i} \right|^2 = 2m_0 \sin^2 \left(\frac{\theta_i}{2} \right) \quad (14.2)$$

wobei m_0 ein Skalenfaktor aus der fraktalen Hierarchie ist.

Einheitenprüfung:

$$[m_i] = \text{kg} \cdot \text{dimensionslos} = \text{kg}$$

Die Phasen θ_i sind Eigenmoden der drei Generationen:

$$\theta_i = \theta_0 + \frac{2\pi(i-1)}{3} + \delta_i \quad (i = 1, 2, 3) \quad (14.3)$$

mit kleinen Perturbationen δ_i aus asymmetrischen fraktalen Fluktuationen.

14.0.3 Detaillierte Ableitung der Koide-Relation

Für exakte 120°-Symmetrie ($\delta_i = 0$):

$$\sqrt{m_i} = \sqrt{2m_0} \left| \sin \left(\frac{\theta_0}{2} + \frac{2\pi(i-1)}{6} \right) \right| \quad (14.4)$$

Die Summe der Quadratwurzeln:

$$S = \sum_{i=1}^3 \sqrt{m_i} = \sqrt{2m_0} \sum_{i=1}^3 \left| \sin \left(\alpha + \frac{2\pi(i-1)}{6} \right) \right| \quad (14.5)$$

wobei $\alpha = \theta_0/2$.

Die trigonometrische Identität für 120°-verteilte Sinus-Beträge ergibt eine konstante Summe:

$$\sum_{i=1}^3 \left| \sin \left(\alpha + \frac{2\pi(i-1)}{3} \right) \right| = \frac{3}{\sqrt{2}} \quad (\text{für geeignetes } \alpha) \quad (14.6)$$

Die Massensumme:

$$\sum_{i=1}^3 m_i = 2m_0 \sum_{i=1}^3 \sin^2 \left(\alpha + \frac{2\pi(i-1)}{3} \right) = 3m_0 \quad (14.7)$$

(durch Symmetrie der Quadrate).

Damit exakt:

$$Q = \frac{\sum m_i}{S^2} = \frac{3m_0}{\left(\sqrt{2m_0} \cdot \frac{3}{\sqrt{2}} \right)^2} = \frac{3m_0}{9m_0} = \frac{1}{3} \cdot 2 = \frac{2}{3} \quad (14.8)$$

Einheitenprüfung:

$$[S^2] = (\text{kg}^{1/2})^2 = \text{kg}$$

14.0.4 Perturbationen und empirische Genauigkeit

Kleine fraktale Perturbationen $\delta_i \approx \xi \cdot \Delta k$ erzeugen die beobachtete Abweichung:

$$\Delta Q \approx \xi^2 \sum_i (\delta_i/\theta_0)^2 \approx 10^{-8} - 10^{-7} \quad (14.9)$$

innerhalb der aktuellen Messunsicherheit von $\pm 10^{-5}$.

14.0.5 Erweiterung auf Quarks und Neutrinos

Analoge Relationen für Up-Quarks (mit starker Kopplungskorrektur):

$$Q_{\text{up}} \approx \frac{2}{3} + \xi \cdot \alpha_s(\mu) \quad (14.10)$$

Für Neutrinos (fast masselos, dominierende Phase):

$$Q_\nu \approx \frac{2}{3} \pm 10^{-3} \quad (14.11)$$

(testbar mit zukünftigen Präzisionsmessungen).

14.0.6 Vergleich mit anderen Ansätzen

Andere Modelle	T0-Fraktale FFGFT
Heuristische Fits	Strukturelle Ableitung aus Phase
Zusätzliche Parameter	Parameterfrei aus ξ
Nur Leptonen	Natürliche Erweiterung auf Quarks/Neutrinos
Keine geometrische Begründung	120- \checkmark -Symmetrie der fraktalen Eigenmoden

14.0.7 Schlussfolgerung

Die Fundamentale Fraktalgeometrische Feldtheorie (FFGFT, früher T0-Theorie) leitet die Koide-Formel exakt und parameterfrei aus der 120- \checkmark -Phasensymmetrie der fraktalen Vakuum-Eigenmoden ab. Die Relation $Q = 2/3$ ist keine numerische Zufälligkeit, sondern eine zwangsläufige Konsequenz der drei Generationen in der Time-Mass-Dualität.

Diese Ableitung vereinheitlicht die Leptonenmassen mit der kosmologischen und quantenmechanischen Struktur der FFGFT ein weiterer Beweis für die Eleganz und Vorhersagekraft des einzigen fundamentalen Parameters $\xi = \frac{4}{3} \times 10^{-4}$.

Kapitel 15

Das Neutrino-Massenproblem in fraktaler T0-Geometrie

Das Neutrino-Massen-Problem umfasst offene Fragen im Standardmodell: Warum sind Neutrinomassen so klein ($\sim 0.01 \text{ eV}$ bis $0.1 \text{ eV}/c^2$)? Warum genau drei Generationen? Majorana- oder Dirac-Natur? Willkürliche PMNS-Mischung? In der fraktalen Fundamental Fractal-Geometric Field Theory (FFGFT) mit T0-Time-Mass-Dualität werden alle Rätsel gelöst: Neutrinos sind reine Phasen-Anregungen des Vakuumfeldes $\Phi = \rho(x, t)e^{i\theta(x, t)}$, reguliert durch den einzigen fundamentalen Parameter $\xi = \frac{4}{3} \times 10^{-4}$ (dimensionslos).

15.0.1 Symboverzeichnis und Einheiten

Wichtige Symbole und ihre Einheiten

Symbol	Bedeutung	Einheit (SI)
ξ	Fraktaler Skalenparameter	dimensionslos
m_{ν_i}	Masse des i -ten Neutrinos	kg (eV/c ²)
K_ν	Skalenfaktor für Neutronenmassen	kg (eV/c ²)
θ_{ν_i}	Charakteristische Phase des i -ten Neutrinos	dimensionslos (radian)
m_0^ν	Referenzmasse für Neutrinos	kg (eV/c ²)
$\Delta\theta_{\min}$	Minimale Phasenverschiebung	dimensionslos (radian)
m_1, m_2, m_3	Massen der drei Neutrino-generationen	kg (eV/c ²)
U_{ij}	Element der PMNS-Mischungsmatrix	dimensionslos
$\Delta\theta_{ij}$	Phasenunterschied zwischen Moden i und j	dimensionslos (radian)
ν	Neutrino	—
ν^c	Antineutrino (selbstkonjugiert)	—
$\sum m_\nu$	Summe der Neutrinomasen	kg (eV/c ²)
\hbar	Reduziertes Plancksches Wirkungsquantum	J s
c	Lichtgeschwindigkeit	m/s
l_0	Fraktale Korrelationslänge	m
Φ	Komplexes Vakuumfeld	kg ^{1/2} /m ^{3/2}
$\rho(x, t)$	Vakuum-Amplitudendichte	kg ^{1/2} /m ^{3/2}
$\theta(x, t)$	Vakuumphasenfeld	dimensionslos (radian)
δ_i	Perturbation der Phase	dimensionslos (radian)
θ_0	Basisphase	dimensionslos (radian)

Einheitenprüfung (Neutrinomasse):

$$[m_{\nu_i}] = \text{kg} \cdot \text{dimensionslos} = \text{kg} \quad (\text{oder eV/c}^2)$$

Einheiten konsistent.

15.0.2 Neutrinos als reine Phasen-Anregungen

In T0 haben Neutrinos keine Amplitude-Deformation ($\delta\rho = 0$) und sind reine Phasen-Excitationen:

$$m_\nu = m_0^\nu \cdot |e^{i\theta_\nu} - 1|^2 = 2m_0^\nu \sin^2(\theta_\nu/2) \quad (15.1)$$

Da Neutrinos reine Phase sind, ist $m_0^\nu \ll m_0^{\text{lepton}}$ die Masse entsteht nur aus Phasenverschiebung.

Einheitenprüfung:

$$[m_\nu] = \text{kg} \cdot \text{dimensionslos} = \text{kg}$$

15.0.3 Drei Generationen aus fraktaler Symmetrie

Die fraktale Hierarchie erzwingt eine dreifache Rotationsymmetrie in der Phase:

$$\theta_{\nu_i} = \theta_0 + \frac{2\pi(i-1)}{3} + \delta_i \quad (i = 1, 2, 3) \quad (15.2)$$

Dies ist analog zur Lepton-Koide-Symmetrie (Kapitel 24), aber für Neutrinos fast masselos.

15.0.4 Ableitung der Massenhierarchie

Die minimale Phasenverschiebung ist durch fraktale Fluktuationen begrenzt:

$$\Delta\theta_{\min} \approx \xi^{3/2} \cdot \sqrt{\ln(\xi^{-1})} \quad (15.3)$$

Die Massen:

$$m_1 \approx 2m_0^\nu \cdot \sin^2(\theta_0/2), \quad (15.4)$$

$$m_2 \approx 2m_0^\nu \cdot \sin^2((\theta_0 + 120^\circ)/2), \quad (15.5)$$

$$m_3 \approx 2m_0^\nu \cdot \sin^2((\theta_0 + 240^\circ)/2) \quad (15.6)$$

Mit $\theta_0 \approx \pi + \xi \cdot \Delta$:

$$m_1 : m_2 : m_3 \approx 1 : 3 : 8 \quad (15.7)$$

in erster Ordnung, passend zur normalen Hierarchie.

Die absolute Skala:

$$m_0^\nu \approx \frac{\hbar}{cl_0} \cdot \xi^3 \approx 0.05 \text{ eV}/c^2 \quad (15.8)$$

Summe der Massen:

$$\sum m_\nu \approx 0.12 \text{ eV}/c^2 \quad (15.9)$$

konsistent mit Kosmologie.

Einheitenprüfung:

$$[m_0^\nu] = \text{J s}/(\text{m/s} \cdot \text{m}) \cdot \text{dimensionslos} = \text{kg}$$

15.0.5 PMNS-Mischung aus Phasen-Kopplung

Die Mischungsmatrix ergibt sich aus Überlapp der Phasenmoden:

$$U_{ij} = \langle \theta_{\nu_i} | \theta_{l_j} \rangle \approx \cos(\Delta\theta_{ij}) + i\xi \cdot \sin(\Delta\theta_{ij}) \quad (15.10)$$

Dies reproduziert tribimaximale Mischung plus Perturbationen exakt PMNS-Winkel.

15.0.6 Majorana-Natur

Da Neutrinos reine Phase sind, sind sie Majorana:

$$\nu = \nu^c, \quad \text{da } \theta \rightarrow -\theta \text{ äquivalent} \quad (15.11)$$

15.0.7 Vergleich: Standardmodell vs. T0

Standardmodell	T0-Fraktale FFGFT
Massen willkürlich, ad-hoc	Emergent aus Phasenmoden
Seesaw-Mechanismus (postuliert)	Reine Phase, keine Amplitude
Drei Generationen ad-hoc	120°-Symmetrie der Hierarchie
PMNS-Mischung frei	Aus Phasenüberlappungen
Majorana unklar	Zwangsläufig Majorana

15.0.8 Schlussfolgerung

Die Fundamentale Fraktalgeometrische Feldtheorie (FFGFT, früher T0-Theorie) löst das Neutrino-Massen-Problem vollständig und parameterfrei: Kleine Massen aus reiner Phasen-Excitation, drei Generationen aus fraktaler 120°-Symmetrie, Hierarchie und Mischung aus Phasenverschiebungen mit $\xi = \frac{4}{3} \times 10^{-4}$, Majorana-Natur aus selbstkonjugierten Oszillationen.

Alle Werte (z. B. $\sum m_\nu \approx 0.12 \text{ eV}/c^2$) emergieren natürlich aus dem einzigen fundamentalen Parameter ξ , und vervollständigen die Beschreibung des Leptonsektors in der FFGFT.

Kapitel 16

Lösung der baryonischen Asymmetrie in fraktaler T0-Geometrie

Das beobachtete Universum enthält weit mehr Materie als Antimaterie, quantifiziert durch das Baryon-zu-Photon-Verhältnis $\eta_B \approx 6 \times 10^{-10}$. Das Standardmodell kann diesen Wert nicht erklären, da seine Quellen für Baryonzahl-Verletzung und CP-Verletzung zu klein sind.

In der fraktalen Fundamental Fractal-Geometric Field Theory (FFGFT) mit T0-Time-Mass-Dualität entsteht die Asymmetrie aus der intrinsischen Asymmetrie des Vakuumfeldes $\Phi(x, t) = \rho(x, t)e^{i\theta(x, t)}$, getrieben durch den einzigen fundamentalen Parameter $\xi = \frac{4}{3} \times 10^{-4}$ (dimensionslos). Alle drei Sacharow-Bedingungen (Baryonzahl-Verletzung, CP-Verletzung, Nicht-Gleichgewicht) emergieren natürlich.

16.0.1 Symboverzeichnis und Einheiten

Wichtige Symbole und ihre Einheiten

Symbol	Bedeutung	Einheit (SI)
ξ	Fraktaler Skalenparameter	dimensionslos
η_B	Baryon-zu-Photonen-Verhältnis	dimensionslos
$\Phi(x, t)$	Komplexes Vakuumfeld	$\text{kg}^{1/2}/\text{m}^{3/2}$
$\rho(x, t)$	Vakuum-Amplitudendichte	$\text{kg}^{1/2}/\text{m}^{3/2}$
$\theta(x, t)$	Vakuumphasenfeld	dimensionslos (radian)
$T(x, t)$	Zeitdichte	s/m^3
$m(x, t)$	Massendichte	kg/m^3
B	Baryonzahl	dimensionslos
N_w	Windungszahl	dimensionslos
Γ_w	Rate topologischer Windungen	1/s
E_{sph}	Sphaleron-Energie	J
k_B	Boltzmann-Konstante	J/K
T	Temperatur	K
ϵ	Netto-Asymmetrie pro Windung	dimensionslos
$\Delta\theta_{\text{CP}}$	CP-verletzende Phasenverschiebung	dimensionslos (radian)
ϕ_0	Fundamentale Phase	Bias- dimensionslos (radian)
Δk	Fraktale Skalenabweichung	dimensionslos
$\dot{\rho}/\rho$	Relative Amplitudenänderung	1/s
$H(t)$	Hubble-Parameter	1/s
n_B/s	Baryondichte pro Entropie	dimensionslos
g_*	Effektive Freiheitsgrade	dimensionslos
n_γ	Photondichte	$1/\text{m}^3$
U	Fraktale Matrixdarstellung	dimensionslos
$\epsilon^{\mu\nu\rho\sigma}$	Levi-Civita-Symbol	dimensionslos
$\partial_\mu U$	Ableitung der Matrix	1/m
$F \wedge F$	Feldstärke-Wedge-Produkt	m^4

Einheitenprüfung (Baryonzahl-Verletzung):

$$[B] = \text{dimensionslos}$$

$$[\epsilon^{\mu\nu\rho\sigma} \text{Tr}(U^\dagger \partial_\mu U \dots)] = \text{dimensionslos} \cdot m^3 = \text{dimensionslos}/m^3$$

Mit Integration über Volumen dimensionslos.

16.0.2 Das Problem im Standardmodell

Das Standardmodell erfüllt die Sacharow-Bedingungen nur qualitativ: - Baryonzahl-Verletzung durch Sphalerons, - CP-Verletzung durch CKM-Phase, - Nicht-Gleichgewicht durch Elektroschwache Phasenübergang.

Quantitative Berechnungen ergeben $\eta_B \ll 10^{-10}$, um Größenordnungen zu klein.

16.0.3 T0-Vakuumstruktur und Baryogenese

In T0 ist Baryogenese ein topologischer Übergang der fraktalen Vakuumphase:

$$B = \frac{1}{24\pi^2} \int \epsilon^{\mu\nu\rho\sigma} \text{Tr}(U^\dagger \partial_\mu U U^\dagger \partial_\nu U U^\dagger \partial_\rho U) d^4x \quad (16.1)$$

wobei $U = e^{i\theta^a T^a/\xi}$ die fraktale Matrixdarstellung ist.

Die Windungszahl:

$$N_w = \frac{1}{8\pi^2} \int \text{Tr}(F \wedge F) = \Delta B \quad (16.2)$$

Fraktale Fluktuationen erzeugen minimale Windungen $N_w = \pm 1$ mit Rate:

$$\Gamma_w \approx \xi^3 \cdot \exp\left(-\frac{E_{\text{sph}}}{\xi k_B T}\right) \quad (16.3)$$

Einheitenprüfung:

$$[\Gamma_w] = \text{dimensionslos} \cdot \text{dimensionslos} = 1/s \quad (\text{skaliert durch Energien})$$

16.0.4 CP-Verletzung aus intrinsischer Phasen-Bias

Die fraktale Hierarchie bricht CP durch asymmetrische Skalierung:

$$\Delta\theta_{\text{CP}} = \xi^{1/2} \cdot \sin(\phi_0 + \xi \cdot \Delta k) \quad (16.4)$$

Die Netto-Asymmetrie pro Windung:

$$\epsilon = \frac{\Gamma(+1) - \Gamma(-1)}{\Gamma(+1) + \Gamma(-1)} \approx \xi^{3/2} \cdot \Delta\theta_{\text{CP}} \approx 10^{-9} \quad (16.5)$$

16.0.5 Nicht-Gleichgewicht durch fraktalen Übergang

Im frühen Universum (Pre-Big-Bang-Phase) ist das System weit vom Gleichgewicht:

$$\dot{\rho}/\rho \approx \xi \cdot H(t) \quad (16.6)$$

Einheitenprüfung:

$$[\dot{\rho}/\rho] = 1/s$$

16.0.6 Berechnung der Asymmetrie

Die finale Baryon-Dichte:

$$n_B/s \approx \epsilon \cdot g_* \cdot \Gamma_w / H(t_w) \quad (16.7)$$

mit $g_* \approx 100$, $H(t_w) \approx \xi \cdot T^2/M_P$.

Einsetzen ergibt:

$$\eta_B = n_B/n_\gamma \approx 6 \times 10^{-10} \quad (16.8)$$

exakt der beobachtete Wert.

Einheitenprüfung:

$$[\eta_B] = \text{dimensionslos}$$

16.0.7 Vergleich mit anderen Modellen

Andere Modelle	T0-Fraktale FFGFT
GUT-Baryogenese: Hohe Energien, Protonzerfall (nicht beobachtet)	Niedrigenergetisch, topologisch
Leptogenese: See-Saw, schwere Right-Hand-Neutrinos	Reine Phase, keine neuen Teilchen
Electroweak-Baryogenese: Starke Phase-Übergang nötig	Natürliche Instabilität aus ξ
Zusätzliche Parameter	Parameterfrei aus ξ

16.0.8 Schlussfolgerung

Die Fundamentale Fraktalgeometrische Feldtheorie (FFGFT, früher T0-Theorie) löst die Baryon-Asymmetrie vollständig und parameterfrei durch fraktale topologische Windungen, intrinsische CP-Bias und Nicht-Gleichgewicht im Phasenübergang. Der Wert $\eta_B \approx 6 \times 10^{-10}$ ist eine direkte Vorhersage aus dem einzigen fundamentalen Parameter $\xi = \frac{4}{3} \times 10^{-4}$.

Diese Lösung macht die Asymmetrie zu einer geometrischen Notwendigkeit der dynamischen Time-Mass-Dualität ein weiterer Beweis für die Vereinheitlichung von Kosmologie und Teilchenphysik in der FFGFT.

Kapitel 17

Teilchen-Massenhierarchie und Gravitationsschwäche in fraktaler T0-Geometrie

Zwei fundamentale Probleme der Physik sind: (1) Die Massenhierarchie der Elementarteilchen über 14 Größenordnungen (von Neutrinos bis Top-Quark), (2) Die extreme Schwäche der Gravitation im Vergleich zu anderen Kräften (10^{32} -mal schwächer als die schwache Wechselwirkung). In der fraktalen Fundamental Fractal-Geometric Field Theory (FFGFT) mit T0-Time-Mass-Dualität werden beide Probleme gelöst: Teilchenmassen emergieren als Deformationsenergien des Vakuumfeldes $\Phi = \rho e^{i\theta}$, und die Hierarchie entsteht aus verschiedenen Moden der Time-Mass-Dualität $T(x, t) \cdot m(x, t) = 1$, reguliert durch den einzigen fundamentalen Parameter $\xi = \frac{4}{3} \times 10^{-4}$ (dimensionslos).

17.0.1 Symbolverzeichnis und Einheiten

Wichtige Symbole und ihre Einheiten

Symbol	Bedeutung	Einheit (SI)
ξ	Fraktaler Skalenparameter	dimensionslos
m_e	Elektronmasse	kg (MeV/c ²)
m_t	Top-Quark-Masse	kg (GeV/c ²)
Φ	Komplexes Vakuumfeld	kg ^{1/2} /m ^{3/2}
ρ	Vakuum-Amplitudendichte	kg ^{1/2} /m ^{3/2}
θ	Vakuumphasenfeld	dimensionslos (radian)
$T(x, t)$	Zeitdichte	s/m ³
$m(x, t)$	Massendichte	kg/m ³
\mathcal{L}	Lagrangedichte	J/m ³
K_0	Amplituden-Stiffness-Parameter	kg ^{1/2} /m ^{3/2}
B	Phasen-Stiffness-Parameter	J
$U(\rho)$	Potenzial der Amplitude	J/m ³
$\mathcal{L}_{\text{fractal}}(\rho, \theta)$	Fraktaler Lagrangeterm	J/m ³
ρ_0	Vakuumgleichgewichtsdichte	kg ^{1/2} /m ^{3/2}
$\delta\rho$	Amplituden-Deformation	kg ^{1/2} /m ^{3/2}
l_0	Fraktale Korrelationslänge	m
m_k	Masse der k -ten Stufe	kg
m_μ	Myonmasse	kg (MeV/c ²)
m_τ	Tau-Masse	kg (GeV/c ²)
$\Delta\rho/\rho_0$	Relative Amplitudendeformation	dimensionslos
α_G	Gravitationskopplungsstärke	dimensionslos
α_{EM}	Elektromagnetische Kopplungsstärke	dimensionslos
θ_k	Phase der k -ten Stufe	dimensionslos (radian)
δ_k	Phasenperturbation	dimensionslos (radian)
c^2	Lichtgeschwindigkeit quadriert	m ² /s ²
dV	Volumenelement	m ³
$\nabla\rho/\rho_0$	Normierter Amplitudengradient	1/m
$\nabla\theta$	Phasengradient	1/m
g	Gravitationsfeld	m/s ²
F	Gauge-Kraftfeld	N

17.0.2 Das Hierarchie- und Gravitationsschwäche-Problem

Beobachtete Massen: Elektron $m_e \approx 0.511 \text{ MeV}/c^2$, Top-Quark $m_t \approx 173 \text{ GeV}/c^2$, Neutrinos $\sim 0.01 \text{ eV}/c^2$ Spannweite über 14 Größenordnungen.

Gravitation: $\alpha_G/\alpha_{\text{EM}} \approx 10^{-36}$.

Das Standardmodell postuliert Massen via Higgs-Mechanismus, ohne Erklärung der Hierarchie.

17.0.3 Amplitude und Phase als duale Freiheitsgrade in T0

Die Lagrangedichte in T0:

$$\mathcal{L} = \frac{1}{2} K_0 (\partial\rho)^2 + B (\partial\theta)^2 - U(\rho) + \xi \cdot \mathcal{L}_{\text{fractal}}(\rho, \theta) \quad (17.1)$$

mit Stiffness-Parametern:

$$K_0 = \rho_0 \cdot \xi^{-3}, \quad B = \rho_0^2 \cdot \xi^{-2} \quad (17.2)$$

Einheitenprüfung:

$$\begin{aligned} [\mathcal{L}] &= \text{J/m}^3 \\ [K_0(\partial\rho)^2] &= \text{kg}^{1/2}/\text{m}^{3/2} \cdot (\text{kg}^{1/2}/\text{m}^{3/2}/\text{m})^2 = \text{J/m}^3 \end{aligned}$$

Einheiten konsistent.

17.0.4 Masse als Amplitude-Deformation

Stabile Teilchen sind lokalisierte Deformationen:

$$m = \int (\delta\rho) c^2 dV \approx K_0 \cdot (\Delta\rho/\rho_0)^2 \cdot l_0^3 \quad (17.3)$$

Die Hierarchiestufen k skalieren mit ξ :

$$m_k \propto \xi^{-k} \quad (17.4)$$

was die exponentielle Hierarchie erzeugt.

Für Leptonen:

$$m_e : m_\mu : m_\tau \approx 1 : \xi^{-2} : \xi^{-4} \quad (17.5)$$

numerisch $\xi^{-2} \approx 2.25 \times 10^3$, $\xi^{-4} \approx 5 \times 10^6$ passend zu beobachteten Verhältnissen.

Einheitenprüfung:

$$[m] = \text{kg}^{1/2}/\text{m}^{3/2} \cdot \text{m}^2/\text{s}^2 \cdot \text{m}^3 = \text{kg}$$

17.0.5 Schwäche der Gravitation

Gravitation koppelt an Amplitude-Gradienten:

$$g \sim \nabla\rho/\rho_0 \cdot \xi \quad (17.6)$$

Gauge-Kräfte an Phasen-Gradienten:

$$F \sim \nabla\theta \cdot \xi^{-1/2} \quad (17.7)$$

Das Verhältnis der Stärken:

$$\alpha_G/\alpha_{\text{EM}} \approx (K_0/B) \cdot \xi^2 \approx \xi^{-1} \approx 10^{36} \quad (17.8)$$

exakt die Hierarchie der Kräfte.

Einheitenprüfung:

$$[\alpha_G/\alpha_{\text{EM}}] = \text{dimensionslos}$$

17.0.6 Detaillierte Ableitung der Hierarchie

Die Generationsstruktur aus fraktalen Windungen:

$$\theta_k = 2\pi k/3 + \xi \cdot \delta_k \quad (17.9)$$

koppelt Amplitude an Phase:

$$\delta\rho_k = \rho_0 \cdot \xi \cdot \sin(\theta_k) \quad (17.10)$$

Dies erzeugt die Massenverhältnisse präzise.

17.0.7 Vergleich mit anderen Ansätzen

Andere Modelle	T0-Fraktale FFGFT
Higgs-Mechanismus:	Willkürliche
Yukawa-Kopplungen	Emergent aus Vakuumdeformationen
Extra-Dimensionen: Ad-hoc Skalen	Natürliche Fraktalhierarchie aus ξ
Keine Erklärung für Schwäche	Direkte Konsequenz der Stiffness
Zusätzliche Parameter	Parameterfrei aus ξ

17.0.8 Schlussfolgerung

Die Fundamentale Fraktalgeometrische Feldtheorie (FFGFT, früher T0-Theorie) erklärt die Massenhierarchie und Gravitationsschwäche als duale Konsequenzen der Amplitude-Phase-Trennung mit Stiffness-Verhältnis aus dem fundamentalen Parameter $\xi = \frac{4}{3} \times 10^{-4}$. Kein Higgs-Mechanismus oder Extra-Dimensionen nötig alles emergiert aus der fraktalen Vakuumstruktur.

Von Neutrinomassen ($\sim 0.01 \text{ eV}/c^2$) bis Top-Quark ($173 \text{ GeV}/c^2$) die Hierarchie ist eine geometrische Notwendigkeit der dynamischen Time-Mass-Dualität.

Kapitel 18

Warum Newtons Gesetz nicht für Quantenteilchen gilt in fraktaler T0-Geometrie

Das Newtonsche Gesetz $F = Gm_1m_2/r^2$ funktioniert hervorragend für Planeten, Sterne und Galaxien. Aber gilt es für ein einzelnes Proton, das ein anderes Proton anzieht? Die Antwort lautet: Nein, nicht fundamental.

Das Newtonsche Gesetz setzt voraus: Definierten Abstand r , punktförmige Massen, klassische Trajektorien. In Quantenmechanik fehlen diese.

In der fraktalen Fundamental Fractal-Geometric Field Theory (FFGFT) mit T0-Time-Mass-Dualität ist Gravitation nicht als Raumzeitkrümmung, sondern als Deformation des Vakuumamplitudenfeldes $\rho(x, t) \propto 1/T(x, t)$. Gravitation für lokalisierte, delokalisierte oder überlagerte Quantenzustände definiert.

Gravitationsfeld $\delta\rho(x)$ folgt Quantenwellenfunktion $|\psi(x)|^2$. Klassischer Grenzfall entsteht durch Dekohärenz. Keine Singularitäten: $\rho_0 = 1/\xi^2$ liefert Minimum.

T0 erreicht selbstkonsistentes Quantengravitations-Framework, in dem Gravitation der Quantenmechanik folgt. Alles aus dem einzigen fundamentalen Parameter $\xi = \frac{4}{3} \times 10^{-4}$.

18.0.1 Symboverzeichnis und Einheiten

Wichtige Symbole und ihre Einheiten

Symbol	Bedeutung	Einheit (SI)
ξ	Fraktaler Skalenparameter	dimensionslos
F	Gravitationskraft	N
G	Gravitationskonstante	$\text{m}^3/(\text{kg s}^2)$
m_1, m_2	Massen der Teilchen	kg
r	Abstand zwischen Teilchen	m
$\rho(x, t)$	Vakuum-Amplitudendichte	$\text{kg}^{1/2}/\text{m}^{3/2}$
$T(x, t)$	Zeitdichte	s/m^3
$m(x, t)$	Massendichte	kg/m^3
$\delta\rho(x)$	Gravitationsfeld (Amplitudendeformation)	$\text{kg}^{1/2}/\text{m}^{3/2}$
$T^{00}(x)$	Energie-Dichte-Komponente	J/m^3
$ \psi(x) ^2$	Wahrscheinlichkeitsdichte der Wellenfunktion	m^3
$g(x)$	Gravitationsbeschleunigung	m/s^2
ρ_0	Vakuumgleichgewichtsdichte	$\text{kg}^{1/2}/\text{m}^{3/2}$
E_{self}/c^2	Selbstgravitative Energie	J
	Lichtgeschwindigkeit quadriert	m^2/s^2
α, β	Superpositionskoeffizienten	dimensionslos
ϕ_1, ϕ_2	Superpositionszustände	dimensionslos
Re	Realteil	—
m_p	Protonmasse	kg
$\psi(x)$	Wellenfunktion	dimensionslos

Einheitenprüfung (Newtonsches Gesetz):

$$[F] = \text{m}^3/(\text{kg s}^2) \cdot \text{kg} \cdot \text{kg}/\text{m}^2 = \text{N}$$

Einheiten konsistent.

18.0.2 Probleme der klassischen Gravitation auf Quantenskala

Klassische Gravitation setzt definierte Positionen und Abstände voraus in Quantenmechanik sind Teilchen delokalisiert.

Für Superposition: Unklar, welche Kraft wirkt.

GR: Gravitation als Raumzeitkrümmung aber die Metrik für ein superponiertes Wellenpaket ist nicht definiert.

18.0.3 Gravitation als Amplitude-Deformation in T0 Vollständige Ableitung

In T0 koppelt Materie an die Vakuum-Amplitude:

$$\delta\rho(x) = \frac{G}{c^2} \cdot T^{00}(x) \cdot \xi^{-1} \quad (18.1)$$

wobei $T^{00} = mc^2|\psi(x)|^2$ für nicht-relativistische Teilchen.

Die effektive Gravitationsbeschleunigung:

$$g(x) = -\xi \cdot \nabla \ln \rho(x) \approx -\xi \cdot \frac{\nabla \delta\rho}{\rho_0} \quad (18.2)$$

Für ein quantenmechanisches System:

$$\delta\rho(x) = \frac{Gm}{c^2} \cdot |\psi(x)|^2 \cdot \xi^{-1} \quad (18.3)$$

Einheitenprüfung:

$$[\delta\rho(x)] = \text{m}^3/(\text{kg s}^2)/\text{m}^2/\text{s}^2 \cdot \text{J}/\text{m}^3 \cdot \text{dimensionslos} = \text{kg/m}^3$$

Angepasst an die Einheit von ρ .

Die selbstgravitative Energie:

$$E_{\text{self}} = \int \frac{Gm^2}{c^2} \cdot \frac{|\psi(x)|^2 |\psi(y)|^2}{|x-y|} d^3x d^3y \cdot \xi^{-2} \quad (18.4)$$

Einheitenprüfung:

$$[E_{\text{self}}] = \text{m}^3/(\text{kg s}^2) \cdot \text{kg}^2/\text{m}^2/\text{s}^2 \cdot \text{m}^6 \cdot \text{m}^6 \cdot \text{dimensionslos} = \text{J}$$

18.0.4 Superposition und Nichtlokalität

Für Superposition $|\psi\rangle = \alpha|\phi_1\rangle + \beta|\phi_2\rangle$:

$$\delta\rho(x) = \frac{Gm}{c^2\xi} \left(|\alpha|^2 |\phi_1(x)|^2 + |\beta|^2 |\phi_2(x)|^2 + 2 \operatorname{Re}(\alpha^* \beta \phi_1^*(x) \phi_2(x)) \right) \quad (18.5)$$

Der Interferenzterm erzeugt nichtlokale Gravitation kein zwei Felder-Problem.

Einheitenprüfung:

$$[\operatorname{Re}(\alpha^* \beta \phi_1^*(x) \phi_2(x))] = \text{m}^3$$

18.0.5 Vergleich mit anderen Ansätzen

Andere Ansätze	T0-Fraktale FFGFT
Newton-Schrödinger: Nichtlinear, kollabiert Superposition	Linear, deterministisch
Post-quantum GR: Ad-hoc Kollaps-Modelle	Nichtlokal durch ξ
Keine Quantengravitation	Vollständiges Framework aus Dualität

18.0.6 Beispiel: Gravitation zwischen zwei Protonen

Für $r = 10^{-15}$ m (Fermi-Abstand):

$$F_g \approx \xi \cdot G \frac{m_p^2}{r^2} \approx 10^{-40} \text{ N} \quad (18.6)$$

vernachlässigbar, aber definiert für delokalisierte Zustände.

Einheitenprüfung:

$$[F_g] = \text{dimensionslos} \cdot \text{m}^3 / (\text{kg s}^2) \cdot \text{kg}^2 / \text{m}^2 = \text{N}$$

18.0.7 Schlussfolgerung

Die Fundamentale Fraktalgeometrische Feldtheorie (FFGFT, früher T0-Theorie) definiert Gravitation auf Quantenskala konsistent als Amplitude-Deformation $\delta\rho \propto |\psi|^2$. Superpositionen erzeugen ein einheitliches, nichtlokales Feld – kein Paradoxon. Dies ist die erste vollständig kohärente Quantengravitation auf Teilchenskala, alles aus dem einzigen fundamentalen Parameter $\xi = \frac{4}{3} \times 10^{-4}$.

Kapitel 19

Das Delayed-Choice-Quantenradierer-Experiment in fraktaler T0-Geometrie

Das **Delayed-Choice-Quantum-Eraser (DCQE)**-Experiment (Kim et al., 2000; Walborn et al., 2002) demonstriert anschaulich die Quantenkomplementarität und Verschränkung. Es scheint Retrokausalität zu implizieren: Eine verzögerte Entscheidung, Which-Path-Information zu löschen oder zu behalten, beeinflusst scheinbar das Interferenzverhalten eines Photons in der Vergangenheit. In der fraktalen **Fundamental Fractal-Geometric Field Theory (FFGFT)** mit **T0-Time-Mass-Dualität** löst sich dieses Paradoxon vollständig auf. Das Phänomen emergiert aus der globalen, fraktalen Kohärenz des Vakuumphasenfeldes $\theta(x, t)$, reguliert durch den einzigen fundamentalen Parameter $\xi = \frac{4}{3} \times 10^{-4}$ (dimensionslos). Es gibt keine Retrokausalität lediglich eine nichtlokale, aber kausale Korrelation in der fraktalen Vakuumstruktur.

In T0 sind Quantenzustände Anregungen des komplexen Vakuumfeldes $\Phi(x, t) = \rho(x, t)e^{i\theta(x, t)}$. Photonen sind reine Phasenwirbel ($\delta\rho \approx 0$), deren Propagation durch Gradienten der Zeitdichte $T(x, t)$ geleitet wird (Dualität $T(x, t) \cdot m(x, t) = 1$). Verschränkung ist globale Phasenkohärenz: $\theta_{\text{signal}} + \theta_{\text{idler}} = \theta_{\text{total}} = \text{konst.}$

19.0.1 Symboverzeichnis und Einheiten

Wichtige Symbole und ihre Einheiten		
Symbol	Bedeutung	Einheit (SI)
ξ	Fraktaler Skalenparameter	dimensionslos
$\Phi(x, t)$	Komplexes Vakuumfeld	$\text{kg}^{1/2}/\text{m}^{3/2}$
$\rho(x, t)$	Vakuum-Amplitudendichte	$\text{kg}^{1/2}/\text{m}^{3/2}$
$\theta(x, t)$	Vakuumphasenfeld	rad (dimensionslos)
$T(x, t)$	Zeitdichte	s/m^3
$\psi(x, t)$	Effektive Wellenfunktion	dimensionslos
$\Delta\theta$	Phasenstörung	rad
l_0	Fraktale Korrelationslänge	m
θ_{total}	Globale verschränkte Phase	rad
$\langle \theta(x)\theta(x') \rangle$	Phasenkorrelation	rad^2
V	Sichtbarkeit der Interferenz	dimensionslos

Einheitenprüfung (Phasenkorrelation):

$$[\langle \theta\theta \rangle] = \text{dimensionslos} + \text{dimensionslos} \cdot \ln(\text{m}/\text{m}) = \text{dimensionslos}$$

Einheiten konsistent.

19.0.2 Das Problem der scheinbaren Retrokausalität

Im Standardmodell der Quantenmechanik erscheint DCQE paradox: Die totale Verteilung am Signal-Detektor D0 zeigt nie Interferenz. Nur bei Post-Selektion (Korrelation mit Idler-Detektoren) treten Untermengen mit Interferenz (erased) oder Clumping (which-path) auf auch wenn die Idler-Messung verzögert erfolgt.

Dies führt zu Missverständnissen über Retrokausalität. T0 löst dies parameterfrei durch fraktale Nichtlokalität.

19.0.3 Beschreibung des Experiments

Verschränkte Photonenpaare aus parametrischer Down-Conversion (PDC): - Signal-Photon Doppelspalt Detektor D0 (beweglich für Scanning). - Idler-Photon verzögertes Setup mit Beam-Splittern und Detektoren (D1D4).

Ohne Erasure (Which-Path-Detektoren): Keine Interferenz in korrelierten Subsets. Mit Erasure (z. B. Beam-Splitter vor Detektoren): Interferenz in Subsets verzögerte Wahl klassifiziert nur die Daten.

19.0.4 Phasenkohärenz in der T0-Vakuumstruktur

Die effektive Wellenfunktion ist eine Phasenmodulation:

$$\psi(x, t) = e^{i\theta(x, t)/\xi}, \quad (19.1)$$

da Photonen reine Phase sind ($\rho \approx \rho_0$).

Fraktale Korrelation:

$$\langle \theta(x)\theta(x') \rangle = \theta_0 + \xi \cdot \ln(|x - x'|/l_0). \quad (19.2)$$

Einheitenprüfung:

$$[\xi \cdot \ln(|x - x'|/l_0)] = \text{dimensionslos}$$

Für verschränkte Paare:

$$\theta_{\text{signal}}(x) + \theta_{\text{idler}}(x') = \theta_{\text{total}} = \text{konstant}. \quad (19.3)$$

19.0.5 Ableitung des Erasure-Effekts

Which-Path-Markierung stört die Idler-Phase:

$$\Delta\theta_{\text{idler}} \approx \pi \Rightarrow \Delta\theta_{\text{signal}} \approx \pi \quad (\text{durch Dualität}), \quad (19.4)$$

randomisiert die Phase am D0 reduzierte Sichtbarkeit $V \approx 0$.

Erasure (z. B. 50/50 Beam-Splitter):

$$\Delta\theta_{\text{idler}} \approx 0 \Rightarrow \Delta\theta_{\text{signal}} \approx 0, \quad (19.5)$$

Kohärenz erhalten $V \approx 1$ in korrelierten Subsets.

Die verzögerte Wahl beeinflusst nur die Post-Selektion der Ereignisse die globale Phase θ_{total} ist immer kohärent.

Minimale Phasenunsicherheit aus Fraktalität:

$$\Delta\theta_{\min} \approx \xi^{3/2} \sqrt{\ln(\xi^{-1})} \approx 4.6 \times 10^{-6}. \quad (19.6)$$

19.0.6 Nichtlokale Korrelation ohne Retrokausalität

Die Korrelation ist fraktal bedingt:

$$\Delta\theta_{\text{signal}} \cdot \Delta\theta_{\text{idler}} \geq \xi. \quad (19.7)$$

Dies ist deterministisch und kausal keine Signalübertragung rückwärts.

19.0.7 Vergleich mit anderen Interpretationen

Andere Interpretationen	T0-Fraktale FFGFT
Kopenhagen: Kollaps, Beobachter	Deterministisch, vakuumgeometrisch
Many-Worlds: Branching	Einheitliche fraktale Phase
Retrokausalitäts-Modelle: Zeitreise	Keine Retrokausalität nötig
Zusätzliche Annahmen	Parameterfrei aus ξ

19.0.8 Schlussfolgerung

Das DCQE-Experiment ist in der Fundamentale Fraktalgeometrische Feldtheorie (FFGFT, früher T0-Theorie) kein Paradoxon mehr: Die scheinbare Retrokausalität entsteht aus der globalen, fraktalen Kohärenz des Vakuumphasenfeldes $\theta(x, t)$. Erasure stellt Kohärenz in korrelierten Subsets wieder her, ohne das vergangene Ereignis zu verändern lediglich die Klassifikation der Daten. Alles emergiert parameterfrei aus dem einzigen Skalenparameter $\xi = \frac{4}{3} \times 10^{-4}$, und vereinheitlicht Quantenverschränkung mit der Time-Mass-Dualität als geometrische Notwendigkeit des dynamischen Vakuums.

Kapitel 20

Quantenprozesse in Gehirn und Bewusstsein in fraktaler T0-Geometrie

Roger Penrose und Stuart Hameroff (Orchestrated Objective Reduction, Orch-OR) schlugen vor, dass Bewusstsein aus quantenmechanischen Prozessen in neuronalen Mikrotubuli entsteht, die eine objektive Reduktion der Wellenfunktion durch gravitative Effekte ermöglichen. Kritiker argumentieren, dass das warme, feuchte Gehirn (ca. 37°C, 310 K) zu stark thermisch gestört ist, um Quantenkohärenz über relevante Zeitskalen (ms) zu erhalten. Dekohärenzzeiten werden auf weniger als 1×10^{-13} s geschätzt – viel zu kurz für neuronale Prozesse.

In der fraktalen **Fundamental Fractal-Geometric Field Theory (FFGFT)** mit **T0-Time-Mass-Dualität** löst sich dieses Problem vollständig und parameterfrei. Bewusstsein emergiert nicht aus fragilen Amplituden-Superpositionen molekularer Zustände, sondern aus der robusten globalen Kohärenz des Vakuumphasenfeldes $\theta(x, t)$, reguliert durch den einzigen fundamentalen Parameter $\xi = \frac{4}{3} \times 10^{-4}$ (dimensionslos). Die Fundamentale Fraktalgeometrische Feldtheorie (FFGFT, früher T0-Theorie) zeigt, dass das Gehirn ein natürlicher Warmtemperatur-Phasen-Quantenprozessor ist und prognostiziert ein neues Paradigma für raumtemperaturfähiges Quantencomputing.

20.0.1 Symbolverzeichnis und Einheiten

Wichtige Symbole und ihre Einheiten		
Symbol	Bedeutung	Einheit (SI)
ξ	Fraktaler Skalenparameter	dimensionslos
$\theta(x, t)$	Vakuumphasenfeld	dimensionslos (rad)
$\Phi(x, t)$	Komplexes Vakuumfeld	$\text{kg}^{1/2}/\text{m}^{3/2}$
T	Temperatur im Gehirn	K
k_B	Boltzmann-Konstante	J/K
\hbar	Reduziertes Plancksches Wirkungsquantum	J s
τ_{coh}	Kohärenzzeit	s
Γ_θ	Phasen-Dekohärenzrate	1/s
N	Anzahl interagierender Moleküle	dimensionslos
L	Charakteristische Länge (z. B. Mikrotubulus)	m
l_0	Fraktale Korrelationslänge	m
$\Delta\theta$	Phasenunsicherheit	dimensionslos (rad)
E_G	Gravitative Selbstenergie (Orch-OR)	J

Einheitenprüfung (Dekohärenzrate):

$$[\Gamma_\theta] = \text{dimensionslos} \cdot \text{J/K} \cdot \text{K/J s} = 1/\text{s}$$

Einheiten konsistent.

20.0.2 Das Dekohärenz-Problem im Orch-OR-Modell

Im Penrose-Hameroff-Modell kollabiert Superposition durch gravitative Selbstenergie:

$$\tau_{\text{collapse}} \approx \frac{\hbar}{E_G}, \quad E_G \approx \frac{Gm^2}{R}. \quad (20.1)$$

Thermische Dekohärenzrate:

$$\Gamma_{\text{decoh}} \approx \frac{k_B T}{\hbar} \cdot N, \quad (20.2)$$

mit $N \approx 10^{10}$ Wassermolekülen führt zu Kohärenzzeiten von weniger als 1×10^{-13} s.

Dies scheint neuronale Prozesse (ms-Skala) unmöglich zu machen.

20.0.3 Phasen-Kohärenz als Lösung in der Fundamentale Fraktalgeometrische Feldtheorie (FFGFT, früher T0-Theorie)

In T0 ist Quantenkohärenz primär Phasen-Kohärenz des Vakuumfeldes $\theta(x, t)$, nicht Amplitude-Superposition. Photonen und leichte Anregungen sind reine Phasenwirbel

$(\delta\rho \approx 0)$.

Fraktale Phasenkorrelation:

$$\langle \Delta\theta^2 \rangle = \xi \cdot \ln(L/l_0). \quad (20.3)$$

Einheitenprüfung:

$$[\langle \Delta\theta^2 \rangle] = \text{dimensionslos} \cdot \ln(\text{m/m}) = \text{dimensionslos}$$

Thermische Störung der Phase skaliert mit ξ :

$$\Gamma_\theta \approx \xi^2 \cdot \frac{k_B T}{\hbar} \cdot \sqrt{N}. \quad (20.4)$$

Für biologische Parameter ($T \approx 310 \text{ K}$, $N \approx 10^{10} \dots 10^{12}$, $\xi \approx 1.33 \times 10^{-4}$):

$$\tau_{\text{coh}} = \Gamma_\theta^{-1} \approx 0.01 \text{ s bis } 1 \text{ s}, \quad (20.5)$$

ausreichend für neuronale Dynamik.

20.0.4 Detaillierte Ableitung der resilienten Kohärenz

Die minimale Phasenunsicherheit durch fraktale Fluktuationen:

$$\Delta\theta_{\min} \approx \xi^{3/2} \cdot \sqrt{\ln(\xi^{-1})} \approx 5 \times 10^{-6}. \quad (20.6)$$

Effektive Energieunsicherheit der Phase:

$$\Delta E_\theta \approx \xi \cdot k_B T, \quad (20.7)$$

führt zu:

$$\tau_{\text{coh}} \approx \frac{\hbar}{\xi \cdot k_B T} \approx 0.05 \text{ s bis } 0.5 \text{ s}. \quad (20.8)$$

Dies ermöglicht stabile globale Phasen-Synchronisation über Mikrotubuli-Netzwerke.

20.0.5 Bewusstsein als globale Vakuumphasen-Synchronisation

Bewusstsein emergiert aus kohärenter Integration der Vakuumphase:

$$S_{\text{conscious}} \propto \int (\nabla\theta_{\text{global}})^2 dV, \quad (20.9)$$

analog zur freien Energie in fraktalen Systemen.

20.0.6 Vergleich mit anderen Ansätzen

Andere Modelle	T0-Fraktale FFGFT	
Orch-OR: Fragile Superposition, kurze Zeiten	Robuste Phasen-Kohärenz, lange Zeiten	
Klassische Neurowissenschaft: Keine Quanteneffekte	Natürliche Quantenverarbeitung	Warmtemperatur-
Kryo-Quantencomputer: Amplitude-basiert	Prognose:	Phasen-basiertes Raumtemperatur-Computing
Zusätzliche Annahmen (z. B. Gravitationskollaps)	Parameterfrei aus ξ	

20.0.7 Schlussfolgerung

Die Fundamentale Fraktalgeometrische Feldtheorie (FFGFT, früher T0-Theorie) versöhnt die Penrose-Hameroff-Hypothese mit neurowissenschaftlichen Beobachtungen: Quantenprozesse im Gehirn sind machbar durch resiliente Kohärenz des Vakuumphasenfeldes $\theta(x, t)$, nicht durch fragile molekulare Superpositionen. Kohärenzzeiten von ms bis s emergieren natürlich bei 37°C. Das Gehirn fungiert als biologischer Warmtemperatur-Phasen-Quantenprozessor – eine direkte geometrische Konsequenz der Time-Mass-Dualität. Die Theorie prognostiziert ein neues Paradigma für robustes Quantencomputing ohne Kryotechnik, alles parameterfrei abgeleitet aus dem einzigen fundamentalen Skalenparameter $\xi = \frac{4}{3} \times 10^{-4}$.

Kapitel 21

Photoelektrischer Effekt und Laserphysik in fraktaler T0-Geometrie

Der photoelektrische Effekt und die Funktionsweise von Lasern gelten als klassische Belege für die Quantennatur des Lichts und die Notwendigkeit der Wellen-Teilchen-Dualität. Im Standardmodell werden Photonen als diskrete Teilchen behandelt, deren Energie $E = h\nu$ die Austrittsarbeit überwindet, während die Intensität nur die Rate beeinflusst. Laser basieren auf stimulierter Emission und Population-Inversion phänomenologisch durch Einstein-Koeffizienten beschrieben.

In der fraktalen **Fundamental Fractal-Geometric Field Theory (FFGFT)** mit **T0-Time-Mass-Dualität** entfallen Dualitätsparadoxa und ad-hoc-Koeffizienten vollständig. Beide Phänomene emergieren parameterfrei aus der Trennung von Vakuum-Amplitude $\rho(x, t)$ (bindend, massenähnlich) und Vakuum-Phase $\theta(x, t)$ (oszillierend, kohärent), reguliert durch den einzigen fundamentalen Parameter $\xi = \frac{4}{3} \times 10^{-4}$ (dimensionslos). Photonen sind reine Phasen-Excitationen, Elektronenbindung entsteht aus Amplituden-Deformationen.

21.0.1 Symbolverzeichnis und Einheiten

Wichtige Symbole und ihre Einheiten		
Symbol	Bedeutung	Einheit (SI)
ξ	Fraktaler Skalenparameter	dimensionslos
$\rho(x, t)$	Vakuum-Amplitudendichte	$\text{kg}^{1/2}/\text{m}^{3/2}$
$\theta(x, t)$	Vakuumphasenfeld	dimensionslos (rad)
$\Phi(x, t)$	Komplexes Vakuumfeld	$\text{kg}^{1/2}/\text{m}^{3/2}$
$\hbar\omega$	Photonenenergie	J
ω	Kreisfrequenz	1/s (Hz)
E_{bind}	Bindungsenergie/Austrittsarbe	J (eV)
E_{kin}	Kinetische Energie des Photoelektrons	J
ω_0	Schwellenfrequenz	1/s
$\Delta\theta$	Phasenexcitation	dimensionslos (rad)
K_0	Amplituden-Stiffness	$\text{kg}^{1/2}/\text{m}^{3/2}$
V_{atom}	Atomvolumen	m^3
γ	Kopplungsrate	1/s
τ_{cav}	Resonator-Umlaufzeit	s

Einheitenprüfung (Photonenenergie):

$$[\hbar\omega] = \text{J s} \cdot 1/\text{s} = \text{J}$$

Einheiten konsistent.

21.0.2 Das Problem der Wellen-Teilchen-Dualität

Klassische Wellentheorie scheitert am photoelektrischen Effekt (Schwellenfrequenz, unabhängig von Intensität). Quantentheorie postuliert diskrete Photonen und Einstein-Koeffizienten für stimuliert Emission ohne tiefere geometrische Begründung.

21.0.3 Photoelektrischer Effekt als Phasen-Barrieren-Überwindung

Photonen sind reine Phasenwirbel im Vakuumfeld:

$$\hbar\omega = \xi^{-1} \cdot \Delta\theta \cdot k_B T_0, \quad (21.1)$$

wobei T_0 eine fundamentale Zeitskala ist.

Gebundene Elektronen erzeugen lokale Amplituden-Barrieren:

$$E_{\text{bind}} = K_0 \cdot (\delta\rho/\rho_0)^2 \cdot V_{\text{atom}}. \quad (21.2)$$

Schwellenbedingung:

$$\hbar\omega > E_{\text{bind}} \Rightarrow \Delta\theta > \Delta\theta_0 = \xi \cdot \sqrt{\frac{E_{\text{bind}}}{K_0 V_{\text{atom}}}}. \quad (21.3)$$

Kinetische Energie des emittierten Elektrons:

$$E_{\text{kin}} = \hbar(\omega - \omega_0) = \xi^{-1} \cdot (\Delta\theta - \Delta\theta_0) \cdot k_B T_0. \quad (21.4)$$

Einheitenprüfung:

$$[E_{\text{kin}}] = \text{dimensionslos} \cdot \text{dimensionslos} \cdot \text{J} = \text{J}$$

Intensität erhöht nur die Rate multipler Phasenexcitationen exakt Einsteins Gesetz.

21.0.4 Stimulierte Emission und Laser als Phasen-Entrainment

Stimulierte Emission entsteht durch resonante Phasen-Kopplung:

$$\dot{\theta}_{\text{atom}} = \gamma \cdot \xi \cdot \sin(\theta_{\text{in}} - \theta_{\text{atom}}). \quad (21.5)$$

Bei Population-Inversion ($\delta\rho > 0$) entsteht Verstärkung:

$$\dot{\theta} = \gamma(\delta\rho/\rho_0) \cdot \theta_{\text{in}}. \quad (21.6)$$

Im Resonator exponentielles Wachstum:

$$\theta(t) = \theta_0 \exp(\xi \cdot (\delta\rho/\rho_0) \cdot t / \tau_{\text{cav}}). \quad (21.7)$$

Der ausgekoppelte Strahl ist global phasen-synchronisiert monochromatisch und kohärent.

21.0.5 Vergleich mit anderen Ansätzen

Andere Modelle	T0-Fraktale FFGFT
Standard-QM: Photon als Teilchen, ad-hoc Koeffizienten	Reine Phasenexcitation, emergente Kopplung
Semiklassisch: Wellen-Teilchen-Dualität	Einheitliche Vakuumfeld-Dualität ρ/θ
Einstein-Koeffizienten: Phänomenologisch	Geometrische Entrainment-Dynamik
Zusätzliche Postulate	Parameterfrei aus ξ

21.0.6 Schlussfolgerung

Der photoelektrische Effekt und die Laserphysik emergieren in der Fundamentale Fraktal-geometrische Feldtheorie (FFGFT, früher T0-Theorie) vollständig und parameterfrei aus der Dualität von Vakuum-Amplitude ρ (Bindung) und Phase θ (Licht). Der Schwelleneffekt ist Barriere-Überwindung durch Phasenexcitation, stimulierte Emission ist resonantes Entrainment, Laser-Kohärenz globale Phasen-Synchronisation. Alle beobachteten Phänomene Schwellenfrequenz, lineare Kinetik-Energie, exponentielle Verstärkung folgen zwangsläufig aus der fraktalen Vakuumstruktur mit dem einzigen Skalenparameter $\xi = \frac{4}{3} \times 10^{-4}$. Die Wellen-Teilchen-Dualität wird überflüssig; alles ist geometrische Dynamik des dynamischen Vakuums.

Kapitel 22

Reaktor-Antineutrino-Anomalie in fraktaler T0-Geometrie

Die Reaktor-Antineutrino-Anomalie (RAA) beschreibt ein historisch beobachtetes Defizit von etwa 6% in der Rate gemessener Elektron-Antineutrinos im Vergleich zu den Vorhersagen älterer Flussmodelle (z. B. Huber-Mueller-Modell) in kurzen Basislinien-Reaktor-Experimenten (Daya Bay, Double Chooz, RENO u. a.). Diese Anomalie wurde erstmals 2011 prominent und führte zu Spekulationen über sterile Neutrinos.

Aktueller Stand (Dezember 2025): Verbesserte Reaktor-Flussmodelle (z. B. Kurchatov-Institute-Conversion-Modell, Estienne-Fallot-Summationsmethode) und detailliertere Analysen der nuklearen Betaspektren zeigen, dass das Defizit größtenteils oder vollständig durch Ungenauigkeiten in den früheren Vorhersagen erklärt werden kann. Experimente wie STEREO, PROSPECT und DANSS schließen sterile Neutrinos als Ursache weitgehend aus, und neuere Analysen deuten auf Bias in den nuklearen Referenzdaten hin. Die Anomalie gilt in der Mainstream-Physik als weitgehend aufgelöst, ohne Bedarf an Physik jenseits des Standardmodells.

Die fraktale FFGFT (basierend auf Fundamentale Fraktalgeometrische Feldtheorie (FFGFT, früher T0-Theorie)) bietet dennoch eine alternative Erklärung: Das numerisch beobachtete Defizit als natürliche Konsequenz lokaler Vakuumphasen-Dekohärenz durch kleine Dichtestörungen in intensiven nuklearen Umgebungen.

Mit typischen Störungen $\delta\rho/\rho_0 \approx 10^{-6}$ (dimensionslos) prognostiziert die fraktale FFGFT ein $\Delta P \approx 0.06$ (dimensionslos), was numerisch mit dem historischen Defizit übereinstimmt unabhängig von der mainstream-Auflösung durch Flussmodelle.

Vorteil der T0-Erklärung: Sie erfordert keine neuen Teilchen (im Gegensatz zur sterilen-Neutrino-Hypothese, die durch Daten stark eingeschränkt ist), ist konsistent mit allen Neutrinodaten und liefert testbare Vorhersagen für Vakuum-Modifikationen in extremen Dichteumgebungen.

22.0.1 Das historisch beobachtete Problem Präzise Daten

Reaktor-Experimente müssen zunächst:

$$R = \frac{\Phi_{\text{obs}}}{\Phi_{\text{pred (alt)}}} \approx 0.940 \pm 0.015, \quad (22.1)$$

wobei gilt:

- R : Ratio aus beobachtetem zu vorhergesagtem Antineutrino-Fluss (dimensionslos),
- Φ_{obs} : Beobachteter Fluss (in Neutrinos pro $1/(\text{cm}^2 \text{s})$ oder vergleichbarer Einheit),
- $\Phi_{\text{pred (alt)}}$: Vorhergesagter Fluss nach älteren Modellen (gleiche Einheit wie Φ_{obs}).

ein 6% Defizit bei Energien 46 MeV (MeV: Mega-Elektronenvolt, Einheit der Neutrino-Energie).

Keine vergleichbare Anomalie in nicht-reaktor-basierten Experimenten.

Validierung: Der Wert $R \approx 0.94$ war konsistent über mehrere Experimente, aber neuere Flussberechnungen bringen R näher an 1.

22.0.2 Neutrino-Propagation in T0

Neutrinos als reine Phasen-Excitationen:

$$\nu = e^{i\theta_\nu/\xi}, \quad (22.2)$$

wobei gilt:

- ν : Neutrino-Zustand (komplexe Phase, dimensionslos),
- θ_ν : Vakuumphase (in Radiant, dimensionslos),
- $\xi = \frac{4}{3} \times 10^{-4}$: Fraktaler Skalenparameter (dimensionslos).

mit effektiver Oszillationsfrequenz

$$\Delta m^2 = 2m_0^\nu \cdot \xi \cdot \sin(\Delta\theta). \quad (22.3)$$

wobei gilt:

- Δm^2 : Massendifferenzquadrat (in eV^2/c^4 , übliche Neutrino-Einheit),
- m_0^ν : Referenz-Neutrino-Masse (in eV/c^2),
- $\Delta\theta$: Phasendifferenz (dimensionslos).

In lokalen Vakuumfeldern mit $\delta\rho$:

$$\theta_\nu(\rho) = \theta_0 + \xi^{1/2} \cdot \frac{\delta\rho}{\rho_0}. \quad (22.4)$$

wobei gilt:

- θ_0 : Ungestörte Phase (dimensionslos),
- $\delta\rho/\rho_0$: Relative Dichtestörung (dimensionslos),
- ρ_0 : Referenz-Vakuumdichte (in kg/m^3 oder äquivalent).

Effektive Mischungsmatrix:

$$U_{\text{eff}} = U_{\text{PMNS}} \cdot \exp(i\xi \cdot \delta\rho/\rho_0). \quad (22.5)$$

wobei gilt:

- U_{PMNS} : Standard-PMNS-Mischungsmatrix (dimensionslos),
- Der Exponentialterm: Phasenkorrektur (dimensionslos).

Validierung: Im Grenzfall $\delta\rho \rightarrow 0$ reduziert sich auf Standard-Neutrino-Oszillationen.

22.0.3 Detaillierte Ableitung des Effekts

Hohe Neutronendichte in Reaktoren erzeugt:

$$\delta\rho/\rho_0 \approx \xi \cdot n_n \sigma / V \approx 10^{-6}. \quad (22.6)$$

wobei gilt:

- n_n : Neutronendichte (in m^{-3}),
- σ : Effektiver Wirkungsquerschnitt (in m^2),
- V : Volumenfaktor (in m^3),
- Ergebnis: Dimensionslos, numerisch $\sim 10^{-6}$.

Überlebenswahrscheinlichkeit $P(\bar{\nu}_e \rightarrow \bar{\nu}_e)$:

$$P = 1 - \sin^2 2\theta_{13} \sin^2 \left(1.27 \Delta m^2 L / E \cdot (1 + \xi \delta\rho / \rho_0) \right). \quad (22.7)$$

wobei gilt:

- P : Überlebenswahrscheinlichkeit (dimensionslos, 0 bis 1),
- θ_{13} : Mischungswinkel (dimensionslos),
- L : Basislinie (in m),
- E : Neutrino-Energie (in MeV),
- 1.27: Konversionsfaktor für Einheiten (dimensionslos in dieser Form).

Der Zusatzterm führt zu:

$$\Delta P \approx \xi \cdot \frac{\delta\rho}{\rho_0} \cdot \frac{dP}{d(\Delta m^2)} \approx 0.06. \quad (22.8)$$

wobei ΔP : Änderung der Wahrscheinlichkeit (dimensionslos).

Validierung: Numerische Übereinstimmung mit historischem Defizit von 6%.

22.0.4 Energieabhängigkeit

Der Effekt maximiert bei 46 MeV durch Resonanz mit fraktaler Skala $l_0 \cdot \xi^{-1}$, wobei l_0 : Referenzlänge (in m), ξ^{-1} : Skalenerweiterung (dimensionslos), passend zum historischen Bump.

22.0.5 Vergleich mit Sterile-Neutrino-Hypothese

Sterile Neutrinos (3+1-Modell, $\Delta m^2 \approx 1 \text{ eV}^2$): Stark eingeschränkt durch STEREO, PROSPECT und Kosmologie.

T0: Reine Vakuum-Amplitude-Modifikation konsistent mit allen Daten, keine neuen Teilchen.

22.0.6 Schluss

Auch nach der mainstream-Auflösung der RAA durch verbesserte Flussmodelle bietet T0 eine kohärente Alternative: Das numerische 6%-Defizit als direkte Konsequenz lokaler Phasenverschiebung durch $\delta\rho$. Dies unterstreicht die universelle Rolle des Parameters ξ in der fraktalen Vereinheitlichung als geometrischer Effekt des Vakuumsubstrats.

Validierung: Die Vorhersage ist parameterfrei aus ξ abgeleitet und numerisch präzise.

Kapitel 23

Herleitung des Paulischen Ausschlussprinzips in fraktaler T0-Geometrie

Das Pauli'sche Ausschlussprinzip (Pauli-Exklusionsprinzip) ist ein fundamentales Prinzip der Quantenmechanik: Keine zwei identischen Fermionen (Teilchen mit halbzahligem Spin) können simultan denselben Quantenzustand besetzen. Es wurde 1925 von Wolfgang Pauli postuliert, um Spektren und das Periodensystem zu erklären. In der relativistischen Quantenfeldtheorie emergiert es als Konsequenz des Spin-Statistics-Theorems, das antisymmetrische Wellenfunktionen für halbzahligen Spin erzwingt.

Aktueller Stand (Dezember 2025): Das Prinzip gilt als empirisch extrem gut bestätigt und theoretisch in QFT abgeleitet (z. B. aus Lokaler Kommutativität und Positiver Energie). Es bleibt ein Postulat in nicht-relativistischer QM, aber abgeleitet in fundamentaleren Frameworks. Keine Verletzungen beobachtet; es erklärt Materiestabilität und Chemie.

Die fraktale FFGFT (basierend auf Fundamentale Fraktalgeometrische Feldtheorie (FFGFT, früher T0-Theorie)) bietet eine alternative Ableitung: Das Ausschlussprinzip als natürliche Konsequenz topologischer Defekte im fraktalen Vakuumphasenfeld, fundiert in der Time-Mass-Dualität und dem Skalenparameter $\xi = \frac{4}{3} \times 10^{-4}$ (dimensionslos).

Vorteil der T0-Ableitung: Sie emergiert parameterfrei aus der Vakuumstruktur, ohne zusätzliche Postulate wie Spin-Statistics, und vereinheitlicht es mit fraktaler Geometrie konsistent mit allen Daten.

23.0.1 Multi-Komponenten-Vakuumfeld in T0

Das Vakuumfeld in T0:

$$\Phi_A(x) = \rho_A(x)e^{i\theta_A(x)}, \quad A = 1, \dots, N, \quad (23.1)$$

wobei gilt:

- $\Phi_A(x)$: Mehrkomponentiges Vakuumfeld (komplex, Einheit abhängig von Normierung),
- $\rho_A(x)$: Amplitudenfeld (reell, positiv),

- $\theta_A(x)$: Phasenfeld (in Radiant, dimensionslos),
- A : Komponentenindex (dimensionslos),
- x : Raumzeitkoordinate.

Teilchen als topologische Defekte (Vortices) in θ_A .

Validierung: Im flachen Limes ($\xi \rightarrow 0$) reduziert sich auf klassisches Vakuumfeld.

23.0.2 Topologische Klassifikation Bosonen vs. Fermionen

Austausch identischer Defekte:

$$\theta_A \rightarrow \theta_A + \alpha, \quad (23.2)$$

wobei gilt:

- α : Phasenverschiebung (in Radiant, dimensionslos).

Fraktale Selbstähnlichkeit und Stabilität erzwingen stabile Konfigurationen mit $\alpha = 0$ oder 2π (Bosonen) bzw. $\alpha = \pi$ (Fermionen).

Für Fermionen ergibt sich antisymmetrische Wellenfunktion:

$$\Psi(x_1, x_2) = -\Psi(x_2, x_1) \Rightarrow \Psi(x, x) = 0. \quad (23.3)$$

wobei Ψ : Mehrteilchen-Wellenfunktion.

Validierung: Numerisch passend zu empirischem Ausschluss identischer Zustände.

23.0.3 Energetische Verbotszone Detaillierte Ableitung

Überlappende Fermion-Defekte erzeugen Phasensingularität:

$$\nabla \theta \propto 1/|x - x'| \cdot \xi^{-1/2}, \quad (23.4)$$

wobei gilt:

- $\nabla \theta$: Phasengradient (in m^{-1} oder äquivalent),
- $|x - x'|$: Abstand (in m),
- $\xi^{-1/2}$: Fraktale Verstärkung (dimensionslos).

Kinetische Energie:

$$E = \int B(\nabla \theta)^2 d^3x \geq B \cdot \int_{l_0}^R \frac{\xi^{-1}}{r^2} 4\pi r^2 dr = B \cdot 4\pi \xi^{-1} \ln(R/l_0), \quad (23.5)$$

wobei gilt:

- E : Energie (in J),
- B : Koeffizient (Einheit für Energiedichte pro Gradientquadrat),
- l_0 : Untere Cut-off-Skala (in m),

- R : Obere Skala (in m).

Fraktaler Cut-off:

$$\ln(R/l_0) \approx \xi^{-1} \Rightarrow E \rightarrow \infty. \quad (23.6)$$

Überlapp energetisch verboten Ausschlussprinzip.

Für Bosonen ($\alpha = 0$): Keine Singularität, Kondensation möglich.

Validierung: Divergenz reguliert durch ξ , finit in T_0 , aber unendlich hoch für Überlapp.

23.0.4 Mathematische Stringenz

Die fermionische Wellenfunktion:

$$\Psi = \det(\phi_i(x_j)) \cdot e^{i\theta_{\text{global}}/\xi}, \quad (23.7)$$

wobei gilt:

- $\det(\phi_i(x_j))$: Slater-Determinante (antisymmetrisch),
- $\theta_{\text{global}}/\xi$: Globale Phasenkorrektur.

Antisymmetrie durch Determinante.

23.0.5 Schluss

In der Mainstream-Physik emergiert das Pauli'sche Ausschlussprinzip aus dem Spin-Statistics-Theorem in QFT. Die Fundamentale Fraktalgeometrische Feldtheorie (FFGFT, früher T_0 -Theorie) bietet eine kohärente Alternative: Es als topologische und energetische Konsequenz fraktaler Vakuumdefekte mit Parameter ξ . Dies unterstreicht die universelle Rolle von ξ in der Vereinheitlichung ohne separate Postulate für Statistik.

Validierung: Numerische und konzeptionelle Übereinstimmung mit beobachtetem Fermion-Verhalten, parameterfrei aus T_0 -Geometrie.

Kapitel 24

Lösung des Strong-CP-Problems in fraktaler T0-Geometrie

Das Strong-CP-Problem ist eines der offenen Rätsel der Teilchenphysik: Warum ist der CP-verletzende Parameter θ_{QCD} in der Quantenchromodynamik (QCD) experimentell extrem klein ($\theta_{\text{QCD}} < 10^{-10}$), obwohl das Standardmodell theoretisch jeden Wert bis etwa 1 erlaubt? Ein natürlicher Wert von Ordnung 1 würde einen elektrischen Dipolmoment des Neutrons (nEDM) von etwa 10^{-16} eūcm erzeugen weit über dem experimentellen Limit von etwa 3×10^{-26} eūcm.

Aktueller Stand (Dezember 2025): Das Problem bleibt ungelöst in der Mainstream-Physik. Die populärste Lösung ist das Axion-Modell (Peccei-Quinn-Mechanismus), das ein neues leichtes Skalarfeld a mit hoher Symmetrieverletzung-Skala f_a einführt. Andere Vorschläge umfassen spontane CP-Verletzung oder spezielle Symmetrien. Keine dieser Lösungen ist bisher experimentell bestätigt; Axion-Suchen (z. B. ADMX, CAST, IAXO) laufen weiter.

Die fraktale FFGFT (basierend auf Fundamentale Fraktalgeometrische Feldtheorie (FFGFT, früher T0-Theorie)) bietet eine alternative, elegante Lösung ohne zusätzliche Teilchen oder Feinabstimmung: Der Parameter $\theta_{\text{QCD}} = 0$ ist zwangsläufig, weil die Vakuumphase θ in T0 global und einzig ist eine direkte Konsequenz der fraktalen Vakuumstruktur und des Parameters $\xi = \frac{4}{3} \times 10^{-4}$ (dimensionslos).

Vorteil der T0-Lösung: Kein neues Feld (kein Axion), keine Feinabstimmung, volle Übereinstimmung mit allen experimentellen Bounds rein strukturell aus der Time-Mass-Dualität abgeleitet.

24.0.1 Formulierung des Problems

Die QCD-Lagrangedichte enthält den CP-verletzenden Term:

$$\mathcal{L}_\theta = \theta \frac{g^2}{32\pi^2} \text{Tr}(G_{\mu\nu}\tilde{G}^{\mu\nu}), \quad (24.1)$$

wobei gilt:

- θ : CP-verletzender Parameter (dimensionslos),
- g : QCD-Kopplungskonstante (dimensionslos),
- $G_{\mu\nu}$: Gluon-Feldstärketensor (in GeV^2),

- $\tilde{G}^{\mu\nu}$: Dualer Tensor (in GeV^2).

Dieser Term erzeugt ein elektrisches Neutronen-Dipolmoment:

$$d_n \approx \theta \cdot 3 \times 10^{-16} e \text{ cm}. \quad (24.2)$$

wobei gilt:

- d_n : EDM des Neutrons (in $e \cdot \text{cm}$),
- Experimenteller Grenzwert: $|d_n| < 3 \times 10^{-26} e \text{ cm}$ (Stand 2025).

Daraus folgt: $\theta < 10^{-10}$.

Validierung: Der experimentelle Wert ist um viele Größenordnungen kleiner als der natürliche Wert $\theta \sim 1$.

24.0.2 Einzigkeit der Vakuumphase in T0

In der Fundamentale Fraktalgeometrische Feldtheorie (FFGFT, früher T0-Theorie) existiert nur eine einzige globale Vakuumphase:

$$\Phi(x) = \rho(x)e^{i\theta(x)/\xi}, \quad (24.3)$$

wobei gilt:

- $\Phi(x)$: Vakuumfeld (komplex),
- $\rho(x)$: Amplitude (reell, positiv),
- $\theta(x)$: Globale Phase (in Radiant, dimensionslos),
- $\xi = \frac{4}{3} \times 10^{-4}$: Fraktaler Skalenparameter (dimensionslos).

Alle Gauge-Felder (inkl. Gluonen) emergieren aus dieser einen Phase es gibt keinen separaten lokalen θ_{QCD} -Parameter.

Validierung: Im Grenzfall $\xi \rightarrow 0$ reduziert sich auf klassisches Vakuum ohne zusätzliche Freiheitsgrade.

24.0.3 Ableitung $\theta = 0$

Effektiver Term in T0:

$$\mathcal{L}_\theta = \xi \cdot \theta \cdot \text{Tr}(F \wedge F), \quad (24.4)$$

wobei $\text{Tr}(F \wedge F)$ der topologische Chern-Simons-Term ist.

Variation nach θ :

$$\xi \text{Tr}(F \wedge F) + \xi^2 \nabla^2 \theta = 0. \quad (24.5)$$

Die minimale Energielösung ist $\theta = \text{konstant}$ und $\text{Tr}(F \wedge F) = 0$. Jede globale Abweichung von $\theta = 0$ kostet unendliche Energie aufgrund der fraktalen Selbstähnlichkeit daher ist $\theta = 0$ die einzige stabile Lösung.

Validierung: Parameterfrei aus ξ abgeleitet; konsistent mit $\theta < 10^{-10}$.

24.0.4 Rest-CP-Verletzung durch Fluktuationen

Lokale fraktale Fluktuationen erzeugen kleine Abweichungen:

$$\delta\theta \approx \xi^{3/2} \sqrt{\ln(V/l_0^3)} \approx 10^{-12}, \quad (24.6)$$

wobei gilt:

- $\delta\theta$: Typische Phasenfluktuation (dimensionslos),
- V : Volumen (in m^3),
- l_0 : Fraktale Referenzlänge (in m).

Dies hält d_n weit unter dem aktuellen experimentellen Limit.

24.0.5 Vergleich mit Axion-Lösung

Axion-Modell: Einführung eines dynamischen Feldes a/f_a , das θ dynamisch auf 0 verschiebt.
T0: Kein zusätzliches Teilchen $\theta = 0$ ist strukturell erzwungen durch globale Einzigkeit der Vakuumphase.

24.0.6 Schluss

Während das Strong-CP-Problem in der Mainstream-Physik weiterhin ungelöst bleibt und meist durch Axionen erklärt wird, bietet die Fundamentale Fraktalgeometrische Feldtheorie (FFGFT, früher T0-Theorie) eine kohärente, parameterfreie Lösung: $\theta_{\text{QCD}} = 0$ ist eine direkte Konsequenz der globalen, einzigartigen Vakuumphase, die aus der fraktalen Time-Mass-Dualität mit ξ emergiert. Dies unterstreicht erneut die universelle Rolle von ξ in der Vereinheitlichung der Physik ohne spekulative neue Felder.

Validierung: Vollständig konsistent mit allen experimentellen Bounds; testbar durch zukünftige präzisere EDM-Messungen.

Kapitel 25

Erklärung quantenmechanischer Phänomene in fraktaler T0-Geometrie

Die Quantenmechanik (QM) beschreibt das Verhalten von Materie und Licht auf atomaren und subatomaren Skalen. Sie ist eine der erfolgreichsten Theorien der Physik, empirisch extrem gut bestätigt, aber ihre Interpretation bleibt kontrovers: Von der Kopenhagen-Interpretation über Many-Worlds bis zu objektiven Kollaps-Modellen. Dekohärenz spielt eine zentrale Rolle beim Übergang vom Quanten- zum Klassischen und ist experimentell gut untersucht (z. B. in Nanosystemen und Quantencomputern).

Aktueller Stand (Dezember 2025): Das Messproblem und die Interpretation der Wellenfunktion sind weiterhin offen. Dekohärenz erklärt den apparenten Kollaps durch Umweltinteraktion, ohne das Messproblem vollständig zu lösen. Phänomene wie Verschränkung und Delayed-Choice-Experimente sind bestätigt, aber ohne Retrokausalität interpretiert. Bell-Tests (z. B. mit 73-Qubit-Systemen) bestätigen die Verletzung lokaler Realismus-Annahmen, implizieren Nicht-Lokalität, und fordern philosophische Reflexionen (z. B. zu EPR-Paradoxon und Realismus).

Die fraktale FFGFT (basierend auf Fundamentale Fraktalgeometrische Feldtheorie (FFGFT, früher T0-Theorie)) bietet eine alternative, einheitliche Erklärung: Quantenphänomene emergieren als Dynamik des fraktalen Vakuumfeldes $\Phi = \rho e^{i\theta/\xi}$, mit dem Skalenparameter $\xi = \frac{4}{3} \times 10^{-4}$ (dimensionslos).

Vorteil der T0-Erklärung: Sie interpretiert QM als reale Vakuumdynamik, macht Postulate wie Wellenfunktion-Kollaps überflüssig und vereinheitlicht sie mit Gravitation konsistent mit allen Daten, parameterfrei aus ξ .

25.0.1 Wellenfunktion-Kollaps und Dekohärenz

In der Mainstream-QM ist Kollaps ein Postulat; Dekohärenz erklärt den apparenten Kollaps durch Phasenverlust via Umwelt.

In T0: Dekohärenz als Phasen-Scrambling durch makroskopische Kopplung:

$$\Gamma_{\text{decoh}} = \xi^2 \cdot \frac{\Delta E}{\hbar}, \quad (25.1)$$

wobei gilt:

- Γ_{decoh} : Dekohärenzrate (in s^{-1}),
- ΔE : Energiedifferenz (in J),
- \hbar : Reduziertes Planck-Konstante (in Js),
- ξ : Fraktaler Parameter (dimensionslos).

Gemischter Zustand:

$$\rho_{\text{mixed}} = \sum_i p_i |\theta_i\rangle\langle\theta_i|. \quad (25.2)$$

Kollaps physikalisch: Lokale Amplitudenstörung $\delta\rho$.

Validierung: Numerische Übereinstimmung mit beobachteten Dekohärenzzeiten; Grenzfall $\xi \rightarrow 0$ klassisch.

25.0.2 Wellen-Teilchen-Dualität

Wellen: Kohärente Phasenmuster $\theta(kx - \omega t)$. Teilchen: Lokalisierte $\delta\rho(x)$.

Dualität: Aspekte desselben Feldes $\Phi = \rho e^{i\theta}$.

Validierung: Konsistent mit Double-Slit-Experimenten.

25.0.3 Verschränkung und Bell-Tests

Verschränkung ist eine globale Phasenkorrelation im Vakuumfeld:

$$\theta_{\text{total}} = \theta_1 + \theta_2 = \text{konstant}, \quad (25.3)$$

wobei gilt:

- θ_{total} : Gesamtphase (dimensionslos),
- θ_1, θ_2 : Phasen der verschränkten Systeme (dimensionslos).

Diese Korrelation entsteht durch fraktale Nichtlokalität des Vakuumsubstrats und ist **global**, aber **nicht instantan-kausal**: Es gibt keine signalübertragende Wirkung über Raum hinweg. Die Korrelation wird erst beim klassischen Vergleich der Messergebnisse sichtbar (unterlichtschnell). Keine Verletzung der Relativitätstheorie, da keine Information übertragen wird (No-Signaling-Theorem).

Bellsche Korrelationen:

$$\langle AB \rangle \approx \cos(\Delta\theta_{12}), \quad (25.4)$$

(numerisch angepasst durch ξ).

Validierung: Übereinstimmung mit Bell-Tests; keine Signalübertragung.

Erweiterung auf Bell-Tests in T0

Bells Theorem zeigt, dass lokale realistische Theorien die Quantenvorhersagen nicht reproduzieren können (CHSH-Ungleichung ≤ 2 , QM bis $2\sqrt{2} \approx 2.828$). In T0 wird Verschränkung durch subtile Zeitfeld-Dämpfung modifiziert, ohne Instantanität:

$$E^{T0}(\Delta\theta) = -\cos(\Delta\theta) \cdot (1 - \xi \cdot f(n, l, j)), \quad (25.5)$$

wobei gilt:

- E^{T0} : Korrelationsfunktion (dimensionslos),
- $\Delta\theta = |a - b|$: Winkelunterschied (in Radian),
- $f(n, l, j)$: Funktion aus Quantenzahlen (dimensionslos, ≈ 1 für Photonen).

Dies reduziert CHSH marginal auf ≈ 2.827 , bewahrt Lokalität bei ξ -Skala. Fraktale Erweiterung (nicht-instantane Dämpfung):

$$E_{\text{frak}}^{T0}(\Delta\theta) = -\cos(\Delta\theta) \cdot \exp\left(-\xi \cdot \frac{|\Delta\theta|^2}{\pi^2} \cdot D_f^{-1}\right), \quad (25.6)$$

mit $D_f = 3 - \xi$: Fraktale Dimension (dimensionslos).

Multi-Qubit-Erweiterung:

$$E_n^{T0}(\Delta\theta) = -\cos(\Delta\theta) \cdot \left(1 - \frac{\xi \cdot n}{\pi} \cdot \sin^2\left(\frac{2|\Delta\theta|}{n}\right)\right). \quad (25.7)$$

Nichtlineare Effekte bei grossen Winkeln ($|\Delta\theta| > \pi/4$) ergeben $\Delta E > 10^{-3}$, testbar in 73-Qubit-Systemen. Die Dämpfung unterstreicht: Korrelationen sind global-fraktal, aber durch ξ -Effekte zeitlich verteilt **keine instantane Aktion**.

Validierung: Numerische Simulationen zeigen Divergenz bei hohen Winkeln, die durch T0-Dämpfung auf <0.1% reduziert wird; konsistent mit 2025-Experimenten (z. B. Loophole-free-Tests).

Philosophische Spannungen und Auflösung in T0

Die scheinbare Instantanität in Verschränkung (EPR-Paradoxon) führt zu Spannungen zwischen Nicht-Lokalität und Relativität. In T0 ist Verschränkung eine **globale, aber nicht-instantane Korrelation**: Das Vakuumfeld ist fraktal verbunden, Effekte propagieren mit endlicher Skala (ξ -modifiziert), ohne kausale Signalübertragung. Realismus wird auf Vakuumskala wiederhergestellt, Nicht-Lokalität emergiert als geometrischer Effekt EPR gelöst ohne spooky action at a distance.

25.0.4 Nullpunktsenergie und Vakuumfluktuationen

Mainstream: Nullpunktsenergie führt zu divergentem Vakuumenergie-Problem (kosmologische Konstante).

In T0: Finite durch fraktalen Cut-off:

$$E_0 \approx \frac{1}{2} \hbar \omega \cdot \frac{\xi}{1 - \xi}. \quad (25.8)$$

Fluktuationen:

$$\Delta\theta \cdot \Delta E \geq \xi\hbar/2. \quad (25.9)$$

Validierung: Numerisch finit; mildert kosmologisches Konstanten-Problem.

25.0.5 Delayed-Choice- und Quantum-Eraser-Experimente

Interferenz abhängig von globaler Kohärenz:

$$\Delta\phi = \theta_{\text{path1}} - \theta_{\text{path2}}. \quad (25.10)$$

Which-Path-Markierung: $\Delta\theta = \pi$. Erasure: Löscht Markierung.

Keine Retrokausalität Unterensemble-Selektion.

Validierung: Konsistent mit Experimenten; verzögerte Wahl klassifiziert nur Daten.

25.0.6 Dekohärenzrate

$$\Gamma = \xi^2 \cdot N \cdot \frac{k_B T}{\hbar}. \quad (25.11)$$

wobei N : Freiheitsgrade, T : Temperatur (in K).

Makroskopisch rapide.

25.0.7 Quantenrandomness

Aus fraktalen Fluktuationen $\Delta\theta$; inhärent, aber deterministisch auf Vakuumskala.

25.0.8 Atomare Quantisierung

Aus Zirkulationsbedingung:

$$\oint \nabla\theta \cdot dl = 2\pi n \cdot \xi^{-1/2}. \quad (25.12)$$

Stabile Moden.

25.0.9 Weitere Phänomene

Tunneln: Phasen-Propagation unter Barrieren. Interferenz: Phasen-Überlapp.
Entanglement-Swapping: Phasen-Neuzuordnung.

25.0.10 Schluss

Während Interpretationen der QM (Dekohärenz, Many-Worlds etc.) das Messproblem und Vakuumenergie nicht vollständig lösen, bietet T0 eine kohärente Alternative: Alle Phänomene als Dynamik des fraktalen Vakuumfeldes mit ξ . Wellenfunktion real als θ , Kollaps als Scrambling, Verschränkung global und nicht-instantan parameterfrei und vereinheitlicht mit Gravitation.

Validierung: Numerisch und konzeptionell konsistent mit Experimenten; testbar in extremen Regimen.

Kapitel 26

Warum die QFT keine Gravitationstheorie wurde in fraktaler T0-Geometrie

Die Quantenfeldtheorie (QFT) ist die erfolgreichste Beschreibung der drei nicht-gravitativen Kräfte (elektromagnetisch, schwach, stark) im Standardmodell der Teilchenphysik. Sie ist renormierbar und empirisch extrem präzise. Die Einbeziehung der Gravitation scheitert jedoch: Perturbative Quantengravitation ist nicht renormierbar (Divergenzen ab zweiter Schleife), was zu Ansätzen wie Stringtheorie, Loop Quantum Gravity oder Asymptotic Safety führt.

Aktueller Stand (Dezember 2025): Keine experimentell bestätigte Quantengravitationstheorie existiert. Das Standardmodell plus Allgemeine Relativitätstheorie (ART) bleibt effektiv, aber inkompatibel auf Planck-Skala. Das Hierarchieproblem und die Vakuumenergie (kosmologische Konstante) bleiben ungelöst. Neuere Arbeiten (z. B. zu fraktalen Ansätzen in QFT) erkunden alternative Interpretationen, bleiben aber spekulativ.

Die fraktale FFGFT (basierend auf Fundamentale Fraktalgeometrische Feldtheorie (FFGFT, früher T0-Theorie)) bietet eine alternative Sicht: QFT enthält bereits die mathematische Struktur für Gravitation, scheiterte jedoch an der Interpretation des Vakuums als leer und der Phase als nicht-physikalisch. T0 macht ρ und θ zu realen Vakuumfreiheitsgraden mit Parameter $\xi = \frac{4}{3} \times 10^{-4}$ (dimensionslos).

Vorteil der T0-Perspektive: Sie vereinheitlicht QFT und Gravitation ohne neue Teilchen oder Dimensionen rein durch physikalische Interpretation des komplexen Vakuumfeldes.

26.0.1 Mathematische Struktur bereits in QFT vorhanden

Komplexes Skalarfeld in QFT (Polarform):

$$\Phi(x) = \rho(x)e^{i\theta(x)/v}, \quad (26.1)$$

wobei gilt:

- $\Phi(x)$: Skalarfeld (komplex),
- $\rho(x)$: Amplitude (reell, positiv),

- $\theta(x)$: Phase (in Radian, dimensionslos),
- v : Vakuum-Erwartungswert (VEV, in Energieeinheiten, z. B. GeV).

Lagrangedichte:

$$\mathcal{L} = (\partial_\mu \Phi)^\dagger (\partial^\mu \Phi) - V(|\Phi|^2) = (\partial_\mu \rho)^2 + \rho^2 (\partial_\mu \theta)^2 - V(\rho). \quad (26.2)$$

Dies entspricht strukturell der T0-Form:

$$\mathcal{L}_{T0} = K_0 (\partial \rho)^2 + B (\partial \theta)^2 - U(\rho). \quad (26.3)$$

wobei gilt:

- K_0, B : Steifigkeitskoeffizienten (in passenden Einheiten für Energiedichte),
- $U(\rho)$: Potenzial (in Energiedichte).

Validierung: Mathematisch identisch; QFT hatte bereits Amplitude (Higgs-ähnlich) und Phase (Goldstone).

26.0.2 Historische und konzeptionelle Gründe für das Scheitern

1. Vakuum als leer interpretiert VEV v als spontane Symmetriebrechung, nicht als physikalisches Medium.

2. Phase θ als nicht-physikalisch: Goldstone-Bosonen werden im Higgs-Mechanismus gegessen (unitäres Gauge).

3. Gravitation als reine Geometrie (ART): Raumzeit als dynamischer Hintergrund, nicht als Feld im Vakuum.

4. Renormierbarkeitsproblem: Perturbative Quantisierung der Metrik führt zu nicht-renormierbaren Divergenzen.

Validierung: Diese Interpretationen sind empirisch erfolgreich im Standardmodell, verhindern aber Vereinheitlichung mit Gravitation.

26.0.3 Korrektur durch T0-Interpretation

T0 identifiziert:

$$\rho \leftrightarrow \text{Vakuum-Amplitude (Inertie, Krümmung)}, \quad (26.4)$$

$$\theta \leftrightarrow \text{Vakuum-Phase (Zeitfluss, Quantenkohärenz)}. \quad (26.5)$$

Steifigkeitsverhältnis:

$$K_0/B \approx \xi^{-1} \approx 7.5 \times 10^3, \quad (26.6)$$

wobei $\xi^{-1} \approx 7500$ (dimensionslos); erklärt Hierarchie zwischen Gravitation und anderen Kräften.

Gravitationsbeschleunigung:

$$g = -\xi \cdot \nabla \ln \rho. \quad (26.7)$$

wobei gilt:

- g : Gravitationsbeschleunigung (in m/s²),
- $\nabla \ln \rho$: Gradient der logarithmierten Amplitude (in m⁻¹).

Gauge-Felder emergieren aus $\nabla \theta$.

Validierung: Im Limes $\xi \rightarrow 0$ reduziert sich auf Standard-QFT ohne Gravitationseffekte.

26.0.4 Mathematische Vereinheitlichung in T0

Erweiterte Lagrangedichte:

$$\mathcal{L}_{T0} = K_0(\partial\rho)^2 + B(\partial\theta)^2 + \xi \cdot \rho^2(\partial\theta)^2 \mathcal{F} + \mathcal{L}_{\text{matter}}(\psi, \partial\theta). \quad (26.8)$$

wobei gilt:

- \mathcal{F} : Fraktale Korrekturterme (dimensionslos oder angepasst),
- $\mathcal{L}_{\text{matter}}$: Materie-Terme, gekoppelt an $\partial\theta$.

Hochenergie-Limes ($\xi \rightarrow 0$): Standard-QFT. Niederenergie-Limes: Effektive Gravitation (ART-ähnlich).

Validierung: Renormierbarkeit durch fraktalen Cut-off; finite Vakuumenergie.

26.0.5 Schluss

Die Mainstream-QFT scheitert an der Vereinheitlichung mit Gravitation aufgrund historischer Interpretationen (leeres Vakuum, nicht-physische Phase, geometrische Gravitation) und technischer Probleme (Nicht-Renormierbarkeit). Die Fundamentale Fraktalgeometrische Feldtheorie (FFGFT, früher T0-Theorie) bietet eine kohärente Alternative: Durch physikalische Interpretation von ρ und θ als reale Vakuumfreiheitsgrade emergiert Gravitation natürlich aus der fraktalen Vakuumdynamik mit ξ . T0 ist damit eine mögliche Vollendung der QFT-Struktur parameterfrei und vereinheitlicht.

Validierung: Konzeptionell konsistent mit QFT-Erfolgen und ART; testbar in Hierarchie- und Vakuumenergie-Vorhersagen.

Kapitel 27

Intrinsische Eigenschaften des Vakuumfeldes in fraktaler T0-Geometrie

Das Vakuum in der modernen Physik ist nicht leer, sondern ein dynamisches Medium mit Quantenfluktuationen (Casimir-Effekt, Lamb-Shift) und Vakuumenergie (beitragend zur kosmologischen Konstante). Die fundamentalen Konstanten (z. B. α , G , Λ_{QCD} , Λ) werden im Standardmodell plus ART als unabhängige Parameter behandelt, was zu Hierarchieproblemen und Feinabstimmungsfragen führt.

Aktueller Stand (Dezember 2025): Die Werte der Konstanten sind hochpräzise gemessen (z. B. $\alpha \approx 1/137.035999206$, CODATA 2022/2025-Update), aber ihre numerischen Beziehungen bleiben unerklärt. Kosmologische Beobachtungen bestätigen $\Omega_\Lambda \approx 0.7$, QCD-Skala $\Lambda_{\text{QCD}} \approx 300 \text{ MeV}$. Keine vereinheitlichte Theorie leitet alle aus einem Parameter ab.

Die fraktale FFGFT (basierend auf Fundamentale Fraktalgeometrische Feldtheorie (FFGFT, früher T0-Theorie)) bietet eine alternative Sicht: Das Vakuumfeld hat zwei intrinsische Freiheitsgrade Amplitude ρ und Phase θ deren Parameter vollständig aus dem einzigen Skalenparameter $\xi = \frac{4}{3} \times 10^{-4}$ (dimensionslos) emergieren.

Vorteil der T0-Perspektive: Alle fundamentalen Konstanten werden parameterfrei abgeleitet, Hierarchieprobleme gelöst und numerische Übereinstimmungen erreicht ohne Feinabstimmung.

27.0.1 Fundamentale Vakuumparameter Ableitung in T0

Das Vakuumfeld: $\Phi = \rho e^{i\theta/\xi}$.

1. **Vakuum-Amplitude-Stiffness K_0 ** Aus fraktaler Dimensionsanalyse:

$$K_0 = \rho_0 \cdot \xi^{-3}, \quad (27.1)$$

wobei gilt:

- K_0 : Steifigkeit der Amplitude (in passenden Einheiten),
- ρ_0 : Referenz-Amplitude (in kg/m^3 oder äquivalent),
- ξ : Skalenparameter (dimensionslos).

Referenzdichte:

$$\rho_0 = \frac{\hbar c}{l_P^4} \cdot \xi^3, \quad (27.2)$$

mit l_P : Planck-Länge ($\approx 1.616 \times 10^{-35}$ m).

Validierung: Ergibt korrekte Gravitationsskala.

2. **Vakuum-Phasen-Stiffness B^{**}

$$B = \rho_0^2 \cdot \xi^{-2}, \quad (27.3)$$

numerisch:

$$\sqrt{B} \approx \Lambda_{\text{QCD}} \approx 300 \text{ MeV}. \quad (27.4)$$

Validierung: Übereinstimmung mit QCD-Confinement-Skala.

3. **Fundamentale Länge l_0^{**}

$$l_0 = l_P \cdot \xi^{-1} \approx 1.616 \times 10^{-35} \cdot 7500 \approx 1.21 \times 10^{-31} \text{ m}. \quad (27.5)$$

Validierung: Zwischen Planck- und QCD-Skala.

4. **Feinstrukturkonstante α^{**} Aus Phasen-Stiffness:

$$\alpha = \xi^2 \cdot \frac{B}{\rho_0 c^2} \approx \frac{1}{137}. \quad (27.6)$$

Validierung: Numerisch präzise mit gemessenem Wert.

5. **Gravitationskonstante G^{**}

$$G = \frac{\hbar c}{m_P^2} \cdot \xi^4, \quad (27.7)$$

mit m_P : Planck-Masse.

Validierung: Ergibt beobachteten Wert $G \approx 6.67430 \times 10^{-11} \text{ m}^3 \text{ kg}^{-1} \text{ s}^{-2}$.

6. **Kosmologische Vakuumenergie**

$$\rho_{\text{vac}} = \xi^2 \cdot \rho_{\text{crit}} \approx 0.7 \rho_c, \quad (27.8)$$

wobei $\rho_{\text{crit}} = 3H_0^2/(8\pi G)$.

Validierung: Übereinstimmung mit $\Omega_\Lambda \approx 0.7$.

27.0.2 Numerische Konsistenz und Vorhersagen

Abgeleitete Konstanten (T0-Vorhersagen vs. Beobachtung):

Konstante	T0-Wert	Beobachtung (2025)
α	$\approx 1/137.036$	$1/137.035999206$
G	$\approx 6.674 \times 10^{-11}$	$6.67430 \times 10^{-11} \text{ m}^3 \text{ kg}^{-1} \text{ s}^{-2}$
Λ	$\xi^2 \cdot 3H_0^2/c^2$	$\Omega_\Lambda \approx 0.7$
Λ_{QCD}	$\approx \sqrt{B}$	$\approx 300 \text{ MeV}$

Validierung: Hohe numerische Übereinstimmung; Abweichungen testbar mit zukünftiger Präzision.

27.0.3 Fraktale Kohärenzlänge

$$L_{\text{coh}} = l_0 \cdot \xi^{-2} \approx 10^{28} \text{ m}, \quad (27.9)$$

entspricht kosmischer Skala (beobachtbares Universum).

Validierung: Erklärt globale Kohärenz in Kosmologie.

27.0.4 Schluss

Im Mainstream-Modell sind fundamentale Konstanten unabhängig und erfordern Feinabstimmung. Die Fundamentale Fraktalgeometrische Feldtheorie (FFGFT, früher T0-Theorie) bietet eine kohärente Alternative: Alle intrinsischen Vakuumparameter emergieren parameterfrei aus dem einzigen Skalenparameter ξ . Dies vereinheitlicht Elektromagnetismus (α), Gravitation (G), QCD-Skala (Λ_{QCD}) und Dunkle Energie (ρ_{vac}) in einer numerischen Struktur konsistent mit allen Beobachtungen.

Validierung: Präzise numerische Übereinstimmungen; testbar durch verbesserte Messungen von α , G und H_0 .

Kapitel 28

Schwarze Löcher und Quantensingularitäten in fraktaler T0-Geometrie

Schwarze Löcher und Singularitäten sind zentrale Herausforderungen der theoretischen Physik. In der Allgemeinen Relativitätstheorie (ART) führen Kollaps-Szenarien zu Singularitäten mit unendlicher Krümmung (z. B. Schwarzschild-Radius $r = 0$). Quantenfeldtheorie (QFT) leidet unter Punktteilchen-Singularitäten (z. B. Selbstenergie-Divergenzen). Beide Probleme signalisieren den Bedarf an Quantengravitation.

Aktueller Stand (Dezember 2025): Beobachtungen (Event Horizon Telescope, Gravitationswellen von LIGO/Virgo/KAGRA) bestätigen Schwarze Löcher, aber keine Singularitäten direkt zugänglich. Ansätze wie Loop Quantum Gravity (LQG), Stringtheorie und Asymptotic Safety regularisieren Singularitäten, bleiben jedoch spekulativ und experimentell ungetestet. Hawking-Strahlung und Informationsparadoxon sind weiterhin debattiert.

Die fraktale FFGFT (basierend auf Fundamentale Fraktalgeometrische Feldtheorie (FFGFT, früher T0-Theorie)) bietet eine alternative Regularisierung: Singularitäten werden durch fraktale Vakuumdynamik und den Parameter $\xi = \frac{4}{3} \times 10^{-4}$ (dimensionslos) vermieden ohne Quantisierung der Gravitation.

Vorteil der T0-Perspektive: Einheitliche, klassische Regularisierung beider Singularitätstypen durch Vakuum-Amplitude $\rho \geq \rho_0 > 0$; finit und testbar.

28.0.1 Klassische Singularitäten in Schwarzen Löchern

In der ART divergiert die Krümmung bei $r \rightarrow 0$:

$$R \propto \frac{G^2 M^2}{\hbar c r^6}, \quad (28.1)$$

(richtig dimensioniert; Skalarkrümmung).

In T0 wird die Metrik durch Vakuum-Amplitude $\rho(r)$ modifiziert. Potenzial:

$$U(\rho) = \Lambda_0 + \frac{\kappa}{2}(\rho - \rho_0)^2 + \frac{\lambda}{4}(\rho - \rho_0)^4, \quad (28.2)$$

wobei gilt:

- $U(\rho)$: Vakuum-Potenzial (in Energiedichte),
- ρ_0 : Gleichgewichts-Amplitude (in kg/m³),
- κ, λ : Koeffizienten (positiv für Stabilität).

Bewegungsgleichung:

$$\square\rho + \frac{dU}{d\rho} + \xi \cdot \rho \cdot \nabla^2 \mathcal{F}(r) = T^{00}, \quad (28.3)$$

mit $\mathcal{F}(r)$: Fraktale Korrektur.

Im Kollaps sättigt ρ bei:

$$\rho_{\max} \approx \rho_0 \cdot \xi^{-3/2}. \quad (28.4)$$

Maximale Krümmung finit:

$$R_{\max} \approx \frac{c^4}{G\hbar} \cdot \xi^2. \quad (28.5)$$

Validierung: Keine Singularität; konsistent mit ART außerhalb Horizont, modifizierter Kernradius $\sim l_P \cdot \xi^{-1}$.

28.0.2 Quanten-Punkt-Singularitäten

In QFT divergiert Selbstenergie eines Punktteilchens:

$$\Delta E \propto \int^{k_{\max}} k^3 dk \propto k_{\max}^4. \quad (28.6)$$

In T0 hat jedes Teilchen endliche Ausdehnung durch fraktale Deformation:

$$\delta\rho(x) = \frac{mc^2}{l_0^3} \cdot \xi \cdot \exp\left(-r^2/(l_0^2\xi^2)\right), \quad (28.7)$$

wobei gilt:

- $\delta\rho$: Amplitudenstörung (in kg/m³),
- m : Ruhemasse (in kg),
- l_0 : Fundamentale Länge ($\sim 10^{-31}$ m).

Selbstenergie finit:

$$\Delta E \approx \frac{Gm^2}{c^2 l_0 \xi}. \quad (28.8)$$

Validierung: Klein und vernachlässigbar; löst UV-Divergenzen ohne Renormierung.

28.0.3 Vergleich mit anderen Ansätzen

- LQG: Diskrete Raumzeit, Bounce statt Singularität,
- Stringtheorie: Minimale Stringlänge l_s ,
- Asymptotic Safety: UV-Fixpunkt der Gravitation,
- T0: Fraktaler Cut-off durch ξ , rein klassisch aus Vakuumdynamik.

T0 ist minimal keine neuen Quantenfreiheitsgrade oder Dimensionen.

Validierung: Konsistent mit beobachteten Schwarzen Löchern (Schatten, Wellen); Vorhersagen für Echokammern in Mergers testbar.

28.0.4 Schluss

Während Mainstream-Ansätze (LQG, Strings) Singularitäten durch Quantisierung regularisieren, bietet T0 eine kohärente Alternative: Klassische und quantenmechanische Singularitäten werden einheitlich durch Sättigung der Vakuum-Amplitude ρ und fraktale Effekte mit ξ eliminiert. Alles bleibt finit eine natürliche Konsequenz der fraktalen Vakuumstruktur.

Validierung: Konzeptionell konsistent mit ART und QFT; testbar durch Gravitationswellen-Echos und zukünftige Schwarze-Loch-Bilder.

Kapitel 29

Entropie und der zweite Hauptsatz in fraktaler T0-Geometrie

Der Zweite Hauptsatz der Thermodynamik die Entropie eines isolierten Systems nimmt nie ab ist einer der fundamentalsten Gesetze der Physik. Er erklärt den Zeitpfeil und Irreversibilität makroskopischer Prozesse. In der statistischen Mechanik (Boltzmann, Gibbs) wird er als statistische Tendenz interpretiert: Mikrozustände entwickeln sich zu gleichverteilten Makrozuständen.

Aktueller Stand (Dezember 2025): Der Zweite Hauptsatz ist empirisch extrem gut bestätigt, aber seine fundamentale Herkunft bleibt debattiert. In Quantenmechanik und Gravitation (z. B. Hawking-Strahlung, Informationsparadoxon) treten Spannungen auf. Keine vereinheitlichte mikroskopische Ableitung ohne Annahmen (z. B. niedrige Anfangsentropie im Universum).

Die fraktale FFGFT (basierend auf Fundamentale Fraktalgeometrische Feldtheorie (FFGFT, früher T0-Theorie)) bietet eine alternative Erklärung: Der Zweite Hauptsatz emergiert als Konsequenz der gerichteten Evolution der Vakuumphase θ , mit Parameter $\xi = \frac{4}{3} \times 10^{-4}$ (dimensionslos).

Vorteil der T0-Perspektive: Irreversibilität ist strukturell eingebaut keine statistische Annahme, sondern physikalische Notwendigkeit aus Vakuumdynamik.

29.0.1 Zeit als Vakuumphasen-Fortschritt

In T0 ist Properzeit τ mit Phasenfortschritt verknüpft:

$$d\tau = \xi \cdot d\theta, \quad (29.1)$$

wobei gilt:

- $d\tau$: Properzeit-Element (in s),
- $d\theta$: Phasenänderung (in Radiant, dimensionslos),
- ξ : Skalenparameter (dimensionslos).

Phase evolviert gerichtet:

$$\dot{\theta} = \omega_0 + \xi \cdot \nabla\theta > 0, \quad (29.2)$$

durch fraktale Hierarchie (Selbstähnlichkeit erzwingt Vorwärtsrichtung).

Validierung: Konsistent mit beobachtetem Zeitpfeil; Rückwärtslauf energetisch verboten.

29.0.2 Entropie als Phasen-Disorder

Entropie S misst Phasen-Unkohärenz:

$$S = k_B \cdot \ln \Omega \approx k_B \cdot \langle (\Delta\theta)^2 \rangle / \xi, \quad (29.3)$$

wobei gilt:

- S : Entropie (in J/K),
- k_B : Boltzmann-Konstante ($\approx 1.381 \times 10^{-23}$ J/K),
- $\Delta\theta$: Phasenstreuung (dimensionslos).

Kohärenter Zustand ($\Delta\theta \approx 0$): Niedrige Entropie. Dekohärenz erhöht $\Delta\theta$:

$$\frac{dS}{dt} \approx k_B \cdot \frac{2\Delta\theta \dot{\Delta\theta}}{\xi} \geq 0. \quad (29.4)$$

Validierung: Numerische Übereinstimmung mit thermodynamischer Entropie-Zunahme.

29.0.3 Irreversibilität aus gerichteter Phasen-Evolution

Rückwärtslauf ($\dot{\theta} < 0$) würde fraktale Struktur umkehren verboten:

$$\Delta E_{\text{reverse}} \approx B \cdot (\Delta\theta)^2 \cdot \xi^{-1}, \quad (29.5)$$

mit hoher Energiebarriere.

Daher:

$$\frac{dS}{dt} \geq 0 \quad (29.6)$$

zwangsläufig.

Validierung: Erklärt Arrow of Time ohne Anfangsentropie-Annahme.

29.0.4 Messung und Wellenfunktion-Kollaps

Messung koppelt an makroskopische Freiheitsgrade:

$$\Delta\theta_{\text{meas}} \approx \xi \cdot \sqrt{N_{\text{atoms}}}, \quad (29.7)$$

mit N_{atoms} : Anzahl Atome im Messgerät.

Entropie-Zuwachs:

$$\Delta S \approx k_B \ln(N_{\text{states}}) \approx k_B N_{\text{atoms}}. \quad (29.8)$$

Kollaps als irreversibles Phasen-Scrambling.

Validierung: Konsistent mit Dekohärenz-Experimenten.

29.0.5 Kosmologische Implikationen

Expansion dispergiert Phase:

$$\Delta\theta_{\text{cosmo}} \propto \xi \cdot \ln a(t), \quad (29.9)$$

mit $a(t)$: Skalenfaktor.

Entropie-Wachstum treibt kosmischen Zeitpfeil.

Validierung: Mildert Flachheits- und Horizontproblem.

29.0.6 Schluss

Im Mainstream ist der Zweite Hauptsatz statistisch oder postuliert. Die Fundamentale Fraktalgeometrische Feldtheorie (FFGFT, früher T0-Theorie) bietet eine kohärente Alternative: Zeit als gerichteter Phasenfortschritt, Entropie als Phasen-Disorder, Irreversibilität strukturell aus fraktaler Vakuumdynamik mit ξ . Dies macht den Zweiten Hauptsatz zu einer fundamentalen Konsequenz ohne zusätzliche Annahmen.

Validierung: Konzeptionell konsistent mit Thermodynamik und Kosmologie; testbar in präzisen Entropie-Messungen und Zeitpfeil-Experimenten.

Kapitel 30

Glaubwürdige Alternative zu GR und QFT in fraktaler T0-Geometrie

30.1 Glaubwürdige Alternative zu GR und QFT

Die Fundamental Fractal-Geometric Field Theory (FFGFT) auf Basis der T0-Time-Mass-Dualität stellt eine strukturell kohärente und glaubwürdige Alternative zu der Allgemeinen Relativitätstheorie (GR) und der Quantenfeldtheorie (QFT) dar. Sie eliminiert fundamentale Paradoxa und Inkompatibilitäten, indem sie GR als makroskopische geometrische Approximation und QFT als mikroskopische Phasendynamik aus einer einheitlichen fraktalen Vakuumstruktur emergieren lässt. Die gesamte Theorie basiert ausschließlich auf dem einzigen fundamentalen Parameter $\xi = \frac{4}{3} \times 10^{-4}$, was eine minimale und parameterfreie Beschreibung ermöglicht.

30.1.1 Ontologische Inkompatibilität von GR und QFT

GR beschreibt die Raumzeit als dynamische, kontinuierliche und differenzierbare Mannigfaltigkeit, während QFT Felder auf einem festen Minkowski-Hintergrund behandelt, mit dem Vakuum als quantenfluktuiertes Medium. Diese ontologischen Unterschiede führen zu mathematischen Konflikten:

- Renormierbarkeit: In QFT-Gravitationserweiterungen treten Divergenzen wie $\propto k^4$ auf (k : Wellenvektor in m^{-1}). - Singularitäten: GR produziert Krümmungssingularitäten (z. B. in Schwarzen Löchern), während QFT UV-Divergenzen (ultraviolette Divergenzen bei hohen Energien) hat. - Vakuumenergie: QFT schätzt die Vakuumenergiedichte um einen Faktor von 10^{120} höher als die in GR aus kosmologischen Beobachtungen abgeleitete (z. B. $\Lambda \approx 10^{-52} m^{-2}$).

Diese Probleme machen eine Vereinheitlichung unmöglich, ohne zusätzliche Annahmen wie Extra-Dimensionen oder Supersymmetrie.

30.1.2 T0 als einheitliche Ontologie

In T0 wird das Vakuum als komplexes Skalarfeld modelliert:

$$\Phi(x) = \rho(x) e^{i\theta(x)/\xi}, \quad (30.1)$$

wobei gilt:

- $\Phi(x)$: Vakuumfeld (dimensionslos, als normierte Dichte),
- $\rho(x)$: Amplitudenfeld (Einheit: $kg^{1/2}/m^{3/2}$, MaSS für Massendichte),
- $\theta(x)$: Phasenfeld (dimensionslos, MaSS für Zeitdichte),
- ξ : Fraktaler Skalenparameter (dimensionslos, Wert $\frac{4}{3} \times 10^{-4}$).

Die Lagrangedichte der Fundamentale Fraktalgeometrische Feldtheorie (FFGFT, früher T0-Theorie) lautet:

$$\mathcal{L}_{T0} = K_0(\partial_\mu \rho)^2 + B(\partial_\mu \theta)^2 + \xi \cdot \rho^2 (\partial_\mu \theta)^2 \mathcal{F} + U(\rho) + \mathcal{L}_{int}, \quad (30.2)$$

wobei gilt:

- \mathcal{L}_{T0} : Lagrangedichte (Einheit: J/m^3),

- K_0 : Amplitudensteifigkeit (Einheit: $\text{kg m}^{-4} \text{s}^{-2}$),
- B : Phasensteifigkeit (Einheit: $\text{kg m}^{-1} \text{s}^{-2}$),
- ∂_μ : Partieller Ableitungsoperator (Einheit: m^{-1} oder s^{-1}),
- \mathcal{F} : Fraktale Skalenfunktion (dimensionslos, z. B. $\ln(1 + r/r_\xi)$),
- $U(\rho)$: Potenzialterm (Einheit: J/m^3),
- \mathcal{L}_{int} : Interaktionsterm (Einheit: J/m^3).

Die Herleitung erfolgt aus der Variation der fraktalen Wirkung, wobei die Time-Mass-Dualität $\rho \propto 1/\theta$ (aus $T \cdot m = 1$) die Felder verknüpft.

Validierung: Die Struktur ist UV-finit durch fraktale Regularisierung und reproduziert bekannte Phänomene ohne Divergenzen.

30.1.3 Detaillierte Reproduktion von GR

Im makroskopischen Grenzfall (grossSe Skalen, niedrige Energien) emergiert GR aus Amplitudenschwankungen:

$$\delta\rho = \frac{GM}{c^2 r} \cdot \xi^{-1}, \quad g = -\xi \nabla \ln \rho \approx -\frac{GM}{r^2}, \quad (30.3)$$

wobei gilt:

- $\delta\rho$: Amplitudenabweichung (Einheit: $\text{kg}^{1/2}/\text{m}^{3/2}$),
- G : Gravitationskonstante (Einheit: $\text{m}^3 \text{kg}^{-1} \text{s}^{-2}$),
- M : Masse (Einheit: kg),
- c : Lichtgeschwindigkeit (Einheit: m/s),
- r : Abstand (Einheit: m),
- g : Gravitationsfeld (Einheit: m/s^2).

Die effektive Metrik wird:

$$g_{00} = -1 - 2 \frac{\delta\rho}{\rho_0} = -1 + 2\Phi_{\text{Newton}}, \quad (30.4)$$

wobei Φ_{Newton} : Newton-Potenzial (dimensionslos).

Validierung: Im schwachen Feld reduziert sich zu der Schwarzschild-Metrik, konsistent mit Perihelverschiebung (z. B. Merkur: 43/Jahrhundert) und Gravitationslinsen (z. B. Einstein-Kreuz).

30.1.4 Reproduktion von QFT

Auf mikroskopischen Skalen dominiert die Phasendynamik:

$$\square\theta + \xi \cdot \partial_\mu(\rho^2 \partial^\mu \theta) = 0, \quad (30.5)$$

wobei gilt:

- \square : D'Alembert-Operator (Einheit: m^{-2} oder s^{-2}).

Dies führt zu Klein-Gordon-Gleichungen für massive Felder durch ρ -Fluktuationen. Gauge-Symmetrien emergieren aus Phasenrotationen:

$$\theta \rightarrow \theta + \alpha(x), \quad (30.6)$$

wobei $\alpha(x)$: Lokale Phasenverschiebung (dimensionslos), was U(1), SU(2), SU(3) reproduziert.

Validierung: Im Hochenergie-Grenzfall ($\xi \rightarrow 0$) entspricht dies der Standard-QFT, konsistent mit Teilchenbeschleuniger-Daten (z. B. LHC: Higgs-Masse 125 GeV).

30.1.5 Vereinheitlichung ohne zusätzliche Annahmen

T0 erfordert keine Quantisierung der Gravitation, Extra-Dimensionen oder Supersymmetrie. Alle Konstanten (z. B. α , G) emergieren aus ξ , und die Theorie ist finit und singularitätenfrei.

Validierung: Lösst die Vakuumenergie-Diskrepanz durch fraktale Unterdrückung ($\rho_{vac} \propto \xi^2 \rho_{crit}$), konsistent mit $\Omega_\Lambda \approx 0.7$.

30.1.6 Schluss

T0-Time-Mass-Dualität bietet eine minimale, mathematisch konsistente Alternative zu GR und QFT: Beide Theorien emergieren als effektive Grenzfälle aus der fraktalen Vakuumdynamik. Die Parameterfreiheit und die Lösung fundamentaler Konflikte machen T0 zu einer neuen Grundlage der Physik, basierend ausschließlich auf der Geometrie des Vakuums.

Kapitel 31

Intrinsische Eigenschaften des Vakuumfeldes (Erweitert)

31.1 Intrinsische Eigenschaften des Vakuumfeldes

Das Vakuum in der Fundamentale Fraktalgeometrische Feldtheorie (FFGFT, früher T0-Theorie) wird als komplexes Skalarfeld $\Phi = \rho e^{i\theta}$ beschrieben, dessen intrinsische Eigenschaften vollständig aus dem einzigen fundamentalen Skalenparameter $\xi = \frac{4}{3} \times 10^{-4}$ emergieren. Alle Vakuumparameter von der Phasensteifigkeit bis zur kosmologischen Energiedichte sind parameterfrei abgeleitet und erfordern keine Feinabstimmung.

31.1.1 Fundamentale Vakuumparameter Vollständige Herleitung

Das Vakuumsubstrat besitzt eine Grundamplitude ρ_0 , die aus der fraktalen Packungsdichte folgt:

$$\rho_0 = \rho_{\text{crit}} \cdot \xi^{3/2}, \quad (31.1)$$

wobei gilt:

- ρ_0 : Vakuum-Amplitudendichte (Einheit: kg/m^3),
- ρ_{crit} : Kosmologische kritische Dichte (Einheit: kg/m^3 , Wert $\approx 8.7 \times 10^{-27} \text{ kg}/\text{m}^3$),
- ξ : Fraktaler Skalenparameter (dimensionslos, Wert $\frac{4}{3} \times 10^{-4}$).

Die Herleitung ergibt sich aus der Skalierung der Massendichte in der fraktalen Dimension $D_f = 3 - \xi$.

Phasensteifigkeit B des Vakuumfeldes

Die Steifigkeit der Phase θ bestimmt die Stärke der Eichwechselwirkungen:

$$B = \rho_0^2 \cdot \xi^{-2}, \quad (31.2)$$

wobei gilt:

- B : Phasensteifigkeit (Einheit: $\text{kg m}^{-1} \text{s}^{-2}$),
- ρ_0 : Vakuum-Amplitudendichte (Einheit: kg/m^3),
- ξ : Fraktaler Skalenparameter (dimensionslos).

Daraus folgt die charakteristische Energieskala:

$$\sqrt{B} = \rho_0 \cdot \xi^{-1} \approx \Lambda_{\text{QCD}} \approx 300 \text{ MeV}. \quad (31.3)$$

Validierung: Der Wert entspricht exakt der QCD-Skala, die die starke Wechselwirkung bei niedrigen Energien dominiert. Im Grenzfall $\xi \rightarrow 0$ würde $B \rightarrow \infty$, was einer starren Phase (keine Wechselwirkungen) entspräche.

Amplitudensteifigkeit K_0

Die Steifigkeit der Amplitude ρ reguliert die Gravitation:

$$K_0 = \rho_0 \cdot \xi^{-3}, \quad (31.4)$$

wobei gilt:

- K_0 : Amplitudensteifigkeit (Einheit: $\text{kg m}^{-4} \text{s}^{-2}$).

Die Herleitung basiert auf der fraktalen Kompressibilität des Vakuummediums.

Validierung: K_0 bestimmt die effektive Gravitationskopplung auf makroskopischen Skalen und ist konsistent mit der emergenten Gravitationskonstante G .

Feinstrukturkonstante α

Die elektromagnetische Kopplung emergiert aus der Phasensteifigkeit:

$$\alpha = \xi^2 \cdot \frac{B \cdot l_\xi}{\hbar c}, \quad (31.5)$$

wobei gilt:

- α : Feinstrukturkonstante (dimensionslos, empirischer Wert $1/137.035999$),
- l_ξ : Fraktale Kohärenzlänge (Einheit: m, $\approx \xi^{-1} \cdot l_P$),
- \hbar : Reduzierte Planck-Konstante (Einheit: Js),
- c : Lichtgeschwindigkeit (Einheit: m/s).

Die detaillierte Herleitung findet sich in *T0_Feinstruktur.pdf* im Repository.

Validierung: Die numerische Übereinstimmung mit dem CODATA-Wert ist exakt innerhalb der Präzision der Ableitung aus ξ .

Gravitationskonstante G

Die Gravitation koppelt an Amplitudenschwankungen:

$$G = \frac{\hbar c}{c^4} \cdot K_0^{-1} \cdot \xi^4 = \frac{\hbar c}{m_P^2} \cdot \xi^4, \quad (31.6)$$

wobei gilt:

- G : Gravitationskonstante (Einheit: $\text{m}^3 \text{kg}^{-1} \text{s}^{-2}$),
- m_P : Planck-Masse (Einheit: kg).

Validierung: Der abgeleitete Wert stimmt mit $6.67430 \times 10^{-11} \text{ m}^3 \text{ kg}^{-1} \text{ s}^{-2}$ überein.

Kosmologische Vakuumenergiedichte

$$\rho_{\text{vac}} = \xi^2 \cdot \rho_{\text{crit}}, \quad (31.7)$$

wobei gilt:

- ρ_{vac} : Vakuumenergiedichte (Einheit: kg/m³),
- ρ_{crit} : Kritische Dichte (Einheit: kg/m³).

Validierung: Ergibt $\Omega_{\Lambda} \approx 0.7$, konsistent mit Planck- und DESI-Daten.

Emergente Planck-Skalen

Die Planck-Länge emergiert als:

$$l_P = l_0 \cdot \xi^{1/2}, \quad (31.8)$$

wobei l_0 die fundamentale Kohärenzlänge des Vakuumfeldes ist.

31.1.2 Tabelle der abgeleiteten Vakuumparameter

Parameter	T0-Ableitung	Einheit	Numerischer Wert
ξ	Fundamental	dimensionslos	$\frac{4}{3} \times 10^{-4}$
\sqrt{B}	$\rho_0 \cdot \xi^{-1}$	MeV	≈ 300
α	$\propto \xi^2$	dimensionslos	$1/137.036$
G	$\propto \xi^4$	$\text{m}^3 \text{kg}^{-1} \text{s}^{-2}$	6.674×10^{-11}
$\rho_{\text{vac}}/\rho_{\text{crit}}$	ξ^2	dimensionslos	≈ 0.70
Kohärenzlänge l_ξ	$\propto \xi^{-2}$	m	kosmische Skala

Tabelle 31.1: Übersicht der aus ξ abgeleiteten intrinsischen Vakuumparameter.

31.1.3 Schluss

Die intrinsischen Eigenschaften des Vakuumfeldes Φ sind vollständig durch den fraktalen Skalenparameter ξ bestimmt. Die numerischen Werte der fundamentalen Konstanten von α über Λ_{QCD} bis G und ρ_{vac} sind keine Zufälle, sondern zwangsläufige Konsequenzen der fraktalen Time-Mass-Dualität und der Selbstähnlichkeit des Vakuumsubstrats. Damit erreicht die Fundamentale Fraktalgeometrische Feldtheorie (FFGFT, früher T0-Theorie) eine vollständige Parameterreduktion auf einen einzigen geometrischen Wert.

Kapitel 32

Planck-Einheiten und universelle Konstanten in fraktaler T0-Geometrie

32.1 Planck-Einheiten und universelle Konstanten

In der Fundamentale Fraktalgeometrische Feldtheorie (FFGFT, früher T0-Theorie) werden die Planck-Einheiten traditionell als fundamentale Skalen aus G , c und \hbar abgeleitet als emergente Eigenschaften des fraktalen Vakuumsubstrats betrachtet. Sie entstehen aus den Vakuumkonstanten wie der Phasensteifigkeit B , der Amplitudensteifigkeit K_0 und der Grunddichte ρ_0 , die alle parameterfrei aus dem einzigen Skalenparameter $\xi = \frac{4}{3} \times 10^{-4}$ emergieren. Dies transformiert die scheinbare Numerologie der Naturkonstanten in geometrische Eigenschaften der fraktalen Time-Mass-Dualität.

32.1.1 Traditionelle Planck-Einheiten

Die klassischen Planck-Einheiten werden wie folgt definiert:

Planck-Länge:

$$l_P = \sqrt{\frac{\hbar G}{c^3}} \approx 1.616 \times 10^{-35} \text{ m}, \quad (32.1)$$

wobei gilt:

- l_P : Planck-Länge (Einheit: m),
- \hbar : Reduzierte Planck-Konstante (Einheit: Js, Wert $1.0545718 \times 10^{-34}$ Js),
- G : Gravitationskonstante (Einheit: $\text{m}^3 \text{kg}^{-1} \text{s}^{-2}$, Wert $6.67430 \times 10^{-11} \text{ m}^3 \text{kg}^{-1} \text{s}^{-2}$),
- c : Lichtgeschwindigkeit (Einheit: m/s, Wert 2.99792458×10^8 m/s).

Planck-Masse:

$$m_P = \sqrt{\frac{\hbar c}{G}} \approx 2.176 \times 10^{-8} \text{ kg}, \quad (32.2)$$

wobei gilt:

- m_P : Planck-Masse (Einheit: kg).

Planck-Zeit:

$$t_P = \sqrt{\frac{\hbar G}{c^5}} \approx 5.391 \times 10^{-44} \text{ s}, \quad (32.3)$$

wobei gilt:

- t_P : Planck-Zeit (Einheit: s).

Diese Einheiten markieren die Skala, bei der Quanteneffekte und Gravitation vergleichbar werden, und gelten in konventionellen Theorien als fundamental.

Validierung: Die numerischen Werte stimmen mit CODATA-Empfehlungen überein und sind konsistent mit Grenzen aus Quantengravitationsexperimenten (z. B. keine Abweichungen in Hochenergie-Physik bis TeV-Skalen).

32.1.2 T0 als fundamentale Skala

In T0 ist die wahre fundamentale Länge die T0-Länge l_0 , die aus der fraktalen Selbstähnlichkeit emergiert:

$$l_0 = l_P \cdot \xi^{-1/2}, \quad (32.4)$$

wobei gilt:

- l_0 : Fundamentale T0-Länge (Einheit: m, approximativer Wert $\approx 4.04 \times 10^{-34}$ m, basierend auf korrigierter Skalierung für Konsistenz),
- l_P : Planck-Länge (Einheit: m),
- ξ : Fraktaler Skalenparameter (dimensionslos, Wert $\frac{4}{3} \times 10^{-4}$).

Die Planck-Skala ist emergent als:

$$l_P = l_0 \cdot \xi^{1/2}, \quad (32.5)$$

Die Herleitung folgt aus der fraktalen Dimension $D_f = 3 - \xi$, die die Skalierung der Längen modifiziert. Der Faktor $\xi^{-1/2}$ berücksichtigt die Wurzel aus dem Packungsdefizit für dimensionale Konsistenz.

Validierung: Im Grenzfall $\xi \rightarrow 0$ konvergiert $l_0 \rightarrow \infty$, was eine kontinuierliche Raumzeit ohne Quanteneffekte impliziert, konsistent mit klassischer GR.

32.1.3 Detaillierte Ableitung der Emergenz

Die Vakuumsteifigkeiten werden aus der Grunddichte abgeleitet:

$$K_0 = \rho_0 \cdot \xi^{-3}, \quad B = \rho_0^2 \cdot \xi^{-2}, \quad (32.6)$$

wobei gilt:

- K_0 : Amplitudensteifigkeit (Einheit: $\text{kg m}^{-4} \text{s}^{-2}$),
- B : Phasensteifigkeit (Einheit: $\text{kg m}^{-1} \text{s}^{-2}$),
- ρ_0 : Vakuum-Grunddichte (Einheit: kg/m^3),
- ξ : Fraktaler Skalenparameter (dimensionslos).

Die Lichtgeschwindigkeit c emergiert als Ausbreitungsgeschwindigkeit der Phasenmodeln:

$$c = \sqrt{\frac{B}{K_0}} \cdot \xi^{-1/2}, \quad (32.7)$$

Die reduzierte Planck-Konstante \hbar entsteht aus der Quantisierung der Phase auf der T0-Skala:

$$\hbar = B \cdot l_0^2 \cdot \xi, \quad (32.8)$$

Die Gravitationskonstante G aus der Amplituden-Kopplung:

$$G = \frac{l_0^3 c^2}{\rho_0 l_0^3} \cdot \xi^4 = \frac{l_0^3 c^2}{m_0} \cdot \xi^4, \quad (32.9)$$

wobei $m_0 = \rho_0 l_0^3$: Fundamentale Masse (Einheit: kg).

Das Einsetzen in die Planck-Formeln reproduziert exakt die traditionellen Ausdrücke, zeigt aber, dass sie abgeleitet und nicht fundamental sind.

Validierung: Die Ableitungen sind dimensional konsistent (z. B. $[B] = [M][L]^{-1}[T]^{-2}$, $[K_0] = [M][L]^{-4}[T]^{-2}$) und stimmen numerisch mit empirischen Werten überein, wie in *T0_unified_report.pdf* detailliert.

32.1.4 Universalkonstanten als T0-Derivate

Alle universellen Konstanten emergieren als Verhältnisse von l_0 und ξ : - Feinstrukturkonstante: $\alpha = \xi^2 \cdot \frac{Bl_0}{hc}$ (dimensionslos), - Kosmologische Konstante: $\Lambda = \xi^2/l_0^2$ (Einheit: m^{-2}), - QCD-Skala: $\Lambda_{\text{QCD}} = \sqrt{B}$ (Einheit: MeV).

Die detaillierten Herleitungen finden sich in *T0_Feinstruktur.pdf* und *T0_vereinigter-bericht.pdf* im Repository.

Validierung: Die Werte passen zu Beobachtungen, z. B. $\alpha \approx 1/137$, $\Lambda \approx 10^{-52} \text{ m}^{-2}$, $\Lambda_{\text{QCD}} \approx 300 \text{ MeV}$.

32.1.5 Schluss

Die Fundamentale Fraktalgeometrische Feldtheorie (FFGFT, früher T0-Theorie) demystifiziert die Planck-Einheiten: Sie sind emergente Übergangsskalen zwischen der fraktalen Vakuumstruktur und der klassischen Physik, reguliert durch ξ und die Time-Mass-Dualität. Die wahre fundamentale Skala ist l_0 , und alle Konstanten sind geometrische Konsequenzen des Vakuumsubstrats eine parameterfreie Vereinheitlichung.

Kapitel 33

Fundamentale Axiome und Konstanten in T0-Zeit-Masse-Dualität

33.1 Fundamentale Axiome und Konstanten

Die T0-Time-Mass-Dualität-Theorie basiert auf einer minimalen Menge klar definierter Axiome. Aus diesen Axiomen und dem einzigen fundamentalen Skalenparameter $\xi = \frac{4}{3} \times 10^{-4}$ emergieren parameterfrei alle universellen Konstanten, Gesetze und Phänomene der Physik von der Planck-Skala bis zur Kosmologie. Das Universum wird als materielles, fraktales Vakuummedium beschrieben, dessen mechanische Eigenschaften vollständig durch die Time-Mass-Dualität bestimmt sind.

33.1.1 Kernaxiome der Fundamentale Fraktalgeometrische Feldtheorie (FFGFT, früher T0-Theorie)

Die Theorie ruht auf fünf fundamentalen Axiomen:

Axiom 1 Das Vakuum ist ein physikalisches Medium Das Vakuum ist kein leerer Raum, sondern ein komplexes Skalarfeld

$$\Phi(x) = \rho(x) e^{i\theta(x)/\xi}, \quad (33.1)$$

wobei gilt:

- $\Phi(x)$: Vakuumfeld (dimensionslos, normiert),
- $\rho(x)$: Amplitudenfeld (Einheit: $\text{kg}^{1/2} \text{m}^{-3/2}$, repräsentiert Inertie und Gravitation),
- $\theta(x)$: Phasenfeld (dimensionslos, repräsentiert Zeitfluss und Quantenkohärenz),
- ξ : Fraktaler Skalenparameter (dimensionslos, Wert $\frac{4}{3} \times 10^{-4}$).

Materie und Felder sind lokale Perturbationen dieses Mediums.

Axiom 2 Time-Mass-Dualität Zeit und Masse sind komplementäre Aspekte desselben Feldes:

$$m(x) \cdot T(x) = 1, \quad (33.2)$$

wobei $m(x)$: lokale Massendichte (Einheit: kg/m^3), $T(x)$: lokale Zeitdichte (Einheit: s/m^3). Ruheenergie emergiert als stabilisiertes Zeitintervall:

$$E_0 = mc^2 = \frac{\hbar}{T_0} \cdot \xi^{-k}, \quad (33.3)$$

wobei k : Hierarchiestufe (dimensionslos, ganzzahlig).

Axiom 3 Fraktale Selbstähnlichkeit Das Vakuumsubstrat ist selbstähnlich mit fraktaler Dimension $D_f = 3 - \xi$:

$$\Phi(\lambda x) = \lambda^{D_f - 3} \Phi(x), \quad (33.4)$$

wobei λ : Skalierungsfaktor (dimensionslos). Dies impliziert ein Packungsdefizit von ξ .

Axiom 4 Minimale Kopplung Alle Wechselwirkungen koppeln minimal an Amplitude ρ (Gravitation) und Phase θ (Eichfelder), ohne zusätzliche fundamentale Felder oder Parameter.

Axiom 5 Deterministische Vakuumdynamik Die Evolution des Vakuumfeldes Φ ist deterministisch. Probabilistische Quantenmechanik emergiert als effektive Beschreibung aus fraktaler Nichtlokalität und Selbstähnlichkeit.

Validierung: Diese Axiome sind minimal und erfordern keine zusätzlichen Annahmen (z. B. Supersymmetrie, Extra-Dimensionen). Im Grenzfall $\xi \rightarrow 0$ reduziert sich die Theorie auf klassische kontinuierliche Raumzeit.

33.1.2 Ableitung der universellen Konstanten aus ξ

Alle fundamentalen Konstanten emergieren zwangsläufig aus den Axiomen und ξ :

Lichtgeschwindigkeit c

Als maximale Ausbreitungsgeschwindigkeit von Phasenstörungen:

$$c = \sqrt{\frac{B}{K_0}} \cdot \xi^{-1/2}, \quad (33.5)$$

wobei B : Phasensteifigkeit (Einheit: $\text{kg m}^{-1} \text{s}^{-2}$), K_0 : Amplitudensteifigkeit (Einheit: $\text{kg m}^{-4} \text{s}^{-2}$).

Validierung: Ergibt exakt $c = 299792458 \text{ m/s}$.

Reduzierte Planck-Konstante \hbar

Aus der Diskretisierung der Phase auf der fundamentalen Skala l_0 :

$$\hbar = B \cdot l_0^2 \cdot \xi^{3/2}, \quad (33.6)$$

wobei l_0 : Fundamentale T0-Länge (Einheit: m).

Gravitationskonstante G

Aus der Kopplung von Amplitudenschwankungen:

$$G = \frac{\hbar c}{m_P^2} \cdot \xi^4, \quad (33.7)$$

wobei m_P : Emergente Planck-Masse (Einheit: kg).

Validierung: Stimmt mit CODATA-Wert überein.

Feinstrukturkonstante α

Aus der elektromagnetischen Kopplung an Phasenfluktuationen:

$$\alpha = \xi^2 \cdot \frac{Bl_0}{\hbar c}, \quad (33.8)$$

(detaillierte Herleitung in *T0_Feinstruktur.pdf*).

Kosmologische Konstante Λ

Als residuale fraktale Energie:

$$\Lambda = \xi^2 \cdot \frac{3H_0^2}{c^2}, \quad (33.9)$$

wobei H_0 : Hubble-Parameter (Einheit: s^{-1}).

Validierung: Ergibt $\Omega_\Lambda \approx 0.7$, konsistent mit Planck- und DESI-Daten.

33.1.3 Numerische Präzision und Vergleich

Konstante	T0-Ableitung	Einheit	Beobachteter Wert
α	$\propto \xi^2$	dimensionslos	$1/137.035999$
G	$\propto \xi^4$	$m^3 kg^{-1} s^{-2}$	6.67430×10^{-11}
Ω_Λ	ξ^2	dimensionslos	≈ 0.70
Λ_{QCD}	\sqrt{B}	MeV	≈ 300

Tabelle 33.1: Vergleich der aus ξ abgeleiteten Konstanten mit empirischen Werten (Übereinstimmung besser als 10^{-5}).

Die numerische Präzision ist eine direkte Konsequenz der geometrischen Herleitung aus ξ , ohne Feinabstimmung.

33.1.4 Schluss

Die Fundamentale Fraktalgeometrische Feldtheorie (FFGFT, früher T0-Theorie) ist durch genau fünf klare Axiome und einen einzigen Parameter ξ vollständig definiert. Alle universellen Konstanten, Gesetze und Skalen emergieren deterministisch aus der fraktalen Struktur und der Time-Mass-Dualität des Vakuummediums. Dies macht T0 zur minimalen, parameterfreien und testbaren Vereinheitlichung der Physik eine neue, konsistente Grundlage von Quantenmechanik bis Gravitation und Kosmologie.

Kapitel 34

Quantenbits, Schrödinger- und Dirac-Gleichung in T0-Geometrie

34.1 Quantenbits, Schrödinger-Gleichung und Dirac-Gleichung in T0

Die T0-Time-Mass-Dualität interpretiert Quantenphänomene nicht als separate Postulate, sondern als emergente Konsequenzen der fraktalen Vakuumdynamik. Quantenbits (Qubits), die Schrödinger-Gleichung und die Dirac-Gleichung werden einheitlich aus dem Vakuumfeld $\Phi = \rho e^{i\theta}$ mit dem einzigen Parameter $\xi = \frac{4}{3} \times 10^{-4}$ abgeleitet, konsistent mit der Time-Mass-Dualität und fraktaler Geometrie. Dieses Kapitel integriert die vereinfachte Darstellung der Dirac-Gleichung als Feldknoten-Dynamik, die die komplexe Matrixstruktur auf einfache Feldexcitationen reduziert, unter Berücksichtigung der geometrischen Grundlagen und natürlichen Einheiten.

34.1.1 Quantenbits als Vakuumphasen-Zustände

In der Quanteninformatik ist ein Qubit ein Zustand im zweidimensionalen Hilbert-Raum:

$$|\psi\rangle = \alpha|0\rangle + \beta|1\rangle, \quad |\alpha|^2 + |\beta|^2 = 1, \quad (34.1)$$

wobei gilt:

- $|\psi\rangle$: Qubit-Zustand (dimensionslos, als Vektor im Hilbert-Raum),
- α, β : Komplexe Amplituden (dimensionslos, mit Normalisierungsbedingung),
- $|0\rangle, |1\rangle$: Basiszustände (dimensionslos).

In T0 ist ein Qubit eine stabile Phasenkonfiguration des Vakuumfeldes:

$$\theta_{\text{qubit}} = \theta_0 + \xi \cdot (\phi_0|0\rangle + \phi_1|1\rangle), \quad (34.2)$$

wobei gilt:

- θ_{qubit} : Phasenkonfiguration für das Qubit (dimensionslos),
- θ_0 : Globale Vakuumphase (dimensionslos),
- ϕ_0, ϕ_1 : Fraktal skalierte Phasenwinkel (dimensionslos),
- ξ : Fraktaler Skalenparameter (dimensionslos, Wert $\frac{4}{3} \times 10^{-4}$).

Die Superposition emergiert aus der globalen Kohärenz der Vakuumphase θ , reguliert durch die fraktale Selbstähnlichkeit ξ . Die Bloch-Sphäre entsteht aus der zylindrischen Geometrie des komplexen Feldes (ρ als Radius, θ als Winkel):

$$|\psi\rangle = \cos\left(\frac{\vartheta}{2}\right)|0\rangle + e^{i\varphi}\sin\left(\frac{\vartheta}{2}\right)|1\rangle, \quad (34.3)$$

wobei gilt:

- ϑ : Polarwinkel (dimensionslos, $\propto \xi \cdot \Delta\rho$),

- φ : Azimutalwinkel (dimensionslos, $\propto \Delta\theta$).

Qubit-Gatter wie das Hadamard-Gatter sind Phasenrotationen:

$$H = \frac{1}{\sqrt{2}} \begin{pmatrix} 1 & 1 \\ 1 & -1 \end{pmatrix}, \quad \Delta\theta = \frac{\pi}{\xi^{1/2}}, \quad (34.4)$$

wobei gilt:

- H : Hadamard-Matrix (dimensionslos),
- $\Delta\theta$: Phasenverschiebung (dimensionslos).

Die Herleitung basiert auf der Variation der fraktalen Wirkung, wobei ξ die Kohärenzlänge bestimmt. T0 prognostiziert robuste Qubits bei Raumtemperatur durch stabile Phasenkonfigurationen.

Validierung: Im Grenzfall $\xi \rightarrow 0$ reduziert sich das Qubit zu klassischen Bits, konsistent mit makroskopischer Physik.

34.1.2 Ableitung der Schrödinger-Gleichung aus T0

Die Schrödinger-Gleichung

$$i\hbar \frac{\partial \psi}{\partial t} = -\frac{\hbar^2}{2m} \nabla^2 \psi + V\psi \quad (34.5)$$

emergiert in T0 aus der Phasendynamik des Vakuumfeldes.

Das T0-Vakuumfeld $\Phi = \rho e^{i\theta}$ gehorcht der fraktalen Wellengleichung:

$$\square\Phi + \xi \cdot B(\nabla\theta)^2\Phi = 0, \quad (34.6)$$

wobei gilt:

- \square : D'Alembert-Operator (Einheit: m^{-2} oder s^{-2}),
- Φ : Vakuumfeld (dimensionslos),
- B : Phasensteifigkeit (Einheit: $\text{kg m}^{-1} \text{s}^{-2}$),
- $\nabla\theta$: Phasengradient (dimensionslos pro m),
- ξ : Fraktaler Skalenparameter (dimensionslos).

Im nicht-relativistischen Limit separiert man:

$$\psi = e^{i\theta/\xi}, \quad \rho \approx \rho_0 + \delta\rho. \quad (34.7)$$

wobei gilt:

- ψ : Wellenfunktion (dimensionslos),
- ρ_0 : Vakuum-Grunddichte (Einheit: kg/m^3),
- $\delta\rho$: Dichteabweichung (Einheit: kg/m^3).

Die Variation führt zur Hamilton-Jacobi-Gleichung mit fraktalem Term:

$$\frac{\partial \theta}{\partial t} + \frac{(\nabla \theta)^2}{2m} + V + \xi \cdot \frac{\hbar^2}{2m} \frac{\nabla^2 \sqrt{\rho}}{\sqrt{\rho}} = 0, \quad (34.8)$$

wobei gilt:

- θ : Phase (dimensionslos),
- m : Masse (Einheit: kg),
- V : Potenzial (Einheit: J),
- \hbar : Reduzierte Planck-Konstante (Einheit: J s).

Mit Madelung-Transformation folgt die Schrödinger-Gleichung, wobei der fraktale Term Divergenzen regularisiert.

Validierung: Im Grenzfall $\xi \rightarrow 0$ reduziert sich zur klassischen Hamilton-Jacobi-Gleichung.

34.1.3 Ableitung der Dirac-Gleichung aus T0

Die Dirac-Gleichung

$$i\hbar\gamma^\mu \partial_\mu \psi - mc\psi = 0 \quad (34.9)$$

emergiert in T0 aus multi-komponentigen Vakuumfeldern, wird jedoch vereinfacht zu Feldknoten-Dynamik.

In der detaillierten T0-Integration (natürliche Einheiten $\hbar = c = 1$) wird die modifizierte Dirac-Gleichung:

$$i\gamma^\mu (\partial_\mu + \Gamma_\mu^{(T)}) \psi - m(\vec{x}, t) \psi = 0, \quad (34.10)$$

wobei gilt:

- γ^μ : Dirac-Matrizen (dimensionslos),
- ∂_μ : Partieller Ableitungsoperator (Einheit: m^{-1} oder s^{-1}),
- $\Gamma_\mu^{(T)}$: Time-Field-Verbindung (Einheit: m^{-1} oder s^{-1} , $\Gamma_\mu^{(T)} = -\frac{\partial_\mu m}{m^2}$),
- $m(\vec{x}, t)$: Lokale Massendichte (Einheit: kg/m^3),
- ψ : Dirac-Spinor (dimensionslos).

Die Herleitung basiert auf der Time-Mass-Dualität $T \cdot m = 1$, mit T : Zeitfeld (Einheit: s/m^3), und fraktaler Geometrie $\beta = 2Gm/r$ (dimensionslos), $\xi = 2\sqrt{G} \cdot m$ (dimensionslos).

Validierung: Im schwachen Feld-Limit ($\beta \ll 1$) reduziert sich zur Standard-Dirac-Gleichung, konsistent mit QED-Präzisionsmessungen (z. B. g-2 des Elektrons).

Vereinfachte Dirac-Gleichung als Feldknoten-Dynamik

In der vereinfachten T0-Sicht reduziert sich die Dirac-Gleichung auf:

$$\square \delta m = 0, \quad (34.11)$$

wobei gilt:

- \square : D'Alembert-Operator (Einheit: m^{-2} oder s^{-2}),
- δm : Feldknoten-Amplitude (Einheit: kg/m^3 , als Dichteabweichung vom Vakuumgrund ρ_0).

Der Spinor ψ wird zu einem Knotenmuster:

$$\psi(x, t) \rightarrow \delta m_{\text{fermion}}(x, t) = \delta m_0 \cdot f_{\text{spin}}(x, t), \quad (34.12)$$

wobei gilt:

- δm_0 : Knotenamplitude (Einheit: kg/m^3),
- $f_{\text{spin}}(x, t)$: Spin-Strukturfunktion (dimensionslos, $f_{\text{spin}} = A \cdot e^{i(\vec{k} \cdot \vec{x} - \omega t + \phi_{\text{spin}})}$).

Spin-1/2 emergiert aus Knotenrotation mit Frequenz $\omega_{\text{spin}} \propto mc^2/\hbar \cdot \xi$.

Die Lagrangedichte vereinfacht sich zu:

$$\mathcal{L} = \varepsilon \cdot (\partial \delta m)^2, \quad (34.13)$$

wobei gilt:

- \mathcal{L} : Lagrangedichte (Einheit: J/m^3),
- ε : Knotenenergiekoeffizient (Einheit: $J s^2/kg^2$).

Validierung: Bleibt konsistent mit Präzisionsobservablen wie den anomalen magnetischen Momenten der Leptonen ($g-2$), die quantitativ ausschließlich im spezialisierten Anomalie-Dokument 018_T0_Anomale-g2-10_De.tex behandelt werden.

34.1.4 Vergleich mit Standard-Interpretationen

Aspekt	Standard-QM	Fundamentale Fraktalgeometrische Feldtheorie (FFGFT, früher)
Qubits	Hilbert-Raum-Postulat	Emergente Phasen-Kohärenz
Schrödinger	Postulat	Ableitung aus Vakuumdynamik
Dirac	Postulat mit Matrizen	Vereinfachte Knotendynamik
Messproblem	Kollaps-Postulat	Phasen-Scrambling

Tabelle 34.1: Vergleich von Standard-QM und T0.

T0 löst Paradoxa durch deterministische Knotendynamik, konsistent mit Time-Mass-Dualität.

34.1.5 Schluss

Quantenbits, Schrödinger- und Dirac-Gleichung emergieren in T0 parameterfrei aus der fraktalen Vakuumdynamik mit ξ . Die vereinfachte Dirac-Gleichung als Feldknoten reduziert Komplexität auf einfache Excitationen, vereinheitlicht Fermionen und Bosonen und löst Dualitäten eine zwangsläufige Konsequenz des Vakuumsubstrats in FFGFT.

Literaturverzeichnis

- [1] Einstein, A. (1915). Die Feldgleichungen der Gravitation. Sitzungsberichte der Preussischen Akademie der Wissenschaften, 844847.
- [2] Hilbert, D. (1915). Die Grundlagen der Physik. Nachrichten von der Gesellschaft der Wissenschaften zu Göttingen, Mathematisch-Physikalische Klasse, 395407.
- [3] Schwarzschild, K. (1916). Über das Gravitationsfeld eines Massenpunktes nach der Einsteinschen Theorie. Sitzungsberichte der Preussischen Akademie der Wissenschaften, 189196.
- [4] Kerr, R. P. (1963). Gravitational Field of a Spinning Mass as an Example of Algebraically Special Metrics. Physical Review Letters, 11, 237238. <https://doi.org/10.1103/PhysRevLett.11.237>
- [5] Newman, E. T., Couch, E., Chinnapared, K., Exton, A., Prakash, A., & Torrence, R. (1965). Metric of a Rotating, Charged Mass. Journal of Mathematical Physics, 6, 918919. <https://doi.org/10.1063/1.1704351>
- [6] Penrose, R. (1965). Gravitational Collapse and Space-Time Singularities. Physical Review Letters, 14, 5759. <https://doi.org/10.1103/PhysRevLett.14.57>
- [7] Hawking, S. W. (1974). Black Hole Explosions? Nature, 248, 3031. <https://doi.org/10.1038/248030a0>
- [8] Hawking, S. W. (1975). Particle Creation by Black Holes. Communications in Mathematical Physics, 43, 199220. <https://doi.org/10.1007/BF02345020>
- [9] Bekenstein, J. D. (1973). Black Holes and Entropy. Physical Review D, 7, 23332346. <https://doi.org/10.1103/PhysRevD.7.2333>
- [10] Misner, C. W., Thorne, K. S., & Wheeler, J. A. (1973). Gravitation. W. H. Freeman.
- [11] Bosma, A. (1978). The distribution and kinematics of neutral hydrogen in spiral galaxies of various morphological types. PhD thesis, University of Groningen.
- [12] Navarro, J. F., Frenk, C. S., & White, S. D. M. (1996). The Structure of Cold Dark Matter Halos. The Astrophysical Journal, 462, 563575. <https://doi.org/10.1086/177173>
- [13] Tully, R. B., & Fisher, J. R. (1977). A new method of determining distances to galaxies. Astronomy & Astrophysics, 54, 661673.

- [14] McGaugh, S. S., Schombert, J. M., Bothun, G. D., & de Blok, W. J. G. (2000). The Baryonic TullyFisher Relation. *The Astrophysical Journal Letters*, 533, L99L102.
- [15] McGaugh, S. S. (2005). The Baryonic TullyFisher Relation of Galaxies with Extended Rotation Curves and the Stellar Mass of Rotating Galaxies. *The Astrophysical Journal*, 632, 859871.
- [16] Lelli, F., McGaugh, S. S., & Schombert, J. M. (2016). SPARC: Mass Models for 175 Disk Galaxies with Spitzer Photometry and Accurate Rotation Curves. *The Astronomical Journal*, 152, 157. <https://doi.org/10.3847/0004-6256/152/6/157>
- [17] Milgrom, M. (1983). A modification of the Newtonian dynamics as a possible alternative to the hidden mass hypothesis. *The Astrophysical Journal*, 270, 365370. <https://doi.org/10.1086/161130>
- [18] Bekenstein, J. D. (2004). Relativistic gravitation theory for the modified Newtonian dynamics paradigm. *Physical Review D*, 70, 083509. <https://doi.org/10.1103/PhysRevD.70.083509>
- [19] Horndeski, G. W. (1974). Second-order scalar-tensor field equations in a four-dimensional space. *International Journal of Theoretical Physics*, 10, 363384. <https://doi.org/10.1007/BF01807638>
- [20] Gubitosi, G., Piazza, F., & Vernizzi, F. (2012). The Effective Field Theory of Dark Energy. arXiv:1210.0201.
- [21] Frusciante, N., & Perenon, L. (2020). Effective Field Theory of Dark Energy: a review. *Physics Reports*, 857, 163. <https://doi.org/10.1016/j.physrep.2020.02.004>
- [22] Woodard, R. P. (2015). Ostrogradskys theorem on Hamiltonian instability. Scholarpedia, 10(8), 32243. <https://doi.org/10.4249/scholarpedia.32243>
- [23] Motohashi, H., & Suyama, T. (2015). Third order equations of motion and the Ostrogradsky instability. *Physical Review D*, 91, 085009. <https://doi.org/10.1103/PhysRevD.91.085009>
- [24] Langlois, D. (2017). Degenerate Higher-Order Scalar-Tensor (DHOST) theories. arXiv:1707.03625.
- [25] Ben Achour, J., Crisostomi, M., Koyama, K., Langlois, D., & Noui, K. (2016). Degenerate higher order scalar-tensor theories beyond Horndeski and disformal transformations. *Physical Review D*, 93, 124005. <https://doi.org/10.1103/PhysRevD.93.124005>
- [26] Creminelli, P., & Vernizzi, F. (2017). Dark Energy after GW170817 and GRB170817A. *Physical Review Letters*, 119, 251302. <https://doi.org/10.1103/PhysRevLett.119.251302>
- [27] Ezquiaga, J. M., & Zumalacárregui, M. (2017). Dark Energy after GW170817: dead ends and the road ahead. *Physical Review Letters*, 119, 251304. <https://doi.org/10.1103/PhysRevLett.119.251304>

- [28] Langlois, D., Ezquiaga, J. M., & Zumalacárregui, M. (2018). Scalar-tensor theories and modified gravity in the wake of GW170817. *Physical Review D*, 97, 061501(R). <https://doi.org/10.1103/PhysRevD.97.061501>
- [29] Abbott, B. P., et al. (LIGO Scientific Collaboration and Virgo Collaboration). (2017). GW170817: Observation of Gravitational Waves from a Binary Neutron Star Inspiral. *Physical Review Letters*, 119, 161101. <https://doi.org/10.1103/PhysRevLett.119.161101>
- [30] Abbott, B. P., et al. (LIGO Scientific Collaboration and Virgo Collaboration). (2017). Multi-messenger Observations of a Binary Neutron Star Merger. *The Astrophysical Journal Letters*, 848, L12L16. <https://doi.org/10.3847/2041-8213/aa91c9>
- [31] Abbott, B. P., et al. (LIGO Scientific Collaboration and Virgo Collaboration). (2019). Tests of General Relativity with the Binary Black Hole Signals from the LIGO-Virgo Catalog GWTC-1. *Physical Review D*, 100, 104036. <https://doi.org/10.1103/PhysRevD.100.104036>
- [32] Eardley, D. M., Lee, D. L., Lightman, A. P., Wagoner, R. V., & Will, C. M. (1973). Gravitational-wave observations as a tool for testing relativistic gravity. *Physical Review Letters*, 30, 884886. <https://doi.org/10.1103/PhysRevLett.30.884>
- [33] Nishizawa, A., Taruya, A., Hayama, K., Kawamura, S., & Sakagami, M. (2009). Probing non-tensorial polarizations of stochastic gravitational-wave backgrounds with ground-based laser interferometers. *Physical Review D*, 79, 082002. <https://doi.org/10.1103/PhysRevD.79.082002>
- [34] Vainshtein, A. I. (1972). To the problem of nonvanishing gravitation mass. *Physics Letters B*, 39(3), 393394. [https://doi.org/10.1016/0370-2693\(72\)90147-5](https://doi.org/10.1016/0370-2693(72)90147-5)
- [35] Babichev, E., & Deffayet, C. (2013). An introduction to the Vainshtein mechanism. *Classical and Quantum Gravity*, 30(18), 184001. <https://doi.org/10.1088/0264-9381/30/18/184001>
- [36] Khouri, J., & Weltman, A. (2004). Chameleon cosmology. *Physical Review D*, 69, 044026. <https://doi.org/10.1103/PhysRevD.69.044026>
- [37] Burrage, C., & Sakstein, J. (2018). Tests of Chameleon Gravity. *Living Reviews in Relativity*, 21, 1. <https://doi.org/10.1007/s41114-018-0011-x>
- [38] Schrödinger, E. (1926). Quantisierung als Eigenwertproblem (Parts IIIV). *Annalen der Physik*, 7981.
- [39] Heisenberg, W. (1927). Über den anschaulichen Inhalt der quantentheoretischen Kinematik und Mechanik. *Zeitschrift für Physik*, 43, 172198. <https://doi.org/10.1007/BF01397280>
- [40] Born, M. (1926). Zur Quantenmechanik der Stoßvorgänge. *Zeitschrift für Physik*, 37, 863867. <https://doi.org/10.1007/BF01397477>

- [41] von Neumann, J. (1932). Mathematische Grundlagen der Quantenmechanik. Springer (English transl.: Mathematical Foundations of Quantum Mechanics, Princeton Univ. Press, 1955).
- [42] Sakurai, J. J., & Napolitano, J. (2017). Modern Quantum Mechanics (2nd ed.). Cambridge University Press.
- [43] Zurek, W. H. (2003). Decoherence, einselection, and the quantum origins of the classical. *Reviews of Modern Physics*, 75, 715775. <https://doi.org/10.1103/RevModPhys.75.715>
- [44] Joos, E., Zeh, H. D., Kiefer, C., Giulini, D., Kupsch, J., & Stamatescu, I.-O. (2003). Decoherence and the Appearance of a Classical World in Quantum Theory (2nd ed.). Springer. <https://doi.org/10.1007/978-3-662-05328-7>
- [45] Yang, C. N., & Mills, R. L. (1954). Conservation of isotopic spin and isotopic gauge invariance. *Physical Review*, 96(1), 191195. <https://doi.org/10.1103/PhysRev.96.191>
- [46] Faddeev, L. D., & Popov, V. N. (1967). Feynman diagrams for the YangMills field. *Physics Letters B*, 25(1), 2930. [https://doi.org/10.1016/0370-2693\(67\)90067-6](https://doi.org/10.1016/0370-2693(67)90067-6)
- [47] Peskin, M. E., & Schroeder, D. V. (1995). An Introduction to Quantum Field Theory. Addison-Wesley.
- [48] Weinberg, S. (1995). The Quantum Theory of Fields, Vol. I: Foundations. Cambridge University Press.
- [49] Clay Mathematics Institute. (2000present). YangMills existence and mass gap (Millennium Prize Problem). <https://www.claymath.org/millennium/yang-mills-the-maths-gap/>
- [50] Jaffe, A. (2000). Quantum YangMills Theory (CMI Millennium Prize Problem description; JaffeWitten). Clay Mathematics Institute.
- [51] Sakharov, A. D. (1967). Violation of CP invariance, C asymmetry, and baryon asymmetry of the universe. *JETP Letters*, 5, 2427.
- [52] Penrose, R. (1996). On Gravitys role in Quantum State Reduction. *General Relativity and Gravitation*, 28, 581600. <https://doi.org/10.1007/BF02105068>
- [53] Diósi, L. (1989). Models for universal reduction of macroscopic quantum fluctuations. *Physical Review A*, 40, 11651174. <https://doi.org/10.1103/PhysRevA.40.1165>
- [54] Bassi, A., Lochan, K., Satin, S., Singh, T. P., & Ulbricht, H. (2013). Models of wavefunction collapse, underlying theories, and experimental tests. *Reviews of Modern Physics*, 85, 471527. <https://doi.org/10.1103/RevModPhys.85.471>
- [55] Arndt, M., & Hornberger, K. (2014). Testing the limits of quantum mechanical superpositions. *Nature Physics*, 10, 271277. <https://doi.org/10.1038/nphys2863>

- [56] Marletto, C., & Vedral, V. (2017). Gravitationally Induced Entanglement between Two Massive Particles is Sufficient Evidence of Quantum Effects in Gravity. *Physical Review Letters*, 119, 240402. <https://doi.org/10.1103/PhysRevLett.119.240402>
- [57] Margalit, Y., Dobkowski, O., Zhou, Z., et al. (2021). Realization of a complete SternGerlach interferometer: Toward a test of quantum gravity. *Science Advances*, 7(22), eabg2879. <https://doi.org/10.1126/sciadv.abg2879>
- [58] Roura, A. (2020). Gravitational Redshift in Quantum-Clock Interferometry. *Physical Review X*, 10, 021014. <https://doi.org/10.1103/PhysRevX.10.021014>
- [59] Dobkowski, O., Trok, B., Skakunenko, P., et al. (2025). Observation of the quantum equivalence principle for matter-waves. arXiv:2502.14535.
- [60] This paper positions Adapted Fundamental Fractal-Geometric Field Theory (FFGFT fully grounded in T0 time-mass duality) as a transformative phenomenological approach to unifying general relativity, quantum mechanics, and cosmology by reimagining space as a dynamic vacuum field that has amplitude and phase fully derived from T0 duality and node dynamics. This intrinsic dynamic vacuum field behavior opens new theoretical and observational possibilities for understanding the universes structure and forces within the conclusive T0 framework.
- [61] Pascher, J. (2025). T0 Theory Introduction. Available at: https://github.com/jpascher/T0-Time-Mass-Duality/blob/main/2/pdf/1_T0_Introduction_De.pdf
- [62] Pascher, J. (2025). T0 Theory Foundations. Available at: https://github.com/jpascher/T0-Time-Mass-Duality/blob/main/2/pdf/003_T0_Grundlagen_De.pdf
- [63] Pascher, J. (2025). T0 Universal Lagrangian. Available at: https://github.com/jpascher/T0-Time-Mass-Duality/blob/main/2/pdf/019_T0_lagrndian_De.pdf
- [64] Pascher, J. (2025). Simplified Dirac Equation in T0 Theory. Available at: https://github.com/jpascher/T0-Time-Mass-Duality/blob/main/2/pdf/050_diracVereinfacht_De.pdf
- [65] Pascher, J. (2025). Deterministic Quantum Mechanics in T0. Available at: <https://github.com/jpascher/T0-Time-Mass-Duality/blob/main/2/pdf/QM-DetrmisticEn.pdf>
- [66] Pascher, J. (2025). T0 Cosmology and Dipole Analysis. Available at: https://github.com/jpascher/T0-Time-Mass-Duality/blob/main/2/pdf/039_Zwei-Dipole-CMB_De.pdf
- [67] Pascher, J. (2025). Unification of Casimir Effect and CMB in T0. Available at: https://github.com/jpascher/T0-Time-Mass-Duality/blob/main/2/pdf/091_Casimir_De.pdf
- [68] Pascher, J. (2025). T0 Particle Masses and Hierarchies. Available at: https://github.com/jpascher/T0-Time-Mass-Duality/blob/main/2/pdf/006_T0_Teilchenmassen_De.pdf

- [69] Pascher, J. (2025). T0 Neutrino Masses. Available at: https://github.com/jpascher/T0-Time-Mass-Duality/blob/main/2/pdf/007_T0_Neutrinos_De.pdf
- [70] Pascher, J. (2025). Anomalous Magnetic Moments in T0. Available at: https://github.com/jpascher/T0-Time-Mass-Duality/blob/main/2/pdf/018_T0_Anomale-g2-10_De.pdf
- [71] This paper positions Adapted Fundamental Fractal-Geometric Field Theory (FFGFT fully grounded in T0 time-mass duality) as a transformative phenomenological approach to unifying general relativity, quantum mechanics, and cosmology by reimagining space as a dynamic vacuum field that has amplitude and phase fully derived from T0 duality and node dynamics. This intrinsic dynamic vacuum field behavior opens new theoretical and observational possibilities for understanding the universes structure and forces within the conclusive T0 framework.
- [72] Thorwe, Satish B. Originalkonzept der Dynamischen Vakuum-Feldtheorie (später umbenannt zu FFGFT).
- [73] Pascher, J. (2025). T0-Time-Mass-Duality-Theorie: Vollständige Kapitel und Ableitungen. GitHub: <https://github.com/jpascher/T0-Time-Mass-Duality>.
- [74] Diese Arbeit positioniert die Angepasste Dynamische Vakuum-Feldtheorie als phänomenologische Beschreibung, die vollständig in der fundamentalen T0-Time-Mass-Duality-Theorie begründet ist, unter Anerkennung des Originalkonzepts von Satish B. Thorwe.